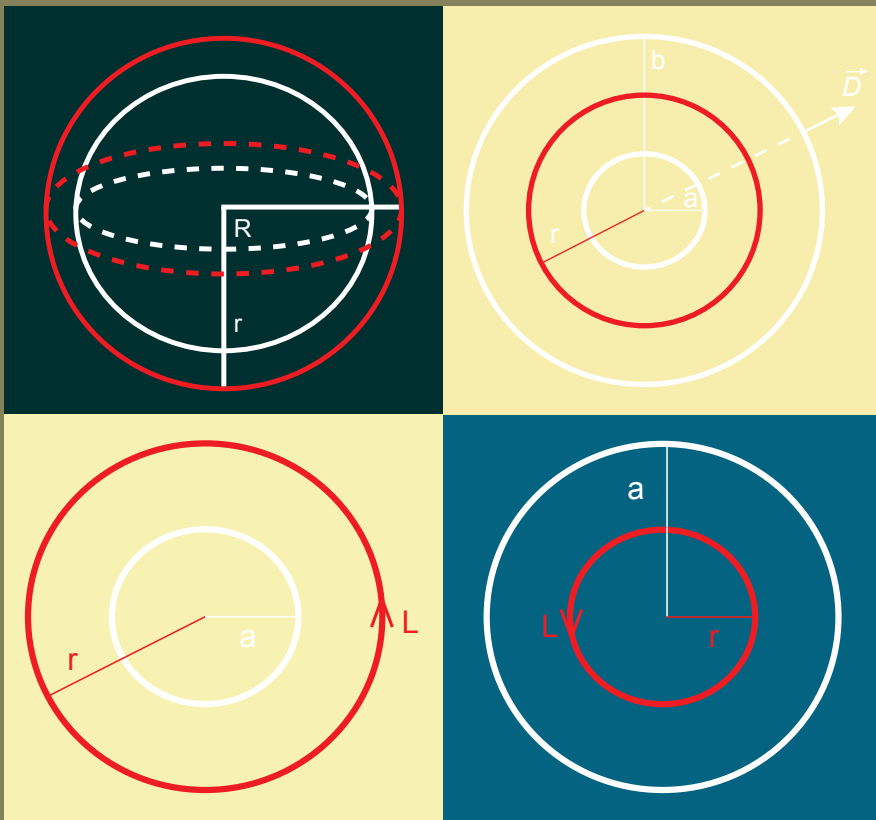


Antonina Orlicz-Swiłło

# Wybrane elementy analizy wektorowej, teorii pola, teorii potencjału i ich zastosowania w elektrodynamice



PRZEWODNICZĄCY KOMITETU REDAKCYJNEGO  
WYDAWNICTWA POLITECHNIKI GDAŃSKIEJ

*Janusz T. Cieśliński*

RECENZENT

*Kazimierz Jakubiuk*

REDAKCJA JĘZYKOWA

*Agnieszka Frankiewicz*

PROJEKT OKŁADKI

*Wioleta Lipska-Kamińska*

SKŁAD KOMPUTEROWY

*Piotr Jędrzejewski*

Wydano za zgodą  
Rektora Politechniki Gdańskiej

Publikacja dostępna tylko w wersji elektronicznej –  
Pomorska Biblioteka Cyfrowa <http://pbc.gda.pl>

Oferta wydawnicza Politechniki Gdańskiej jest dostępna pod adresem  
<http://www.pg.edu.pl/wydawnictwo/katalog>  
zamówienia prosimy kierować na adres [wydaw@pg.gda.pl](mailto:wydaw@pg.gda.pl)

Utwór nie może być powielany i rozpowszechniany, w jakiegokolwiek formie  
i w jakikolwiek sposób, bez pisemnej zgody wydawcy

© Copyright by Wydawnictwo Politechniki Gdańskiej  
Gdańsk 2017

ISBN 978-83-7348-692-8

WYDAWNICTWO POLITECHNIKI GDAŃSKIEJ

Wydanie I. Ark. wyd. 3,1, ark. druku 10,0, 1151/961

---

# Spis treści

<b>Rozdział 1. Analiza wektorowa w różnych układach współrzędnych .....</b>	<b>5</b>
1.1. Pole skalarne i wektorowe. Pochodna funkcji wektorowej .....	5
1.2. Układ współrzędnych kartezjańskich .....	7
1.3. Układ współrzędnych walcowych .....	8
1.4. Układ współrzędnych sferycznych .....	10
1.5. Nabla. Operator Laplace'a .....	12
1.6. Pochodna w kierunku wektora. Gradient .....	13
1.7. Dywergencja .....	17
1.8. Rotacja .....	19
1.9. Funkcje pola we współrzędnych walcowych .....	20
1.10. Funkcje pola we współrzędnych sferycznych .....	22
<b>Rozdział 2. Twierdzenia całkowe .....</b>	<b>24</b>
2.1. Strumień wektora. Twierdzenie Gaussa-Ostrogradskiego .....	24
2.2. Cyrkulacja. Twierdzenie Stokesa .....	27
2.3. Potencjał skalarny .....	31
2.4. Potencjał wektorowy .....	34
<b>Rozdział 3. Pole elektrostatyczne .....</b>	<b>36</b>
3.1. Wiadomości wstępne .....	36
3.2. Strumień. Cyrkulacja .....	37
3.3. Potencjał elektryczny .....	38
<b>Rozdział 4. Pole magnetostacyjne .....</b>	<b>39</b>
4.1. Wiadomości wstępne .....	39
4.2. Cyrkulacja. Strumień magnetyczny .....	40
4.3. Magnetyczny potencjał skalarny i wektorowy .....	41
<b>Rozdział 5. Pole elektrodynamiczne (elektromagnetyczne) .....</b>	<b>42</b>
5.1. Równania Maxwella .....	42
5.2. Potencjał skalarny i wektorowy .....	44
5.3. Prąd przewodzenia. Prąd przesunięcia .....	45
5.4. Siła elektromotoryczna .....	46
<b>Rozdział 6. Zadania .....</b>	<b>50</b>
6.1. Zadania dotyczące współrzędnych wektora .....	50
6.2. Zadania dotyczące cyrkulacji .....	52
6.3. Zadania dotyczące strumienia .....	57
6.4. Zadania z elektrostatyki .....	60
6.5. Zadania z magnetostatyki .....	77
6.6. Zadania z elektromagnetyzmu .....	88
<b>Zestawienie podstawowych wzorów .....</b>	<b>102</b>
<b>Literatura .....</b>	<b>106</b>



## Rozdział 1

# Analiza wektorowa w różnych układach współrzędnych

### 1.1. Pole skalarne i wektorowe. Pochodna funkcji wektorowej

#### Definicja 1.1.1

Polem skalarnym nazywamy odwzorowanie  $f: D \rightarrow V$  przyporządkowujące każdemu punktowi  $M$  zbioru  $D \subset R^n$  dokładnie jeden element  $u = f(M) \in V \subset R^n$ .

Funkcję  $f(M)$  nazywamy też funkcją skalarną. Polami skalarnymi są przykładowo: pole potencjału elektrostatycznego, pole potencjału grawitacyjnego.

#### Definicja 1.1.2

Polem wektorowym nazywamy odwzorowanie  $\vec{w}: D \rightarrow X$  przyporządkowujące każdemu elementowi  $t \in D \subset R^n$  dokładnie jeden element  $\vec{w}(t)$  przestrzeni wektorowej  $X$ . Polami wektorowymi są przykładowo: natężenie pola elektrostatycznego, natężenie pola magnetycznego, natężenie pola grawitacyjnego.

Jeżeli  $\vec{w}(t) \in R^3$ , to funkcję wektorową przedstawiamy w postaci:

$$\vec{w} = [w_x(t); w_y(t); w_z(t)]$$

Własności operacji na funkcjach wektorowych zestawiono w tabeli 1.1.

#### Definicja 1.1.3

Pochodną  $\frac{d\vec{w}(t)}{dt}$  funkcji wektorowej względem zmiennej  $t$  nazywamy granicę:

$$\lim_{\Delta t \rightarrow 0} \left[ \frac{\Delta \vec{w}(t)}{\Delta t} \right] = \frac{d\vec{w}(t)}{dt}$$

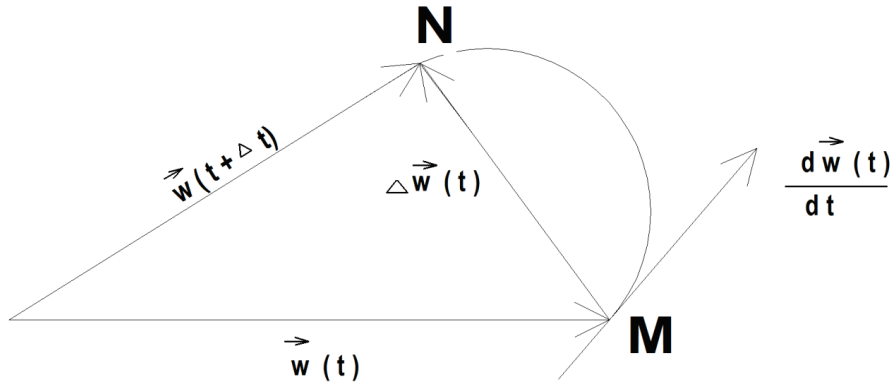
Jeżeli pochodna  $\frac{d\vec{w}(t)}{dt}$  istnieje w każdym punkcie  $t \in D$  i jest funkcją ciągłą, to  $\vec{w}(t)$  jest funkcją klasy  $C^1$  na  $D$ , co zapisujemy w skrócie:

$$\vec{w}(t) \in C^1(D)$$

Interpretację geometryczną pochodnej  $\frac{d\vec{w}(t)}{dt}$  ilustruje rys. 1.1.

Tablica 1.1. Własności iloczynów

	Iloczyn skalarny	Iloczyn wektorowy	Iloczyn mieszany	Podwójny iloczyn wektorowy
	Skalar	Wektor	Skalar	Wektor
D E F I N I C J A	$\vec{a} \circ \vec{b} =  \vec{a}   \vec{b}  \cos(\vec{a}; \vec{b}) = a_x b_x + a_y b_y + a_z b_z$	$\vec{c} = \vec{a} \times \vec{b} \perp \text{ do płaszczyzny równoległoboku zbudowanego z wektorów } \vec{a} \text{ i } \vec{b}$ $\vec{c} = \begin{vmatrix} \vec{i} & \vec{j} & \vec{k} \\ a_x & a_y & a_z \\ b_x & b_y & b_z \end{vmatrix}$ $ \vec{c}  =  \vec{a}   \vec{b}  \sin(\vec{a}; \vec{b})$	$(\vec{a}; \vec{b}; \vec{c}) = \begin{vmatrix} a_x & a_y & a_z \\ b_x & b_y & b_z \\ c_x & c_y & c_z \end{vmatrix}$	$\vec{a} \times (\vec{b} \times \vec{c})$
W Ł A S N O Ś C I	$\vec{a} \circ \vec{b} = \vec{b} \circ \vec{a}$ $\vec{a} \circ (\vec{b} + \vec{c}) = \vec{a} \circ \vec{b} + \vec{a} \circ \vec{c}$ $\lambda(\vec{a} \circ \vec{b}) = (\lambda \vec{a} \circ \vec{b}) = \vec{a} \circ (\lambda \vec{b})$ $\lambda \in \mathbb{R}$ $\vec{a} \circ (\vec{b} \circ \vec{c}) \neq (\vec{a} \circ \vec{b}) \circ \vec{c}$	$\vec{a} \times \vec{b} = -(\vec{b} \times \vec{a})$ $\vec{a} \times (\vec{b} + \vec{c}) = \vec{a} \times \vec{b} + \vec{a} \times \vec{c}$ $\lambda(\vec{a} \times \vec{b}) = (\lambda \vec{a}) \times \vec{b} = \vec{a} \times (\lambda \vec{b})$	$(\vec{a}; \vec{b}; \vec{c}) = \vec{a} \circ (\vec{b} \times \vec{c}) = (\vec{a} \times \vec{b}) \circ \vec{c} = (\vec{b}; \vec{c}; \vec{a}) = (\vec{c}; \vec{a}; \vec{b})$	$\vec{a} \times (\vec{b} \times \vec{c}) = (\vec{a} \circ \vec{c}) \vec{b} - (\vec{a} \circ \vec{b}) \vec{c}$ <p>Alc:</p> $\vec{a} \times (\vec{b} \times \vec{c}) \neq (\vec{a} \times \vec{b}) \times \vec{c}$



Rys. 1.1. Interpretacja geometryczna pochodnej funkcji wektorowej

Wektor  $\frac{\Delta \vec{w}(t)}{\Delta t}$  określa wektor prędkości chwilowej  $\vec{v}(t)$  w chwili  $t$ , stosunek  $\frac{\Delta \vec{w}(t)}{\Delta t}$  oznacza zaś średnią prędkość przemieszczenia punktu w czasie  $\Delta t$ . Pochodna funkcji wektorowej przyjmie postać:

$$\frac{d\vec{w}(t)}{dt} = \left[ \frac{dw_x}{dt}; \frac{dw_y}{dt}; \frac{dw_z}{dt} \right]$$

Podstawowe własności pochodnych funkcji wektorowych są analogiczne do własności pochodnych funkcji skalarnych:

1.  $\frac{d[\vec{w}(t) \pm \vec{v}(t)]}{dt} = \frac{d\vec{w}(t)}{dt} \pm \frac{d\vec{v}(t)}{dt}$
2.  $\frac{d[\alpha \vec{w}(t)]}{dt} = \alpha \frac{d\vec{w}(t)}{dt}$
3.  $\frac{d[f(t)\vec{w}(t)]}{dt} = f(t) \frac{d\vec{w}(t)}{dt} + \vec{w}(t) \frac{df(t)}{dt}$
4.  $\frac{d[\vec{w}(t) \circ \vec{v}(t)]}{dt} = \vec{v}(t) \circ \frac{d\vec{w}(t)}{dt} + \vec{w}(t) \circ \frac{d\vec{v}(t)}{dt}$
5.  $\frac{d[\vec{w}(t) \times \vec{v}(t)]}{dt} = \vec{w}(t) \times \frac{d\vec{v}(t)}{dt} + \frac{d\vec{w}(t)}{dt} \times \vec{v}(t)$
6.  $\frac{d[\vec{w}(t) \circ (\vec{v}(t) \times \vec{u}(t))]}{dt} = \frac{d\vec{w}(t)}{dt} \circ [\vec{v}(t) \times \vec{u}(t)] + \vec{w}(t) \circ \left[ \frac{d\vec{v}(t)}{dt} \times \vec{u}(t) \right] + \vec{w}(t) \circ \left[ \vec{v}(t) \times \frac{d\vec{u}(t)}{dt} \right]$

## 1.2. Układ współrzędnych kartezjańskich

W układzie kartezjańskim (prostokątnym) wektor  $\vec{w}$  przedstawiamy za pomocą rzutów prostokątnych  $w_x, w_y, w_z$  tego wektora na osie układu, tzn.:

$$\vec{w} = w_x \vec{i} + w_y \vec{j} + w_z \vec{k}$$

gdzie:  $\vec{i}, \vec{j}, \vec{k}$  – wersory osi  $Ox, Oy, Oz$ .

Długość wektora:

$$|\vec{w}| = \sqrt{w_x^2 + w_y^2 + w_z^2}$$

Kosinusy kierunkowe wektora:

$$\cos \alpha(\vec{w}, Ox) = \frac{w_x}{|\vec{w}|} \quad \cos \alpha(\vec{w}, Oy) = \frac{w_y}{|\vec{w}|} \quad \cos \alpha(\vec{w}, Oz) = \frac{w_z}{|\vec{w}|}$$

### Definicja 1.2.1

Wektorem wodzącym punktu  $P = (x, y, z)$  nazywamy wektor:

$$\vec{R} = x\vec{i} + y\vec{j} + z\vec{k}$$

### Definicja 1.2.2

W układzie kartezjańskim element liniowy zapisujemy jako:

$$d\vec{L} = \vec{i}dx + \vec{j}dy + \vec{k}dz$$

Element powierzchniowy:

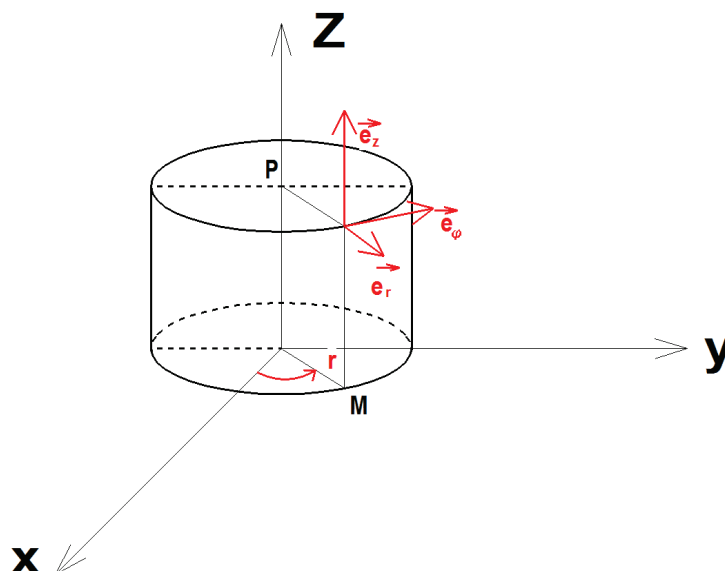
$$d\vec{S} = \vec{i}dydz + \vec{j}dxdz + \vec{k}dxdy$$

Element objętościowy:

$$dV = dxdydz$$

## 1.3. Układ współrzędnych walcowych

Niech  $M$  będzie rzutem punktu  $P(x, y, z)$  na płaszczyznę  $Oxy$ , natomiast  $(r, \varphi)$  są współrzędnymi biegunowymi punktu  $M$ .



Rys. 1.2. Układ współrzędnych walcowych



Wówczas:

**Definicja 1.3.1**

Zmienne  $r = |OM|$ ,  $\varphi$ ,  $z$  nazywamy współrzędnymi walcowymi punktu  $P$ , czyli  $P = (r, \varphi, z)$  przy czym:

$r = const$  – wyznacza walce obrotowe (oś  $Oz$  jest osią obrotu);

$\varphi = const$  – półpłaszczyzny przechodzące przez oś  $Oz$ , gdzie  $0 \leq \varphi \leq 2\pi$ ;

$z = const$  – płaszczyzny prostopadłe do osi  $Oz$ .

Związek między współrzędnymi kartezjańskimi a walcowymi określają wzory:

$$\begin{cases} x = r \cos \varphi \\ y = r \sin \varphi \\ z = z \end{cases}$$

Wektor wodzący punktu  $P$  ma więc współrzędne:

$$\vec{R} = r \cos \varphi \vec{i} + r \sin \varphi \vec{j} + z \vec{k}$$

skąd otrzymujemy:

$$\frac{\partial \vec{R}}{\partial r} = [\cos \varphi, \sin \varphi, 0]$$

$$\frac{\partial \vec{R}}{\partial \varphi} = [-r \sin \varphi, r \cos \varphi, 0]$$

$$\frac{\partial \vec{R}}{\partial z} = [0, 0, 1]$$

Macierz  $A$  przekształcenia wektorów bazy, przy przejściu od współrzędnych kartezjańskich do walcowych:

$$A = \begin{bmatrix} \cos \varphi & \sin \varphi & 0 \\ -\sin \varphi & \cos \varphi & 0 \\ 0 & 0 & 1 \end{bmatrix}$$

Czyli dowolny wektor  $\vec{W} = W_x \vec{i} + W_y \vec{j} + W_z \vec{k}$  we współrzędnych walcowych przyjmie postać:

$$\vec{W} = W_r \vec{e}_r + W_\varphi \vec{e}_\varphi + W_z \vec{e}_z$$

gdzie:  $\vec{e}_r, \vec{e}_\varphi, \vec{e}_z$  – wersory osi;  $W_r, W_\varphi, W_z$  – miary rzutów wektora  $\vec{W}$  na osie.

Zależność między współrzędnymi walcowymi a kartezjańskimi wyznaczamy z równania macierzowego:

$$\begin{bmatrix} W_r \\ W_\varphi \\ W_z \end{bmatrix} = A \begin{bmatrix} W_x \\ W_y \\ W_z \end{bmatrix}$$

i odwrotnie, mając dany wektor  $\vec{W}$  we współrzędnych walcowych, można podać jego współrzędne kartezjańskie, wyliczając je z równania:

$$\begin{bmatrix} W_x \\ W_y \\ W_z \end{bmatrix} = \mathbb{A}^T \begin{bmatrix} W_r \\ W_\varphi \\ W_z \end{bmatrix}$$

gdyż  $\mathbb{A}^{-1} = \mathbb{A}^T$ .

We współrzędnych walcowych zapisujemy:

1. element liniowy jako:  $d\vec{L} = dr\vec{e}_r + r dr\vec{e}_\varphi + dz\vec{e}_z$
2. element powierzchniowy jako:  $d\vec{S} = rd\varphi dz\vec{e}_r + dr dz\vec{e}_\varphi + r dr d\varphi\vec{e}_z$
3. element objętościowy jako:  $dV = r dr d\varphi dz$

### 1.4. Układ współrzędnych sferycznych

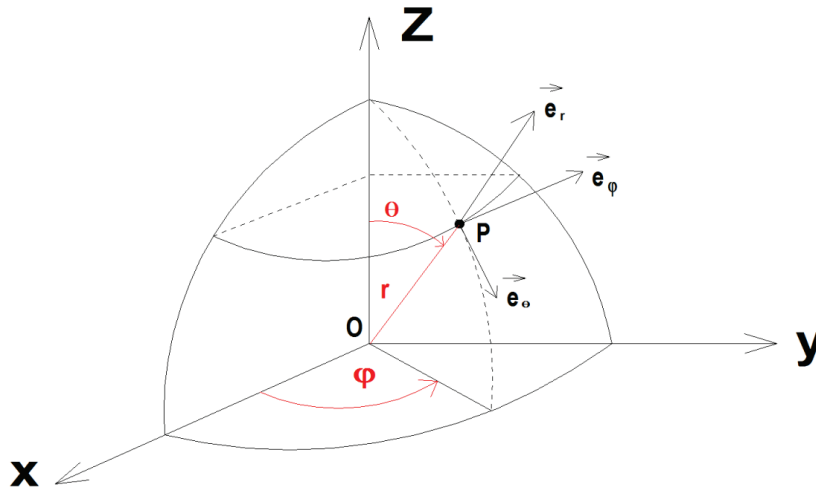
Współzrędnymi sferycznymi punktu  $P(x, y, z)$  nazywamy zmienne  $r$  (odległość  $OP$ ),  $\theta$  (kąt, jaki tworzy wektor  $\vec{R}$  z osią  $Oz$ ; ( $0 \leq \theta \leq \pi$ )),  $\varphi$  (kąt, jaki tworzy rzut  $r$  na płaszczyznę  $OXY$  z osią  $OX_+$ ).

Powierzchnie:

$r = const$  – kule o środku w początku układu;

$\theta = const$  – stożki obrotowe (osią obrotu jest oś  $Oz$ );

$\varphi = const$  – płaszczyzny przechodzące przez  $Oz$ .



Rys. 1.3. Układ współrzędnych sferycznych

Zależność między współzrędnymi kartezjańskimi a sferycznymi wyrażają wzory:

$$\left. \begin{aligned} x &= r \cos \varphi \sin \theta \\ y &= r \sin \varphi \sin \theta \\ z &= r \cos \theta \end{aligned} \right\}$$

przy czym:

$$0 \leq \varphi \leq 2\pi$$

$$0 \leq \theta \leq \pi$$

natomiast przekształcenie odwrotne opisują związki:

$$\begin{cases} r = \sqrt{x^2 + y^2 + z^2} \\ \varphi = \arctg \frac{y}{x} \\ \theta = \arccos \frac{z}{r} \end{cases}$$

Macierz przekształcenia wektorów bazy kartezyjskiej przy przejściu do współrzędnych sferycznych otrzymamy z następujących zależności:

$$\vec{R} = r \cos \varphi \sin \theta \vec{i} + r \sin \varphi \sin \theta \vec{j} + r \cos \theta \vec{k}$$

$$\frac{\partial \vec{R}}{\partial \theta} = [r \cos \varphi \cos \theta, r \sin \varphi \cos \theta, -r \sin \theta]$$

$$\frac{\partial \vec{R}}{\partial \varphi} = [-r \cos \varphi \sin \theta, r \cos \varphi \cos \theta, 0]$$

$$\frac{\partial \vec{R}}{\partial r} = [\cos \varphi \sin \theta, \sin \varphi \sin \theta, \cos \theta]$$

stąd, uwzględniając dodatkowo położenie kąta  $\varphi$ , mamy:

$$\mathbb{A} = \begin{bmatrix} \cos \varphi \sin \theta & \sin \varphi \sin \theta & \cos \theta \\ \cos \varphi \cos \theta & \sin \varphi \cos \theta & -\sin \theta \\ -\sin \varphi \sin \theta & \cos \varphi \sin \theta & 0 \end{bmatrix}$$

Czyli dowolny wektor  $\vec{W} = W_x \vec{i} + W_y \vec{j} + W_z \vec{k}$  we współrzędnych sferycznych przyjmie postać:

$$\vec{W} = W_r \vec{e}_r + W_\theta \vec{e}_\theta + W_\varphi \vec{e}_\varphi$$

gdzie:  $\vec{e}_r, \vec{e}_\theta, \vec{e}_\varphi$  – wersory osi;  $W_r, W_\theta, W_\varphi$  – miary rzutów wektora  $\vec{W}$  na osie.

Wektor  $\vec{W}$  wyrażony we współrzędnych sferycznych ma współrzędne kartezyjskie obliczone z równania:

$$\begin{bmatrix} W_x \\ W_y \\ W_z \end{bmatrix} = \mathbb{A}^T \begin{bmatrix} W_r \\ W_\theta \\ W_\varphi \end{bmatrix}$$

przekształcenie odwrotne określa zaś równanie:

$$\begin{bmatrix} W_r \\ W_\theta \\ W_\varphi \end{bmatrix} = \mathbb{A} \begin{bmatrix} W_x \\ W_y \\ W_z \end{bmatrix}$$

We współrzędnych sferycznych zapisujemy:

1. element liniowy jako:  $d\vec{L} = dr\vec{e}_r + rd\theta\vec{e}_\theta + r \sin \theta d\varphi\vec{e}_\varphi$
2. element powierzchniowy jako:  $d\vec{S} = r^2 \sin \theta d\varphi d\theta \vec{e}_r + r \sin \theta dr d\varphi \vec{e}_\theta + r dr d\theta \vec{e}_\varphi$
3. element objętościowy jako:  $dV = r^2 \sin \theta dr d\theta d\varphi$

## 1.5. Nabla. Operator Laplace'a

### Definicja 1.5.1

Operator wektorowo-różniczkowy określony w  $R^3$  jako:

$$\nabla = \frac{\partial}{\partial x} \vec{i} + \frac{\partial}{\partial y} \vec{j} + \frac{\partial}{\partial z} \vec{k}$$

nazywamy **operatorem nabla (Hamiltona)**.

W zastosowaniu do funkcji skalarnej:

$$\nabla f = \frac{\partial f}{\partial x} \vec{i} + \frac{\partial f}{\partial y} \vec{j} + \frac{\partial f}{\partial z} \vec{k}$$

Dla funkcji wektorowej:

$$\nabla \vec{w} = \frac{\partial \vec{w}}{\partial x} \vec{i} + \frac{\partial \vec{w}}{\partial y} \vec{j} + \frac{\partial \vec{w}}{\partial z} \vec{k}$$

### Definicja 1.5.2

**Operatorem Laplace'a (laplasjanem)** nazywamy operator skalarny  $\nabla \circ \nabla = \nabla^2$  oznaczony symbolem:

$$\Delta = \frac{\partial^2}{\partial x^2} + \frac{\partial^2}{\partial y^2} + \frac{\partial^2}{\partial z^2}$$

Dla funkcji skalarnej ma on postać:

$$\Delta f = \frac{\partial^2 f}{\partial x^2} + \frac{\partial^2 f}{\partial y^2} + \frac{\partial^2 f}{\partial z^2}$$

Dla funkcji wektorowej:

$$\Delta \vec{w} = \frac{\partial^2 \vec{w}}{\partial x^2} + \frac{\partial^2 \vec{w}}{\partial y^2} + \frac{\partial^2 \vec{w}}{\partial z^2}$$

Przy operacjach wykonywanych za pomocą nabli należy korzystać z podstawowych własności różniczkowania funkcji skalarnych i wektorowych oraz z własności iloczynów funkcji wektorowych zestawionych w tabelicy 1.1, przy czym należy pamiętać, że:

1. działa ona tylko na wielkości znajdujące się bezpośrednio po niej;
2. odnosi się ona tylko do jednej wielkości zmiennej (skalarnej lub wektorowej).

W związku z tym każde rozpatrywane wyrażenie należy doprowadzić do takiej postaci, aby za operatorem  $\nabla$  znajdowała się tylko jedna wielkość zmienna.

Rozpatrzmy jeden z bardziej kłopotliwych przypadków:

$\nabla(UV)$ , gdzie  $U, V$  są dowolnymi funkcjami skalarnymi lub wektorowymi. Dla każdego rodzaju mnożenia  $\nabla(UV) = \nabla(\underline{U}V) + \nabla(U\underline{V})$ , przy czym różniczkowanie dotyczy funkcji podkreślonej.

W szczególnych przypadkach należy zmienić porządek czynników, tak aby połączyć  $\nabla$  z funkcją, którą należy różniczkować, pamiętając jednocześnie o własnościach iloczynów w polu wektorowym (tabl. 1.1).

## 1.6. Pochodna w kierunku wektora. Gradient

### Definicja 1.6.1

Dana jest funkcja skalarna  $f$  klasy  $C^1$  w obszarze  $D \subset R^3$ . Punkty, w których funkcja  $f$  ma stałą wartość, tworzą **powierzchnię ekwiskalarną** o równaniu  $f(x, y, z) = const$ .

Wartość funkcji  $f$  przy przemieszczaniu się po powierzchni ekwiskalarniej nie zmienia się, zatem jej przyrost  $df = 0$ .

Weźmy pod uwagę dowolną linię  $L$  leżącą w obszarze  $D$  i zbadajmy wartość przyrostu funkcji  $f$  na linii  $L$ . Niech punkty leżące na  $L$  mają współrzędne  $P(x, y, z)$ ,  $M(x + dx, y + dy, z + dz)$ .

### Definicja 1.6.2

**Pochodną** funkcji  $f$  w punkcie  $P$  w **kierunku wektora**  $\vec{S}$ , stycznego do linii  $L$  w punkcie  $P$ , nazywamy wielkość skalarną:

$$\frac{df(P)}{ds} = \lim_{M \rightarrow P} \frac{f(M) - f(P)}{|MP|}$$

gdzie  $S$  oznacza pólś o kierunku wektora  $\vec{S}$  wychodzącą z punktu  $P$ .

Pochodna kierunkowa określa prędkość zmian funkcji w danym punkcie w kierunku osi  $S$ . Oznaczając wektor wodzący punktu  $P$  przez:

$$\vec{r} = x\vec{i} + y\vec{j} + z\vec{k}$$

oraz punktu  $M$  jako:

$$\vec{r}_1 = \vec{r} + d\vec{r} = (x + dx)\vec{i} + (y + dy)\vec{j} + (z + dz)\vec{k}$$

otrzymamy przyrost funkcji  $f$  przy przejściu od punktu  $P$  do  $M$ , równy:

$$df = \frac{\partial f}{\partial x} dx + \frac{\partial f}{\partial y} dy + \frac{\partial f}{\partial z} dz$$

co można zapisać w postaci:

$$df = \left( \frac{\partial f}{\partial x} \vec{i} + \frac{\partial f}{\partial y} \vec{j} + \frac{\partial f}{\partial z} \vec{k} \right) \circ (\vec{i} dx + \vec{j} dy + \vec{k} dz)$$

Pierwszy czynnik tego iloczynu nazywamy **gradientem pola skalarnego**  $f$ , zatem:

### Definicja 1.6.3

$$grad f = \frac{\partial f}{\partial x} \vec{i} + \frac{\partial f}{\partial y} \vec{j} + \frac{\partial f}{\partial z} \vec{k} = \nabla f$$

a drugi czynnik – **różniczką wektora wodzącego**, stąd:

### Definicja 1.6.4

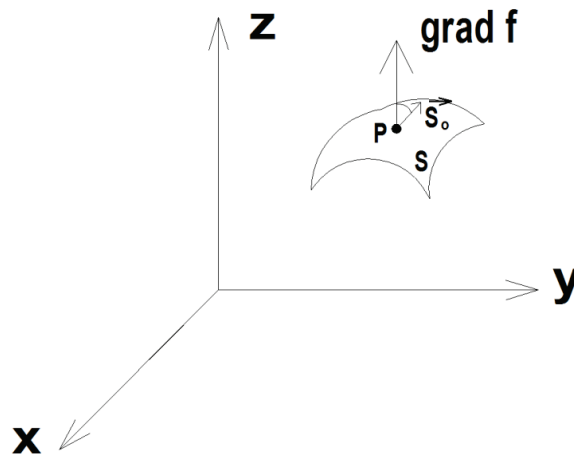
$$d\vec{r} = \vec{i} dx + \vec{j} dy + \vec{k} dz$$

Wielkość  $df$ , zwaną **różniczką pola skalarnego**, definiujemy następująco:

**Definicja 1.6.5**

$$df = \text{grad } f \circ d\vec{r}$$

Na powierzchni ekwiskalarnej przyrost pola skalarnego  $df = 0$ . Stąd wynika, że wektor  $\text{grad } f$  jest prostopadły do tej powierzchni (rys. 1.4).



Rys. 1.4. Interpretacja geometryczna gradientu funkcji

Linie prostopadłe do powierzchni ekwiskalnych nazywamy **liniami pola**.

Jeżeli wyrazimy wektor  $d\vec{r}$  przez wektor jednostkowy  $\vec{S}_0$ :

$$\vec{S}_0 = \vec{i} \cos \alpha + \vec{j} \cos \beta + \vec{k} \cos \gamma$$

gdzie:  $\cos \alpha, \cos \beta, \cos \gamma$  są kosinusami kierunkowymi wektora  $\vec{r}$ ,  
to:

$$d\vec{r} = \vec{S}_0 ds$$

i wówczas:

$$\frac{df}{ds} = \text{grad } f \circ \vec{S}_0$$

Uwzględniając definicję iloczynu skalarnego, poprzedni związek można zapisać w postaci:

$$\frac{df}{ds} = |\text{grad } f| \cdot 1 \cdot \cos \varphi$$

gdzie  $\varphi$  to kąt między wektorami  $\text{grad } f$  i  $\vec{S}_0$  w punkcie  $P$  (rys. 1.4).

Pochodna  $\frac{df(P)}{ds}$  osiąga największą wartość, jeżeli  $\cos \varphi = 1$ , tzn.  $\varphi = 0$ , czyli kierunek wektora  $\text{grad } f(P)$  jest zgodny z kierunkiem najszybszego wzrostu funkcji  $f$  w punkcie  $P$ , długość  $|\text{grad } f(P)|$  jest zaś równa największemu przyrostowi tej funkcji w punkcie  $P$ .

**Definicja 1.6.6**

Niech  $S$  będzie dowolną powierzchnią leżącą w obszarze  $\Omega \subset R^3$ ,  $f$  – dowolną funkcją skalarną różniczkowalną w  $\Omega$ ,  $\vec{n}_o$  – wektorem normalnej do  $S$ .

**Pochodną normalną** funkcji  $f$  względem powierzchni  $S$  nazywamy pochodną  $f$  w kierunku wektora  $\vec{n}$  normalnego do tej powierzchni i oznaczamy symbolem  $\frac{df}{dn}$ .

Ponieważ:

$$\frac{df}{dn} = grad f \circ \vec{n}_o$$

w przypadku, gdy  $S$  będzie powierzchnią ekwiskalarną (rys. 1.4),  $grad f$  mający kierunek normalnej do tej powierzchni w punkcie  $P$  ma długość równą:

$$|grad f(P)| = \left| \frac{df(P)}{dn} \right|$$

**Uwaga 1**

W przypadku pola skalarnego określonego w  $R^3$  funkcją  $f(r)$ , gdzie  $r = |\vec{r}|$ , powierzchnie ekwiskalarne są sferami współśrodkowymi o środku leżącym w biegunie, gdyż  $f(x^2 + y^2 + z^2) = const$  jest równoważne związkowi  $x^2 + y^2 + z^2 = const$  lub krócej  $r = const$ . Pole  $f(r)$  nosi nazwę pola centralnego lub środkowo-symetrycznego.

**Przykład 1**

Znaleźć gradient funkcji  $f(x, y, z) = x^2 + y^3 + z$  w punkcie  $P_0(1,1,2)$ .

Rozwiązanie:

$$grad f = 2x\vec{i} + 3y^2\vec{j} + \vec{k}$$

$$(grad f)_{P_0} = 2\vec{i} + 3\vec{j} + \vec{k}$$

**Przykład 2**

Wyznaczyć  $grad R$ , gdzie:  $R = |\vec{R}| = \sqrt{x^2 + y^2 + z^2}$ .

Rozwiązanie:

$$grad R = \frac{x}{\sqrt{x^2 + y^2 + z^2}}\vec{i} + \frac{y}{\sqrt{x^2 + y^2 + z^2}}\vec{j} + \frac{z}{\sqrt{x^2 + y^2 + z^2}}\vec{k} = \frac{\vec{R}}{R}$$

**Przykład 3**

$$grad f(R) = \nabla f(R) = f'(R)\nabla R = f'(R)\frac{\vec{R}}{R}$$

**Przykład 4**

Niech  $\vec{a}$  oznacza wektor stały, to znaczy wektor o współrzędnych liczbowych. Wówczas:

$$grad (\vec{a} \circ \vec{R}) = \nabla(\vec{a} \circ \vec{R}) = a_x\vec{i} + a_y\vec{j} + a_z\vec{k} = \vec{a}$$

**Przykład 5**

Wykazać słuszność wzorów:

a)  $\text{grad}(fg) = g \text{ grad } f + f \text{ grad } g$

Dowód:

$$\text{grad}(fg) = \nabla(fg) = \nabla(f \underline{g}) + \nabla(f \underline{g}) = g(\nabla f) + f(\nabla g) = g \text{ grad } f + f \text{ grad } g$$

b)  $\text{grad}\left(\frac{f}{g}\right) = \frac{g \text{ grad } f - f \text{ grad } g}{g^2}$

Dowód:

$$\text{grad}\left(\frac{f}{g}\right) = \nabla\left(\frac{f}{g}\right) = \frac{g\nabla f - f\nabla g}{g^2} = \frac{g \text{ grad } f - f \text{ grad } g}{g^2}$$

**Przykład 6**

Znaleźć pochodną funkcji  $u = u(x, y, z)$  w kierunku  $\text{grad } v(x, y, z)$ , przy czym  $u$  i  $v$  są dowolnymi funkcjami różniczkowalnymi w  $R^3$ .

Rozwiązanie:

Zgodnie z definicją 1.6.3 mamy:

$$\text{grad } u = \frac{\partial u}{\partial x} \vec{i} + \frac{\partial u}{\partial y} \vec{j} + \frac{\partial u}{\partial z} \vec{k}$$

i podobnie:

$$\text{grad } v = \frac{\partial v}{\partial x} \vec{i} + \frac{\partial v}{\partial y} \vec{j} + \frac{\partial v}{\partial z} \vec{k}$$

stąd kosinusy kierunkowe wektora  $\text{grad } v$  są równe, odpowiednio:

$$\cos(\text{grad } v, x) = \frac{\frac{\partial v}{\partial x}}{|\text{grad } v|}$$

$$\cos(\text{grad } v, y) = \frac{\frac{\partial v}{\partial y}}{|\text{grad } v|}$$

$$\cos(\text{grad } v, z) = \frac{\frac{\partial v}{\partial z}}{|\text{grad } v|}$$

Pochodna funkcji  $u$  w kierunku wektora  $\vec{S} = \text{grad } v$

$$\frac{du}{ds} = \text{grad } u \circ \vec{S}_o = \frac{\frac{\partial u}{\partial x} \frac{\partial v}{\partial x} + \frac{\partial u}{\partial y} \frac{\partial v}{\partial y} + \frac{\partial u}{\partial z} \frac{\partial v}{\partial z}}{|\text{grad } v|} = \frac{\text{grad } u \circ \text{grad } v}{|\text{grad } v|}$$

Znaleziona pochodna  $\frac{du}{ds}$  będzie równa zero, jeżeli:

$$\text{grad } u \circ \text{grad } v = 0$$

a to oznacza, że wektory  $\text{grad } u$  i  $\text{grad } v$  są ortogonalne (prostopadłe).

**Ćwiczenia**

Wykazać słuszność wzorów:

1.  $\text{grad}(f \pm g) = \text{grad } f \pm \text{grad } g$



2.  $\text{grad}(\alpha f) = \alpha \text{grad} f$
3.  $\text{grad} c = 0$ , gdzie  $c$  – liczba rzeczywista

### 1.7. Dywergencja

Dane jest pole wektorowe  $\vec{w} = W_x(x, y, z)\vec{i} + W_y(x, y, z)\vec{j} + W_z(x, y, z)\vec{k}$  klasy  $C^1$  w obszarze  $\Omega \subset R^3$ .

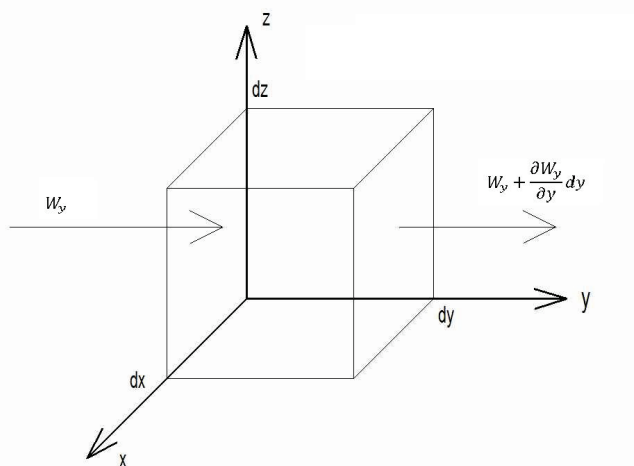
#### Definicja 1.7.1

**Dywergencją (wydajnością źródła)** nazywamy funkcję skalarną określoną w danym polu wektorowym wzorem:

$$\text{div} \vec{w} = \frac{\partial w_x}{\partial x} + \frac{\partial w_y}{\partial y} + \frac{\partial w_z}{\partial z} = \nabla \circ \vec{w}$$

#### Hydromechaniczna interpretacja dywergencji

Całkowitą wydajnością danej objętości zawierającej źródła nazywamy różnicę między ilością płynu, która z prędkością  $\vec{w}$  wypływa z tej objętości w jednostce czasu, a ilością, która do niej wpływa (rys. 1.5).



Rys. 1.5. Ilustracja hydromechanicznej interpretacji dywergencji

W przypadku, gdy  $\text{div} \vec{w}(P) > 0$ , w punkcie  $P$  występuje źródło o wydajności równej  $\text{div} \vec{w}$ , jeżeli  $\text{div} \vec{w}(P) < 0$ , to w punkcie  $P$  występuje spływ o wydajności równej  $|\text{div} \vec{w}(P)|$ . Gdy  $\text{div} \vec{w}(P) = 0$ , to w punkcie  $P$  nie ma spływów ani źródeł.

#### Interpretacja elektrostatyczna dywergencji

W polu elektrostatycznym  $\vec{E}$  dywergencja jest proporcjonalna do gęstości  $\rho$  rozkładu ładunków (porównaj z podrozdziałem 3.1 i z definicją 3.1.2), przy czym za źródła przyjęto punkty pola, w których znajdują się ładunki dodatnie, za spływy zaś – punkty pola z ładunkami ujemnymi.

**Definicja 1.7.2**

Pole skalarne  $\varphi = \operatorname{div} \vec{w}$  nazywamy **polem źródłowym**, gdy  $\operatorname{div} \vec{w} \neq 0$ .

**Definicja 1.7.3**

Jeżeli  $\operatorname{div} \vec{w} = 0$  w każdym punkcie obszaru  $\Omega \subset \mathbb{R}^3$ , to pole  $\vec{w}$  nazywamy **polem beźródłowym**.

**Przykład 1**

Znaleźć dywergencję wektora  $\vec{w} = [2xy, y^2z, xz^3]$  w punkcie  $P_0(1, -1, 1)$ .

Rozwiązanie:

$$\begin{aligned} \operatorname{div} \vec{w} &= 2y + 2yz + 3xz^2 \\ (\operatorname{div} \vec{w})_{P_0} &= -1 \end{aligned}$$

**Przykład 2**

Wyznaczyć  $\operatorname{div} \vec{R}$ , gdzie  $\vec{R} = [x, y, z]$ .

Rozwiązanie:

$$\operatorname{div} \vec{R} = \frac{\partial x}{\partial x} + \frac{\partial y}{\partial y} + \frac{\partial z}{\partial z} = 3$$

**Przykład 3**

$$\begin{aligned} \operatorname{div} [f(R)\vec{R}] &= \nabla \circ [f(R)\vec{R}] + \nabla \circ [f(R)\vec{R}] = \vec{R} \circ \nabla f(R) + f(R)(\nabla \circ \vec{R}) = \\ &= \vec{R} \circ f'(R) \frac{\vec{R}}{R} + f(R) \operatorname{div} \vec{R} = Rf'(R) + 3f(R) \end{aligned}$$

**Przykład 4**

$$\begin{aligned} \operatorname{div} \left( \operatorname{grad} \frac{1}{R} \right) &= \operatorname{div} \left( -\frac{1}{R^2} \vec{R} \right) = -\operatorname{div} \left( \frac{\vec{R}}{R^3} \right) = -\vec{R} \circ \operatorname{grad} \left( \frac{1}{R^3} \right) - \frac{1}{R^3} \operatorname{div} \vec{R} = \\ &= -\vec{R} \circ \left( -\frac{3\vec{R}}{R^5} \right) - \frac{3}{R^3} = 0 \end{aligned}$$

**Przykład 5**

Wykazać słuszność wzorów:

a)  $\operatorname{div} (\operatorname{grad} f) = \Delta f$

Dowód:

$$\nabla \circ \nabla f = \nabla^2 f = \Delta f$$

b)  $\operatorname{div} (f\vec{w}) = \vec{w} \circ \operatorname{grad} f + f \operatorname{div} \vec{w}$

Dowód:

$$\operatorname{div} (f\vec{w}) = \vec{w} \circ \nabla f + f(\nabla \circ \vec{w}) = \vec{w} \circ \operatorname{grad} f + f \operatorname{div} \vec{w}$$

c)  $\operatorname{div} (u \operatorname{grad} u) = (\operatorname{grad} u)^2 + u \Delta u$

Dowód:

$$\begin{aligned} \operatorname{div} (u \operatorname{grad} u) &= \nabla \circ (u \nabla u) = \nabla u \circ \nabla u + u(\nabla \circ \nabla u) = (\nabla u)^2 + u \Delta u = \\ &= (\operatorname{grad} u)^2 + u \Delta u \end{aligned}$$

### Ćwiczenia

Wykazać słuszność wzorów:

1.  $\operatorname{div} (f \pm g) = \operatorname{div} f \pm \operatorname{div} g$
2.  $\operatorname{div} (\alpha f) = \alpha \operatorname{div} f$
3.  $\operatorname{div} \vec{c} = 0$ , gdzie  $\vec{c}$  – wektor stały, czyli o współrzędnych liczbowych

## 1.8. Rotacja

### Definicja 1.8.1

**Rotacją (wirem)** pola  $\vec{w}$  nazywamy funkcję wektorową  $\operatorname{rot} \vec{w}$  określoną w przestrzeni wektorowej  $X \subset R^3$ , zdefiniowaną wzorem:

$$\operatorname{rot} \vec{w} = \begin{vmatrix} \vec{i} & \vec{j} & \vec{k} \\ \frac{\partial}{\partial x} & \frac{\partial}{\partial y} & \frac{\partial}{\partial z} \\ w_x & w_y & w_z \end{vmatrix} = \nabla \times \vec{w}$$

### Interpretacja fizyczna rotacji

W polu wektorowym prędkości  $\vec{v}$  o nieznikającej rotacji występują wiry (zamknięte linie). Przedmiot unoszący się w takim polu na pewnej powierzchni (np. cieczy) będzie się poruszał ruchem obrotowym z prędkością  $\vec{\omega}$ .

### Definicja 1.8.2

**Pole wektorowe**  $\vec{w}$  nazywamy **bezwirowym** w obszarze  $\Omega$ , jeżeli  $\operatorname{rot} \vec{w}(P) = \vec{0}$  w każdym punkcie  $P \in \Omega$ .

Zgodnie z interpretacją hydromechaniczną poruszająca się cząsteczka płynu, nieposiadająca prędkości kątowej, ma prędkość liniową bezwirową, czyli nie zachodzi ruch obrotowy cząsteczki.

### Przykład 1

Znaleźć rotację pola wektorowego  $\vec{w} = [2xy, y^2z, xz^3]$  w punkcie  $P_0(1, -1, 1)$ .

Rozwiązanie:

Zgodnie z definicją 1.8.1 mamy:

$$\operatorname{rot} \vec{w} = \vec{i}(0 - y^2) + \vec{j}(0 - z^3) + \vec{k}(0 - 2)$$

stąd ostatecznie:

$$\operatorname{rot} \vec{w}(P_0) = -\vec{i} - \vec{j} - 2\vec{k}$$

### Przykład 2

Znaleźć rotację wektora wodzącego  $\vec{R}$ .

Rozwiązanie:

$$\operatorname{rot} \vec{R} = \begin{vmatrix} \vec{i} & \vec{j} & \vec{k} \\ \frac{\partial}{\partial x} & \frac{\partial}{\partial y} & \frac{\partial}{\partial z} \\ x & y & z \end{vmatrix} = \vec{0}$$

**Przykład 3**

$$\begin{aligned} \operatorname{rot} [\vec{R}(\vec{a} \circ \vec{R})] &= \nabla \times [\vec{R}(\vec{a} \circ \vec{R})] + \nabla \times [\vec{R}(\vec{a} \circ \vec{R})] = (\vec{a} \circ \vec{R})(\nabla \times \vec{R}) - \vec{R} \times \nabla(\vec{a} \circ \vec{R}) = \\ &= (\vec{a} \circ \vec{R}) \operatorname{rot} \vec{R} - \vec{R} \times \operatorname{grad}(\vec{a} \circ \vec{R}) = \vec{0} - \vec{R} \times \vec{a} = \vec{a} \times \vec{R} \end{aligned}$$

**Przykład 4**

Wykazać słuszność wzorów:

a)  $\operatorname{rot}(f \vec{w}) = f \operatorname{rot} \vec{w} - \vec{w} \times \operatorname{grad} f$

Dowód:

$$\operatorname{rot}(f \vec{w}) = \nabla \times f \vec{w} = \nabla f \times \vec{w} + f(\nabla \times \vec{w}) = f \operatorname{rot} \vec{w} - \vec{w} \times \operatorname{grad} f$$

b)  $\operatorname{rot}(\operatorname{grad} f) = \vec{0}$

Dowód:

$$\operatorname{rot}(\operatorname{grad} f) = (\nabla \times \nabla)f = \vec{0}$$

c)  $\operatorname{div}(\operatorname{rot} \vec{w}) = 0$

Dowód:

$$\operatorname{div}(\operatorname{rot} \vec{w}) = \nabla \circ (\nabla \times \vec{w}) = (\nabla \times \nabla) \circ \vec{w} = 0$$

d)  $\operatorname{rot}(\operatorname{rot} \vec{w}) = \operatorname{grad}(\operatorname{div} \vec{w}) - \Delta \vec{w}$

Dowód:

$$\operatorname{rot}(\operatorname{rot} \vec{w}) = \nabla \times (\nabla \times \vec{w}) = \nabla(\nabla \circ \vec{w}) - (\nabla \circ \nabla)\vec{w} = \operatorname{grad}(\operatorname{div} \vec{w}) - \Delta \vec{w}$$

e)  $\operatorname{div}(\vec{w} \times \vec{v}) = \vec{v} \circ \operatorname{rot} \vec{w} - \vec{w} \circ \operatorname{rot} \vec{v}$

Dowód:

$$\begin{aligned} \operatorname{div}(\vec{w} \times \vec{v}) &= \nabla \circ (\vec{w} \times \vec{v}) = \nabla \circ (\vec{w} \times \vec{v}) + \nabla \circ (\vec{w} \times \vec{v}) = \\ &= \vec{v} \circ (\nabla \times \vec{w}) - \vec{w} \circ (\nabla \times \vec{v}) = \vec{v} \circ \operatorname{rot} \vec{w} - \vec{w} \circ \operatorname{rot} \vec{v} \end{aligned}$$

**Ćwiczenia**

Wykazać słuszność wzorów:

1.  $\operatorname{rot}(\vec{w} \pm \vec{v}) = \operatorname{rot} \vec{w} \pm \operatorname{rot} \vec{v}$

2.  $\operatorname{rot}(\alpha \vec{w}) = \alpha \operatorname{rot} \vec{w}$

3.  $\operatorname{rot} \vec{c} = 0$ , gdzie  $\vec{c}$  – wektor stały, czyli o współrzędnych liczbowych

## 1.9. Funkcje pola we współrzędnych walcowych

### a) Funkcje pola

Podstawowe funkcje pola we współrzędnych walcowych wyrażają się wzorami:

$$\left. \begin{aligned} \text{grad } f &= \frac{\partial f}{\partial r} \vec{e}_r + \frac{1}{r} \frac{\partial f}{\partial \varphi} \vec{e}_\varphi + \frac{\partial f}{\partial z} \vec{e}_z \\ \text{div } \vec{W} &= \frac{1}{r} \frac{\partial}{\partial r} (r W_r) + \frac{1}{r} \frac{\partial W_\varphi}{\partial \varphi} + \frac{\partial W_z}{\partial z} \\ \text{rot } \vec{W} &= \begin{vmatrix} \frac{1}{r} \vec{e}_r & \vec{e}_\varphi & \frac{1}{r} \vec{e}_z \\ \frac{\partial}{\partial r} & \frac{\partial}{\partial \varphi} & \frac{\partial}{\partial z} \\ W_r & r W_\varphi & W_z \end{vmatrix} \\ \Delta f &= \frac{1}{r} \frac{\partial}{\partial r} \left( r \frac{\partial f}{\partial r} \right) + \frac{1}{r^2} \frac{\partial^2 f}{\partial \varphi^2} + \frac{\partial^2 f}{\partial z^2} \end{aligned} \right\}$$

### b) Funkcje pola dla wektora wodzącego

Wektor wodzący  $\vec{R}$ , dany we współrzędnych kartezjańskich jako  $\vec{R} = x\vec{i} + y\vec{j} + z\vec{k} = r \cos \varphi \vec{i} + r \sin \varphi \vec{j} + z\vec{k}$ , będzie miał współrzędne walcowe:

$$\begin{cases} R_r = x \cos \varphi + y \sin \varphi = r \cos^2 \varphi + r \sin^2 \varphi = r \\ R_\varphi = -x \sin \varphi + y \cos \varphi = -r \sin \varphi \cos \varphi + r \cos \varphi \sin \varphi = 0 \\ R_z = z \end{cases}$$

Wobec tego  $\vec{R} = r\vec{e}_r + z\vec{e}_z$ ;  $R = \sqrt{r^2 + z^2}$  i stąd mamy:

$$\begin{aligned} \text{grad } R &= \frac{r}{R} \vec{e}_r + \frac{z}{R} \vec{e}_z = \frac{\vec{R}}{R} \\ \text{div } \vec{R} &= \frac{1}{r} \frac{\partial (r^2)}{\partial r} + \frac{\partial z}{\partial z} = 3 \\ \Delta R &= \frac{1}{r} \frac{\partial}{\partial r} \left( \frac{r^2}{\sqrt{r^2 + z^2}} \right) + \frac{\partial}{\partial z} \left( \frac{r}{\sqrt{r^2 + z^2}} \right) = \frac{2}{\sqrt{r^2 + z^2}} = \frac{2}{R} \\ \text{rot } \vec{R} &= \vec{0} \end{aligned}$$

#### Przykład 1

Obliczyć dywergencję i rotację wersorów osi we współrzędnych walcowych.

Rozwiązanie:

Ponieważ wersory mają współrzędne walcowe:

$$\vec{e}_r = [1, 0, 0], \vec{e}_\varphi = [0, 1, 0], \vec{e}_z = [0, 0, 1]$$

więc:

$$\begin{aligned} \operatorname{div} \vec{e}_r &= \frac{1}{r} \frac{\partial r}{\partial r} = \frac{1}{r} & \operatorname{rot} \vec{e}_r &= \vec{0} \\ \operatorname{div} \vec{e}_\varphi &= \frac{1}{r} \frac{\partial(1)}{\partial \varphi} = 0 & \operatorname{rot} \vec{e}_\varphi &= \frac{1}{r} \frac{\partial r}{\partial r} \vec{e}_z = \frac{1}{r} \vec{e}_z \\ \operatorname{div} \vec{e}_z &= 0 & \operatorname{rot} \vec{e}_z &= 0 \end{aligned}$$

### Przykład 2

Obliczyć dywergencję i rotację pola:

$$\vec{W} = \frac{1}{r} \vec{e}_r + r \cos \varphi \vec{e}_\varphi + z \sin \varphi \vec{e}_z$$

Rozwiązanie:

$$\begin{aligned} \operatorname{div} \vec{W} &= \frac{1}{r} \frac{\partial(1)}{\partial r} + \frac{1}{r} \frac{\partial(r \cos \varphi)}{\partial \varphi} + \frac{\partial(z \sin \varphi)}{\partial z} = 0 \\ \operatorname{rot} \vec{W} &= \frac{1}{r} \frac{\partial(z \sin \varphi)}{\partial \varphi} \vec{e}_r + \frac{1}{r} \frac{\partial(r \cos \varphi)}{\partial r} \vec{e}_z = \frac{1}{r} z \cos \varphi \vec{e}_r + \frac{1}{r} \cos \varphi \vec{e}_z \end{aligned}$$

## 1.10. Funkcje pola we współrzędnych sferycznych

### a) Funkcje pola

Funkcje pola wyrażone we współrzędnych sferycznych mają postać:

$$\left\{ \begin{aligned} \operatorname{grad} f &= \frac{\partial f}{\partial r} \vec{e}_r + \frac{1}{r} \frac{\partial f}{\partial \theta} \vec{e}_\theta + \frac{1}{r \sin \theta} \frac{\partial f}{\partial \varphi} \vec{e}_\varphi \\ \operatorname{div} \vec{W} &= \frac{1}{r^2} \frac{\partial}{\partial r} (r^2 W_r) + \frac{1}{r \sin \theta} \frac{\partial}{\partial \theta} (W_\theta \sin \theta) + \frac{1}{r \sin \theta} \frac{\partial W_\varphi}{\partial \varphi} \\ \operatorname{rot} \vec{W} &= \begin{vmatrix} \vec{e}_r & \vec{e}_\theta & \vec{e}_\varphi \\ r^2 \sin \theta & r \sin \theta & r \\ \frac{\partial}{\partial r} & \frac{\partial}{\partial \theta} & \frac{\partial}{\partial \varphi} \\ W_r & r W_\theta & r \sin \theta W_\varphi \end{vmatrix} \\ \Delta f &= \frac{1}{r^2} \left[ \frac{\partial}{\partial r} \left( r^2 \frac{\partial f}{\partial r} \right) + \frac{1}{\sin \theta} \frac{\partial}{\partial \theta} \left( \sin \theta \frac{\partial f}{\partial \theta} \right) + \frac{1}{\sin^2 \theta} \frac{\partial^2 f}{\partial \varphi^2} \right] \end{aligned} \right.$$

### b) Funkcje pola dla wektora wodzącego

Uwzględniając równanie macierzowe:

$$\begin{bmatrix} R_r \\ R_\theta \\ R_\varphi \end{bmatrix} = \mathbb{A} \begin{bmatrix} r \cos \varphi \sin \theta \\ r \sin \varphi \sin \theta \\ r \cos \theta \end{bmatrix}$$

otrzymuje się zależności:

$$R_r = r \cos^2 \varphi \sin^2 \theta + r \sin^2 \varphi \sin^2 \theta + r \cos^2 \theta = r$$

$$R_\theta = r \cos^2 \varphi \sin \theta \cos \theta + r \sin^2 \varphi \sin \theta \cos \theta - r \sin \theta \cos \theta = 0$$

$$R_\varphi = -r \cos \varphi \sin \varphi \sin \theta + r \cos \varphi \sin \varphi \sin \theta = 0$$

czyli wektor wodzący wyrażony we współrzędnych sferycznych przyjmie postać:

$$\vec{R} = r\vec{e}_r; R = r$$

natomiast funkcje pola:

$$\text{grad } R = \frac{\partial r}{\partial r} \vec{e}_r = \vec{e}_r$$

$$\text{div } \vec{R} = \frac{1}{r^2} \frac{\partial r^3}{\partial r} = 3$$

$$\Delta R = \frac{1}{r^2} \frac{\partial r^2}{\partial r} = \frac{2}{r}$$

**Przykład 1**

Obliczyć dywergencję i rotację wektorów osi we współrzędnych sferycznych:

Rozwiązanie:

$$\text{div } \vec{e}_r = \frac{1}{r^2} \frac{\partial r^2}{\partial r} = \frac{2}{r}$$

$$\text{rot } \vec{e}_r = \vec{0}$$

$$\text{div } \vec{e}_\theta = \frac{1}{r \sin \theta} \frac{\partial(\sin \theta)}{\partial \theta} = \frac{1}{r} \text{ctg } \theta$$

$$\text{rot } \vec{e}_\theta = \frac{1}{r} \vec{e}_\varphi$$

$$\text{div } \vec{e}_\varphi = 0$$

$$\text{rot } \vec{e}_\varphi = \frac{\partial}{\partial \theta} (r \sin \theta) \frac{\vec{e}_r}{r^2 \sin \theta} - \frac{\partial(r \sin \theta)}{\partial r} \frac{\vec{e}_\theta}{r \sin \theta} = \frac{1}{r} \text{ctg } \theta \vec{e}_r - \frac{1}{r} \vec{e}_\theta$$

**Przykład 2**

Obliczyć dywergencję i rotację pola:

$$\vec{w} = 2r\vec{e}_r + \frac{1}{\sin \theta} \vec{e}_\theta + r\vec{e}_\varphi$$

Rozwiązanie:

$$\text{div } \vec{w} = \frac{1}{r^2} \frac{\partial(2r^3)}{\partial r} + \frac{1}{r \sin \theta} \frac{\partial(1)}{\partial \theta} + \frac{1}{r \sin \theta} \frac{\partial r}{\partial \varphi} = 6$$

$$\text{rot } \vec{w} = \begin{vmatrix} \vec{e}_r & \vec{e}_\theta & \vec{e}_\varphi \\ \frac{1}{r^2 \sin \theta} & \frac{1}{r \sin \theta} & \frac{1}{r} \\ \frac{\partial}{\partial r} & \frac{\partial}{\partial \theta} & \frac{\partial}{\partial \varphi} \\ 2r & \frac{1}{\sin \theta} & r^2 \sin \theta \end{vmatrix} = \frac{\vec{e}_r}{r^2 \sin \theta} (r^2 \cos \theta) - \frac{\vec{e}_\theta}{r \sin \theta} (2r \sin \theta) + \frac{\vec{e}_\varphi}{r} \left( \frac{1}{\sin \theta} \right)$$

więc ostatecznie:

$$\text{rot } \vec{w} = \vec{e}_r \text{ctg } \theta - 2\vec{e}_\theta + \frac{\vec{e}_\varphi}{r \sin \theta}$$

## Rozdział 2

# Twierdzenia całkowe

### 2.1. Strumień wektora. Twierdzenie Gaussa-Ostrogradskiego

Dane są pole wektorowe  $\vec{W}$  klasy  $C^1$  w obszarze  $\Omega \subset R^3$  oraz powierzchnia  $S$  leżąca w  $\Omega$ .

#### Definicja 2.1.1

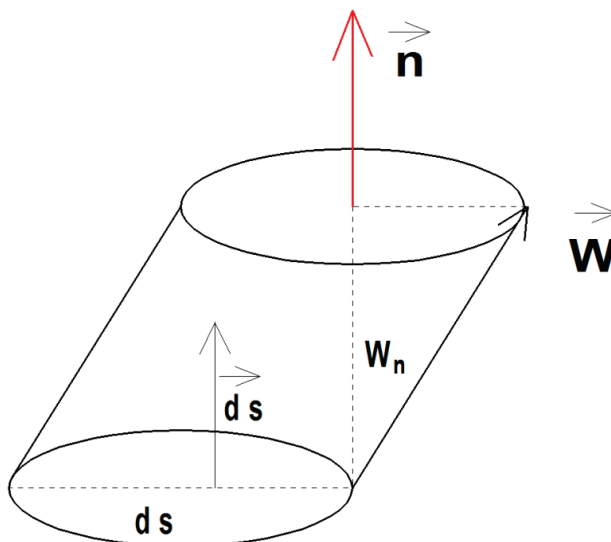
Strumieniem wektora  $\vec{W}$  przez element powierzchniowy  $dS$  nazywamy wielkość skalarną:

$$\Phi = \iint_S \vec{W} \circ d\vec{S} = \iint_S \vec{W} \circ \vec{n} dS = \iint_S W_n dS$$

gdzie:  $\vec{n}$  – wektor normalnej do powierzchni  $S$ ;  $W_n$  – składowa normalna wektora  $\vec{W}$ .

#### Hydromechaniczna interpretacja strumienia

Jeżeli wektor  $\vec{W}$  określa prędkość cząsteczek rozważanej cieczy, to wielkość  $W_n dS$  wyznacza objętość cieczy przepływającej w jednostce czasu przez element powierzchniowy  $dS$ . Objętość ta jest równa objętości walca pokazanego na rys. 2.1.



Rys. 2.1. Ilustracja hydromechanicznej interpretacji strumienia



Jeżeli powierzchnia  $S$  jest zamknięta, to  $\Phi$  przedstawia różnicę między ilością cieczy wpływającej i wypływającej z badanego obszaru, czyli całkowitą wydajność źródeł znajdujących się w tym obszarze.

### Twierdzenie Gaussa-Ostrogradskiego

Jeżeli  $S$  jest powierzchnią regularną, zamkniętą, zorientowaną dodatnio (czyli normalna do powierzchni  $S$  jest skierowana na zewnątrz), ograniczającą obszar  $V$ , pole  $\vec{W}$  jest klasy  $C^1(S \cup V)$ , to:

$$\iint_S \vec{W} \circ d\vec{S} = \iiint_V \operatorname{div} \vec{W} dV$$

Dowód pomijamy.

#### Przykład 1

Wykazać, że  $\iint_{(S^+)} \operatorname{rot} \vec{W} \circ d\vec{S} = 0$  dla dowolnej powierzchni zamkniętej  $S$  ograniczającej obszar  $V$  i pola  $\vec{w} \in C^1(S \cup V)$ .

Rozwiązanie:

Ponieważ:

$$\operatorname{div} (\operatorname{rot} \vec{W}) = 0$$

więc z twierdzenia Gaussa:

$$\iint_{(S^+)} \operatorname{rot} \vec{W} \circ d\vec{S} = \iiint_V \operatorname{div} (\operatorname{rot} \vec{W}) dV = 0$$

#### Przykład 2

Wykazać, że dla dowolnej zamkniętej powierzchni  $S$  i ograniczonego przez nią obszaru  $V$  zachodzą równości:

a)

$$\iint_{(S^+)} \vec{r} \circ d\vec{S} = 3|V|$$

b)

$$\iint_{(S^+)} \frac{\vec{r} \circ d\vec{S}}{r^2} = \iiint_V \frac{dV}{r^2}$$

Rozwiązanie:

a) Z twierdzenia Gaussa mamy kolejno:

$$\iint_{(S^+)} \vec{r} \circ d\vec{S} = \iiint_V (\nabla \circ \vec{r}) dV = 3 \iiint_V dV = 3|V|$$

b) Ponieważ:

$$\operatorname{div} \left( \frac{\vec{r}}{r^2} \right) = \nabla \circ \frac{\vec{r}}{r^2} = \frac{1}{r^2} (\nabla \circ \vec{r}) + \vec{r} \circ \nabla \left( \frac{1}{r^2} \right) = \frac{3}{r^2} - \vec{r} \circ \frac{2\vec{r}}{r^4} = \frac{3}{r^2} - \frac{2}{r^2} = \frac{1}{r^2}$$

więc:

$$\iint_{(S^+)} \frac{\vec{r} \circ d\vec{S}}{r^2} = \iiint_V \frac{1}{r^2} dV$$

### Przykład 3

Obliczyć strumień wektora  $\vec{W} = r^2 \vec{r}$  przez powierzchnię kuli jednostkowej  $K(0,1)$ .

Rozwiązanie:

Ponieważ powierzchnia  $S$  jest zamknięta oraz  $\vec{W} \in C^1(K)$ , więc stosując twierdzenie Gaussa, mamy:

$$\Phi = \iint_{(S^+)} r^2 \vec{r} \circ d\vec{S} = \iiint_V \operatorname{div} (r^2 \vec{r}) dV$$

ale:

$$\operatorname{div} (r^2 \vec{r}) = \nabla \circ (r^2 \vec{r}) = \vec{r} \circ (\nabla r^2) + r^2 (\nabla \circ \vec{r}) = \vec{r} \circ 2r \frac{\vec{r}}{r} + 3r^2 = 2r^2 + 3r^2 = 5r^2$$

więc wprowadzając współrzędne sferyczne:

$$\begin{cases} x = r \cos \varphi \sin \theta \\ y = r \sin \varphi \sin \theta \\ z = r \cos \theta \\ \text{jacobian} = r^2 \sin \theta \end{cases}$$

otrzymamy:

$$\Phi = 5 \iiint_{K(0,1)} r^2 dV = 40 \int_0^{\frac{\pi}{2}} d\varphi \int_0^{\frac{\pi}{2}} \sin \theta d\theta \int_0^1 r^4 dr = 4\pi$$

### Przykład 4

Znaleźć strumień wektora  $\vec{W} = \frac{2 \sin \theta}{r^3} \vec{e}_r + \frac{1}{r^3} \left[ \frac{\theta}{\sin \theta} - \cos \theta \right] \vec{e}_\theta$  przez powierzchnię sfery  $r = a$ .

Rozwiązanie:

Wektor  $\vec{W}$  nie jest klasy  $C^1$  w punkcie  $r = 0$  będącym środkiem kuli o promieniu  $a$ , więc nie można zastosować twierdzenia Gaussa.

Korzystając z definicji strumienia i uwzględniając fakt równoległości wektorów  $\vec{n}$  i  $\vec{e}_r$  oraz to, że:

$$S: \begin{cases} r = a \\ 0 \leq \theta \leq \pi \\ 0 \leq \varphi \leq 2\pi \end{cases}$$

i jacobian:

$$J = r^2 \sin \theta = a^2 \sin \theta$$

otrzymamy:

$$\Phi = \iint_{(S^+)} \vec{W} \circ d\vec{S} = \iint_S \vec{W} \circ \vec{e}_r dS = \iint_S \frac{2 \sin \theta}{r^3} dS = 2 \int_0^{2\pi} d\varphi \int_0^\pi \frac{\sin^2 \theta}{a} d\theta = \frac{2\pi^2}{a}$$

**Ćwiczenia**

1. Przekształcić na całki objętościowe:

a)

$$\iint_{(S^+)} (\vec{R} \times \vec{a}) \circ d\vec{S}$$

b)

$$\iint_{(S^+)} [\vec{R} \times (\vec{a} \times \vec{R})] d\vec{S}$$

gdzie:  $\vec{a}$  – wektor stały;  $\vec{R}$  – wektor wodzący.

Odpowiedź: a)  $\Phi = 0$       b)  $\Phi = 0$

2. Znaleźć strumień pola  $\vec{W} = \vec{r} \times \vec{a}$  przez powierzchnię sfery  $r = R$ .

Odpowiedź:  $\Phi = 0$

**2.2. Cyrkulacja. Twierdzenie Stokesa**

Dane są pole wektorowe  $\vec{W}$  określone w obszarze  $\Omega \subset R^3$  oraz linia zamknięta  $L$  leżąca w tym obszarze.

**Definicja 2.2.1**

Cyrkulacją (krążeniem) wektora  $\vec{W}$  po linii  $L$  nazywamy całkę:

$$\int_{(L)} \vec{W} \circ d\vec{L}$$

**Twierdzenie Stokesa**

Jeżeli  $S$  jest powierzchnią regularną leżącą w obszarze  $\Omega$ , zorientowaną dodatnio i rozpiętą na skierowanej dodatnio (czyli przeciwnie do ruchu wskazówek zegara) linii  $L$ , i pole wektorowe  $\vec{W} \in C^1(S \cup L)$ , to:

$$\int_{(L^+)} \vec{W} \circ d\vec{L} = \iint_{(S^+)} \text{rot } \vec{W} \circ d\vec{S}$$

Dowód pomijamy.

**Uwaga**

$\text{rot } \vec{W} \circ d\vec{S}$  można przedstawić jako  $(\text{rot } \vec{W} \circ \vec{n})dS$ , gdzie  $\vec{n}$  to wektor normalny do powierzchni  $S$ .

Interpretację geometryczną twierdzenia Stokesa ilustruje rys. 2.2.

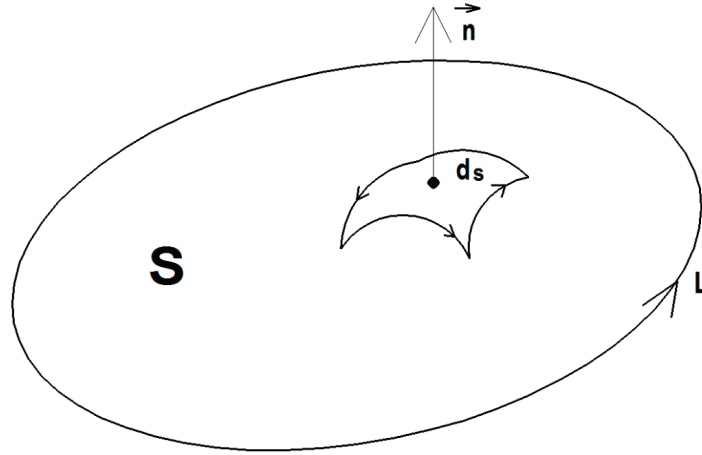
Z twierdzenia Stokesa wypływają oczywiste wnioski.

**Wniosek 1**

Cyrkulacja pola  $\vec{W}$  po linii zamkniętej jest równa strumieniowi rotacji tego pola przez powierzchnię ograniczoną linią  $L$ .

**Wniosek 2**

Jeżeli pole  $\vec{W}$  jest bezwirowe w obszarze  $\Omega$ , to cyrkulacja tego pola po dowolnej linii zamkniętej leżącej w  $\Omega$  jest równa zero.



Rys. 2.2. Interpretacja geometryczna twierdzenia Stokesa

**Przykład 1**

Wykazać, że dla dowolnej krzywej zamkniętej spełnione są równości:

$$\int_{(L)} \vec{R} \circ d\vec{L} = 0 \qquad \int_{(L)} \vec{c} \circ d\vec{L} = 0$$

gdzie  $\vec{c}$  oznacza stałe pole wektorowe.

Dowód:

Ponieważ:

$$\text{rot } \vec{R} = 0 \qquad \text{rot } \vec{c} = 0$$

więc na mocy twierdzenia Stokesa otrzymujemy podane równości.

**Przykład 2**

Obliczyć cyrkulację pola:  $\vec{W} = r\vec{e}_r + (a+r)\sin\theta\vec{e}_\varphi$   
po okręgu:  $r = a, \theta = \frac{\pi}{2}$ .

Rozwiązanie:

**I metoda**

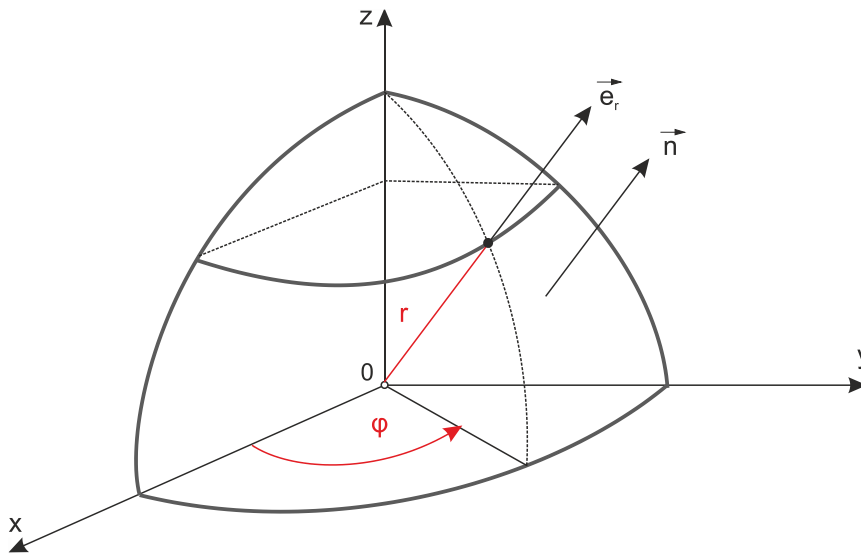
Wyznaczamy rotację pola  $\vec{W}$ :

$$\begin{aligned} \text{rot } \vec{W} &= \frac{\vec{e}_r}{r^2 \sin \theta} \frac{\partial}{\partial \theta} [r(a+r) \sin^2 \theta] + \frac{\vec{e}_\theta}{r \sin \theta} \frac{\partial}{\partial r} [-r(a+r) \sin^2 \theta] = \\ &= 2 \cos \theta \frac{a+r}{r} \vec{e}_r - \sin \theta \frac{a+2r}{r} \vec{e}_\theta \end{aligned}$$

Aby skorzystać z twierdzenia Stokesa, przyjmijmy jako powierzchnię  $S$  półsfery o promieniu  $a$  (koła  $0 \leq r \leq a, \theta = \frac{\pi}{2}$  nie można traktować jako  $S$ , gdyż obejmuje ono

punkt  $r = 0$  nieciągłości rotacji  $\vec{W}$ ). Ponieważ wektory  $\vec{e}_r$  i  $\vec{n}$  są równoległe (rys. 2.3), więc na mocy twierdzenia Stokesa otrzymamy cyrkulację równą:

$$\begin{aligned} \iint_S (\text{rot } \vec{W} \circ \vec{n}) dS &= \iint_S 2 \frac{a+r}{r} \cos \theta dS = 4 \iint_S \cos \theta dS = \\ &= 8a^2 \int_0^{2\pi} d\varphi \int_0^{\frac{\pi}{2}} \sin \theta \cos \theta d\theta = 4\pi a^2 \end{aligned}$$



Rys. 2.3. Ilustracja do obliczania cyrkulacji wektora  $\vec{W}$  przy użyciu twierdzenia Stokesa

## II metoda

$$\text{Linia } L: \begin{cases} r = a \\ \theta = \frac{\pi}{2} \\ 0 \leq \varphi \leq 2\pi \end{cases}$$

$$\text{stąd } \begin{cases} dr = 0 \\ d\theta = 0 \end{cases}$$

We współrzędnych sferycznych:

$$d\vec{L} = dr\vec{e}_r + r d\theta\vec{e}_\theta + r \sin \theta d\varphi\vec{e}_\varphi$$

więc cyrkulacja jest równa:

$$\int_L \vec{W} \circ d\vec{L} = \int_L r dr + (a+r)r \sin^2 \theta d\varphi = 2a^2 \int_0^{2\pi} d\varphi = 4\pi a^2$$

**Przykład 3**

Znaleźć cyrkulację cieczy wirującej z prędkością kątową  $\vec{\omega}$  po linii  $L$ .

Rozwiązanie:

Prędkość liniowa wirującej cieczy jest równa:

$$\vec{v} = \vec{\omega} \times \vec{r}$$

gdzie:  $\vec{\omega} = [\omega, \omega, \omega]$ .

Wobec tego:

$$\text{rot } \vec{v} = \begin{vmatrix} \vec{i} & \vec{j} & \vec{k} \\ \omega & \omega & \omega \\ x & y & z \end{vmatrix} = \omega(z-y)\vec{i} + \omega(x-z)\vec{j} + \omega(y-x)\vec{k}$$

Przyjmując, że krążenie odbywa się po okręgu o środku leżącym na osi  $Oz$  (rys. 2.4), ponieważ:

$$\text{rot } \vec{v} = 2\omega\vec{i} + 2\omega\vec{j} + 2\omega\vec{k}$$

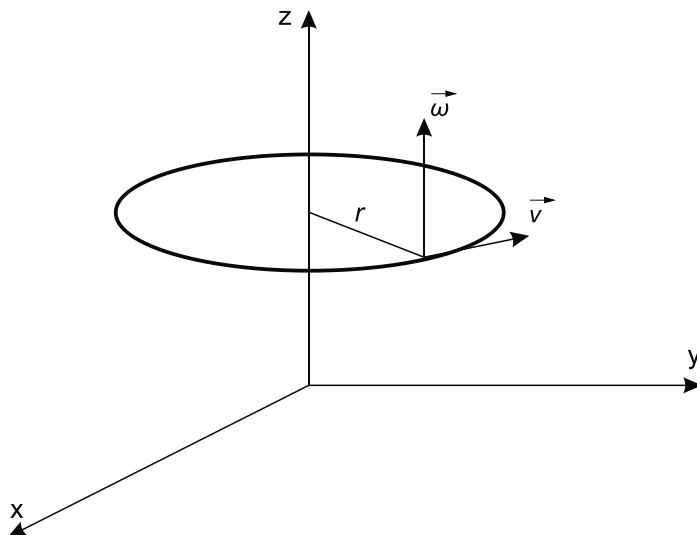
oraz:

$$\vec{n} \parallel \vec{k}$$

na mocy twierdzenia Stokesa otrzymamy cyrkulację równą:

$$\int_{(L)} \vec{v} \circ d\vec{L} = \iint_S (\text{rot } \vec{v} \circ \vec{n}) dS = 2\omega \iint_S dS = 2\omega|S| = 2\pi\omega r^2$$

czyli cyrkulacja =  $2S\omega$ , gdzie  $S$  oznacza pole koła ograniczonego linią  $L$ . Wynik jest zgodny z interpretacją hydromechaniczną rotacji, tzn. że krążenie wokół jednostkowej powierzchni prostopadłej do wektora  $\text{rot } \vec{v}$  dla nieskończenie małej pętli jest równe  $\text{rot } \vec{v}$ , czyli tzw. gęstości wirów.



Rys. 2.4. Ilustracja do obliczania cyrkulacji wirującej cieczy

### 2.3. Potencjał skalarny

Dane są bezwirowe pole wektorowe  $\vec{W} \in C^1(\Omega)$  oraz obszar jednospójny  $D \subset R^n$ .

#### Definicja 2.3.1

**Potencjałem skalarnym pola**  $\vec{W}$  nazywamy funkcję skalarną  $f$  spełniającą związek  $\vec{W} = \text{grad } f$  w obszarze  $\Omega$ .

Zależność  $\vec{W} = \text{grad } f$  wyrażona we współrzędnych kartezjańskich przyjmuje postać układu równań:

$$W_x = \frac{\partial f}{\partial x} \qquad W_y = \frac{\partial f}{\partial y} \qquad W_z = \frac{\partial f}{\partial z}$$

#### Definicja 2.3.2

Pole wektorowe mające potencjał skalarny nazywa się **polem potencjalnym**.

#### Definicja 2.3.3

**Powierzchnią ekwipotencjalną** nazywamy zbiór punktów równego potencjału, czyli  $f(P) = \text{const}$  dla  $P \in R^n$ .

#### Uwaga

Ze względu na interpretację fizyczną w przypadku niektórych pól wektorowych przyjmuje się:

$$\vec{W} = -\text{grad } f$$

(porównaj podrozdział 3.3).

#### Twierdzenie 1

Bezwirowość pola  $\vec{W}$  jest warunkiem koniecznym i wystarczającym na to, aby pole  $\vec{W}$  było potencjalne.

Z twierdzenia 1 oraz z twierdzenia Stokesa wynika następujący wniosek:

#### Wniosek

W polu potencjalnym całka krzywoliniowa **nie zależy** od drogi całkowania, a jedynie od punktu początkowego i końcowego drogi. W przypadku linii zamkniętej całka ta jest równa zeru.

Dowód:

Niech  $L$  będzie drogą od punktu  $A$  do  $B$  zawartą w  $D \subset R^3$ .

Ponieważ:

$$df = \text{grad } f \circ d\vec{r}$$

stąd:

$$\int_L \vec{W} \circ d\vec{r} = \int_L \text{grad } f \circ d\vec{r} = \int_L df = f(B) - f(A)$$

W przypadku linii zamkniętej  $f(B) = f(A)$ , a zatem całka równa jest zeru.

**Przykład 1**

Znaleźć potencjał skalarny pola  $\vec{W}$  (o ile istnieje).

- $\vec{W} = [xy^2, x^2y]$ , określić linie tego pola
- $\vec{r} = [x, y, z]$ , znaleźć powierzchnię ekwipotencjalną
- $\vec{W} = [y^2, xy, 1]$

Rozwiązanie:

- Ponieważ  $\text{rot } \vec{W} = \vec{0}$ , więc to pole jest potencjalne.

Ze związku  $\vec{W} = \text{grad } \varphi$  otrzymamy układ równań:

$$\begin{cases} \frac{\partial \varphi}{\partial x} = xy^2 \\ \frac{\partial \varphi}{\partial y} = x^2y \end{cases}$$

Z pierwszego z tych równań otrzymamy (całkując po  $x$ ):

$$\varphi = \frac{x^2y^2}{2} + g(y)$$

Uwzględniając drugie z tych równań, otrzymamy:

$$g'(y) = 0 \qquad g(y) = C$$

Ostatecznie:

$$\varphi = \frac{x^2y^2}{2} + C$$

Linie pola  $\vec{W}$  znajdziemy z równania różniczkowego:

$$\frac{dx}{xy^2} = \frac{dy}{x^2y}$$

Po rozdzieleniu zmiennych i scałkowaniu otrzymujemy:

$$x^2 = y^2 + C$$

czyli liniami pola  $\vec{W}$  są hiperbole:

$$x^2 - y^2 = C$$

- Ponieważ  $\text{rot } \vec{r} = \vec{0}$ , więc to pole jest potencjalne. Potencjał znajdziemy z układu równań:

$$x = \frac{\partial f}{\partial x} \qquad y = \frac{\partial f}{\partial y} \qquad z = \frac{\partial f}{\partial z}$$

skąd po rozwiązaniu tego układu otrzymamy ostatecznie:

$$f(x, y, z) = \frac{x^2 + y^2 + z^2}{2} + C$$

Powierzchniami ekwipotencjalnymi są sfery  $x^2 + y^2 + z^2 = R^2$

- $\text{rot } \vec{W} = [0, 0, -y]$ , więc to pole nie jest potencjalne.



**Przykład 2**

Sprawdzić, czy pole  $\vec{W} = \frac{\vec{R}}{R}$  jest potencjalne w  $R^3$ . Znaleźć jego potencjał, o ile istnieje.

Rozwiązanie:

Warunkiem koniecznym i wystarczającym na to, by pole  $\vec{W}$  było potencjalne, jest jego bezwirowość w obszarze jednoczołnym  $D$ .

Ponieważ  $\text{rot } \frac{\vec{R}}{R} = -\frac{1}{R}(\nabla \times \vec{R}) - \vec{R} \times \nabla\left(\frac{1}{R}\right) = -\vec{R} \times \left(-\frac{1}{R^2}\right)\vec{R} = \vec{0}$ , więc  $\vec{W}$  jest polem potencjalnym w obszarze  $D$  z wyłączeniem punktów osi biegunowej (ze względu na jednoczołność  $D$  nie wystarczy wyłączyć punktu  $R = 0$ ).

Znajdźmy potencjał pola  $\vec{W}$ .

Ponieważ  $\text{grad } f(R) = f'(R)\frac{\vec{R}}{R} = \frac{\vec{R}}{R}$ , więc  $f'(R) = 1$  i tym samym  $f(R) = R + C$  jest potencjałem danego pola  $\vec{W}$ .

**Przykład 3**

Wykazać, że pole  $\vec{W} = \frac{2 \cos \varphi}{r^3} \vec{e}_r + \frac{\sin \varphi}{r^3} \vec{e}_\varphi$  jest potencjalne. Znaleźć jego potencjał.

Rozwiązanie:

Rotacja we współrzędnych walcowych ma postać:

$$\text{rot } \vec{W} = \frac{1}{r} \begin{vmatrix} \vec{e}_r & r\vec{e}_\varphi & \vec{e}_z \\ \frac{\partial}{\partial r} & \frac{\partial}{\partial \varphi} & \frac{\partial}{\partial z} \\ \frac{2 \cos \varphi}{r^3} & \frac{\sin \varphi}{r^3} & 0 \end{vmatrix} = \frac{1}{r} \vec{e}_z \left[ \frac{\partial}{\partial r} \left( \frac{\sin \varphi}{r^3} \right) - \frac{\partial}{\partial \varphi} \left( \frac{2 \cos \varphi}{r^3} \right) \right] = \vec{0}$$

więc pole  $\vec{W}$  jest potencjalne w obszarze jednoczołnym  $D$ , niezawierającym punktu  $r = 0$ .

Związek  $\vec{W} = \text{grad } f$  zapisany we współrzędnych biegunowych przyjmuje postać układu:

$$\begin{cases} \frac{\partial f}{\partial r} = \frac{2 \cos \varphi}{r^3} \\ \frac{\partial f}{\partial \varphi} = \frac{\sin \varphi}{r^2} \end{cases}$$

Z drugiego z tych równań mamy:

$$f(r, \varphi) = \int \frac{\sin \varphi}{r^2} d\varphi = -\frac{\cos \varphi}{r^2} + C(r)$$

Ale:

$$\frac{\partial f}{\partial r} = \frac{2 \cos \varphi}{r^3} + C'(r) = \frac{2 \cos \varphi}{r^3}$$

skąd wynika, że:

$$C'(r) = 0$$

czyli:

$$C(r) = C = \text{const}$$

Ostatecznie:

$$f(r, \varphi) = -\frac{\cos \varphi}{r^2} + C$$

**Ćwiczenia**

1. Zbadać, czy pole  $\vec{W} \in R^3$  jest potencjalne. Znaleźć jego potencjał (o ile istnieje).

- $\vec{W} = f(r)\vec{e}_r$ , gdzie:  $f \in C^1(D)$ ,  $D \subset R^3$
- $\vec{W} = -\frac{k}{r} \text{grad } r$
- $\vec{W} = (\vec{r} \circ \vec{b})\vec{b}$ , gdzie  $\vec{b}$  – wektor stały
- $\vec{W} = (2r + \sin \varphi)\vec{e}_r + \cos \varphi \vec{e}_\varphi + \frac{1}{3}z^{-\frac{2}{3}}\vec{e}_z$

Odp.

- $\varphi(r) = \int f(r) dr + C = F(r) + C$
- $f(r) = -k \ln r + C$
- $f(r) = \frac{1}{2}(\vec{b} \circ \vec{r})^2$
- $f = r^2 + r \sin \varphi + \sqrt[3]{z} + C$

**2.4. Potencjał wektorowy****Definicja 2.4.1**

**Potencjałem wektorowym** pola  $\vec{W}$  nazywamy funkcję wektorową  $\vec{A}$  spełniającą związek  $\vec{W} = \text{rot } \vec{A}$  w obszarze  $D \subset R^n$ .

**Twierdzenie 1**

Jeżeli pole  $\vec{W}$  klasy  $C^1(D)$  jest bezźródłowe w obszarze  $D$ , to posiada potencjał wektorowy.

Dowód:

$$\text{div } \vec{W} = \text{div } (\text{rot } \vec{A}) = 0$$

**Wniosek 1**

Strumień pola  $\vec{W}$  mającego potencjał wektorowy w obszarze  $D$  przez dowolną powierzchnię zamkniętą i regularną leżącą w tym obszarze jest równy zero. Wynika to z twierdzenia Gaussa, gdyż:

$$\iint_{(S^+)} \vec{W} \circ d\vec{S} = \iiint_V \text{div } (\text{rot } \vec{A}) dV = 0$$

**Wniosek 2**

Jeżeli dane jest pole  $\vec{W}$  o potencjale wektorowym  $\vec{A}$ , to  $\vec{A} + \text{grad } f$ , gdzie  $f$  jest dowolną funkcją skalarną klasy  $C^1(R^n)$ , jest również potencjałem wektorowym pola  $\vec{W}$ .

Dowód:

Z definicji 2.4.1 mamy:

$$\vec{W} = \nabla \times \vec{A}$$

Ponieważ:

$$\nabla \times (\vec{A} + \nabla f) = \nabla \times \vec{A} + \nabla \times \nabla f = \vec{W}$$

więc  $\vec{A} + \nabla f$  jest potencjałem wektorowym pola  $\vec{W}$ .

**Przykład 1**

Wykazać, że pole  $\text{grad } f \times \text{grad } g$ , gdzie  $f$  i  $g$  są funkcjami skalarnymi klasy  $C^1(R^n)$ , posiada potencjał wektorowy.

Dowód:

Ponieważ  $\text{div}(\vec{a} \times \vec{b}) = \vec{b} \circ \text{rot } \vec{a} - \vec{a} \circ \text{rot } \vec{b}$  oraz  $\text{rot}(\text{grad } f) = \vec{0}$ , więc:

$$\text{div}(\text{grad } f \times \text{grad } g) = \text{grad } g \circ \text{rot}(\text{grad } f) - \text{grad } f \circ \text{rot}(\text{grad } g) = 0$$

Stąd pole  $\text{grad } f \times \text{grad } g$  posiada potencjał wektorowy.

**Przykład 2**

Sprawdzić, czy pole  $\vec{W} = [2xy, -y^2, 0]$  posiada potencjał wektorowy.

Ponieważ:

$$\text{div } \vec{W} = 0$$

więc istnieje potencjał wektorowy  $\vec{A}$ , który znajdujemy ze związku  $\text{rot } \vec{A} = \vec{W}$ .

**Ćwiczenia**

1. Sprawdzić, czy istnieją potencjały wektorowe podanych pól:

- $\vec{W} = [xy, yz, xz]$
- $\vec{W} = [xz, -yz, y]$
- $\vec{W} = [x, y, z]$

Odp.:

- Nie istnieje
- Na przykład:  $\vec{A} = [x, xy, xyz] + \text{grad } f$
- Nie istnieje

## Rozdział 3

# Pole elektrostatyczne

### 3.1. Wiadomości wstępne

Ciało znajdujące się w stanie naelektryzowania zawiera ładunek będący miarą tego naelektryzowania.

W przypadku, gdy ładunek jest rozłożony w przestrzeni w sposób:

1. dyskretny – ładunek wypadkowy  $Q$  jest sumą ładunków elementarnych, czyli:

$$Q = \sum_i q_i$$

2. liniowy:

$$Q = \int_L \rho_L dL$$

gdzie:  $\rho_L$  – gęstość liniowa ładunku

3. powierzchniowy:

$$Q = \iint_S \rho_S dS$$

gdzie:  $\rho_S$  – gęstość powierzchniowa ładunku

4. objętościowy:

$$Q = \iiint_V \rho_V dV$$

gdzie:  $\rho_V$  – gęstość objętościowa ładunku

#### Przykład 1

Znaleźć ładunek zgromadzony w kuli o promieniu  $R$  z równomiernie rozłożonym ładunkiem objętościowym.

Rozwiązanie:

Ze wzoru 4 i dlatego, że  $\rho_V = const$ , otrzymamy:

$$Q = \rho_V \iiint_V dV = \rho_V |V| = \frac{4}{3} \pi R^3 \rho_V$$

#### Definicja 3.1.1

**Dielektryk (izolator)** to zły przewodnik elektryczności. Do tej grupy zaliczają się np. /powietrze, szkło, ebonit.

**Przewodnik** – jak sama nazwa wskazuje – przewodzi prąd, a więc posiada swobodne ładunki elektryczne. Przewodnikami są np. metale i elektrolity.

### Definicja 3.1.2

Pole pochodzące od nieruchomych ładunków elektrycznych nazywamy **polem elektrostatycznym**. Wielkością charakteryzującą to pole jest **natężenie pola elektrycznego**  $\vec{E}$ . Pole to jest bezwirowe, gdyż:

$$\text{rot } \vec{E} = \vec{0}$$

co wynika z symetrii i kierunku sił elektrycznych.

Nie jest bezźródłowe, bo

$$\text{div } \vec{E} = \frac{\rho}{\epsilon}$$

gdzie  $\epsilon$  to stała dielektryczna. Może być bezźródłowe, np. wewnątrz naładowanego przewodzącego ciała.

Pole wokół dielektryka charakteryzuje **wektor indukcji elektrycznej**  $\vec{D}$  powiązany z wektorem natężenia zależnością  $\vec{D} = \epsilon\vec{E}$ .

Stąd:

$$\text{rot } \vec{D} = \vec{0}$$

$$\text{div } \vec{D} = \rho$$

## 3.2. Strumień. Cyrkulacja

### Definicja 3.2.1

**Strumień wektora**  $\vec{E}$  przez powierzchnię  $S$  jest zdefiniowany jako:

$$\Phi_E = \iint_S \vec{E} \circ d\vec{S}$$

#### Twierdzenie

Strumień pola  $\vec{E}$  przez dowolną zamkniętą powierzchnię  $S$ , ograniczającą obszar  $V$  i zawierającą ładunek  $Q$ , jest równy:

$$\Phi_E = \iint_S \vec{E} \circ d\vec{S} = \iiint_V \frac{\rho}{\epsilon} dV = \frac{Q}{\epsilon}$$

W przypadku dielektryka:

$$\Phi_D = \iint_S \vec{D} \circ d\vec{S} = Q$$

Stąd **prawo Gaussa** można sformułować następująco:

Strumień indukcji  $\vec{D}$  przez dowolną zamkniętą powierzchnię  $S$  jest równy całkowitemu ładunkowi znajdującemu się wewnątrz powierzchni. Jest on niezależny od wielkości i kształtu tej powierzchni, co pozwala na dowolny jej wybór (tzw. **powierzchni Gaussa**).

Prawo Gaussa jest użyteczne w przypadku symetrii:

- sferycznej
- osiowej (walec nieskończenie długi)
- względem płaszczyzny.

**Definicja 3.2.2**

Cyrkulacja wektora  $\vec{E}$  po dowolnej linii  $L$  jest równa:

$$C_E = \int_L \vec{E} \circ d\vec{L}$$

Z twierdzenia Stokesa i bezwirowości pola  $\vec{E}$  wynika poniższy wniosek.

**Wniosek**

Cyrkulacja wektora  $\vec{E}$  po dowolnej linii zamkniętej  $L$  jest równa zeru.

Dowód:

$$\oint_L \vec{E} \circ d\vec{L} = \iint_S \text{rot } \vec{E} \circ d\vec{S} = 0$$

gdzie  $S$  to dowolna powierzchnia rozpięta na linii  $L$ .

**Równania Maxwella dla elektrostatyki**

Postać różniczkowa:

$$\text{rot } \vec{E} = \vec{0}$$

$$\text{div } \vec{D} = \rho$$

Postać całkowa:

$$\oint_L \vec{E} \circ d\vec{L} = 0$$

$$\iint_S \vec{D} \circ d\vec{S} = Q$$

**3.3. Potencjał elektryczny****Definicja 3.3.1**

Pole elektryczne jest bezwirowe, jest zatem potencjalne.

Jego potencjał znajdujemy ze związku  $\vec{E} = -\text{grad } \varphi$ , przy czym znak „minus” ma uzasadnienie w tym, że wektor  $\vec{E}$  jest skierowany w stronę malejącego potencjału.

Ponieważ:

$$\text{div } \vec{E} = \text{div } (\text{grad } \varphi) = -\Delta\varphi$$

więc można go wyznaczyć z **równania Poissona**:

$$\Delta\varphi = -\frac{\rho}{\varepsilon}$$

Wewnątrz przewodnika, czyli w obszarze pozbawionym ładunków ( $\rho = 0$ ), natężenie  $\vec{E} = 0$ , więc strumień  $\Phi_E = 0$ , potencjał  $\varphi = \text{const}$ .

Podobnie jest w wydrążeniu przewodnika.

Napięcie elektryczne między punktami  $A$  i  $B$  jest równe różnicy potencjałów:

$$U_{AB} = \varphi(A) - \varphi(B)$$

## Rozdział 4

# Pole magnetostatyczne

### 4.1. Wiadomości wstępne

#### Definicja 4.1.1

**Pole magnetostatyczne** powstaje w przestrzeni otaczającej stałe prądy elektryczne lub w przestrzeni, w której występują magnesy trwałe.

Charakteryzują je: **wektor natężenia magnetycznego**  $\vec{H}$  i **wektor indukcji magnetycznej**  $\vec{B}$ , przy czym:

$$\vec{B} = \mu \vec{H}$$

gdzie  $\mu$  to współczynnik przenikalności magnetycznej ośrodka.

Pole magnetostatyczne jest bezźródłowe, gdyż:

$$\operatorname{div} \vec{B} = 0$$

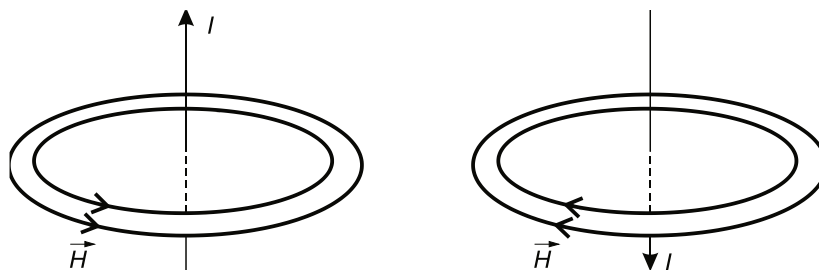
co jest uzasadnione tym, że nie stwierdzono istnienia ładunków magnetycznych analogicznych do elektrycznych

Nie jest bezwirowe (pojawia się w ośrodku przewodzącym prąd), gdyż:

$$\operatorname{rot} \vec{H} = \vec{j} \qquad \operatorname{rot} \vec{B} = \mu \vec{j}$$

gdzie  $\vec{j}$  to wektor gęstości prądów swobodnych (skierowany w kierunku ruchu ładunków dodatnich).

Linie pola magnetycznego są liniami zamkniętymi, np. w przypadku prostoliniowego przewodu z prądem są one okręgami leżącymi w płaszczyznach prostopadłych do kierunku prądu (rys. 4.1).



Rys. 4.1. Ilustracja do wyznaczenia kierunku wektora  $\vec{H}$  przy użyciu reguły „korkociągu”

Natężenie pola magnetycznego wokół przewodnika z prądem  $I$  dla zamkniętego obwodu dowolnego kształtu obejmującego ten przewodnik jest równe  $H = \frac{I}{2\pi r}$ , gdzie  $r$  jest odległością punktów pola od przewodnika (porównaj z ćwiczeniami z części zadaniowej – magnetostatyka). W przypadku, gdy obwód nie obejmuje przewodnika, natężenie pola równe jest 0.

## 4.2. Cyrkulacja. Strumień magnetyczny

### Definicja 4.2.1

Cyrkulacja wektora natężenia magnetycznego po dowolnej linii zamkniętej  $L$  (tzw. **konturze Ampere'a**) obejmującej prąd  $I$  jest równa:

$$C_H = \oint_L \vec{H} \circ d\vec{L}$$

Na mocy twierdzenia Stokesa i związku  $\text{rot } \vec{H} = \vec{J}$  otrzymamy **prawo przepływu (Ampere'a)**:

$$C_H = \iint_S \vec{J} \circ d\vec{S} = I_C$$

gdyż w przypadku jednorodnego środowiska przewodzącego uzyskamy:

$$|\vec{J}| |S| = I$$

Czyli cyrkulacja wektora  $\vec{H}$  po dowolnej linii zamkniętej  $L$  jest równa całkowitemu prądowi płynącemu przez powierzchnię  $S$  ograniczoną linią  $L$ , czyli konturem Ampere'a.

Prawo to ma zastosowanie w przypadku symetrii osiowej, np. w nieskończenie długim, prostoliniowym przewodzie z prądem, długim walcu, toroidalnej cewce i kablu koncentrycznym. W innych przypadkach należy zastosować prawo Biota-Savarta.

### Definicja 4.2.2

Cyrkulacja wektora indukcji magnetycznej:

$$C_B = \oint_L \vec{B} \circ d\vec{L} = \mu I_C$$

### Wniosek 1

Cyrkulacja po dowolnej linii zamkniętej nieobejmującej prądu jest równa zeru.

### Definicja 4.2.3

**Strumień magnetyczny** przez dowolną powierzchnię  $S$  jest równy:

$$\Phi_B = \iint_S \vec{B} \circ d\vec{S}$$



**Wniosek 2**

Dla dowolnej powierzchni zamkniętej  $S$  ograniczającej obszar  $V$  strumień magnetyczny jest równy zeru.

Dowód:

Z twierdzenia Gaussa i z bezźródłowości pola  $\vec{B}$  otrzymamy:

$$\Phi_B = \iiint_V \operatorname{div} \vec{B} dV = 0$$

**4.3. Magnetyczny potencjał skalarny i wektorowy**

W obszarze, w którym brak jest przepływu prądu ( $\vec{J} = 0$ ,  $\operatorname{rot} \vec{H} = 0$ ), wprowadzimy skalarny potencjał magnetyczny.

**Definicja 4.3.1**

Skalarny potencjał magnetyczny wyznaczamy ze związku:

$$\vec{H} = -\operatorname{grad} \varphi_H$$

Ponieważ:

$$\operatorname{div} \vec{H} = -\operatorname{div} (\operatorname{grad} \varphi_H) = \Delta \varphi$$

więc z bezźródłowości pola  $\vec{H}$  wynika, że skalarny potencjał magnetyczny spełnia równanie Laplace'a  $\Delta \varphi = 0$ .

Wektor gęstości prądów swobodnych  $\vec{J} \neq \vec{0}$ , zatem istnieje potencjał wektorowy  $\vec{A}$ , zdefiniowany (jak podano w definicji 2.4.1) jako  $\vec{B} = \operatorname{rot} \vec{A}$ .

Ze związku:

$$\operatorname{rot} \vec{B} = \operatorname{rot} (\operatorname{rot} \vec{A}) = \operatorname{grad} (\operatorname{div} \vec{A}) - \Delta \vec{A}$$

uwzględniając, że  $\operatorname{rot} \vec{B} = \mu \vec{J}$ , i przyjmując dla uproszczenia, że  $\operatorname{div} \vec{A} = 0$ , otrzymamy definicję 4.3.2.

**Definicja 4.3.2**

Magnetyczny potencjał wektorowy  $\vec{A}$  w dowolnym punkcie obszaru  $V$  spełnia równanie Poissona:

$$\Delta \vec{A} = -\mu \vec{J}$$

Na zewnątrz tego obszaru (gdzie  $\vec{J} = 0$ ) potencjał ten spełnia **równanie Laplace'a**.

$$\Delta \vec{A} = 0$$

**Równania Maxwella dla pola magnetostaticznego**

Postać różniczkowa:

$$\begin{aligned} \operatorname{rot} \vec{H} &= \vec{J} \\ \operatorname{div} \vec{B} &= 0 \end{aligned}$$

Postać całkowa:

$$\begin{aligned} \oint_L \vec{H} \circ d\vec{L} &= I_C \\ \oiint_S \vec{B} \circ d\vec{S} &= 0 \end{aligned}$$

## Rozdział 5

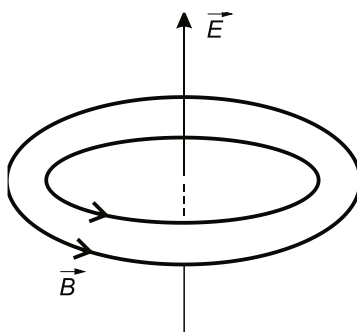
# Pole elektrodynamiczne (elektromagnetyczne)

### 5.1. Równania Maxwella

W przypadku, gdy ładunki i prądy są stałe ( $\rho = const$ ,  $I = const$ ), elektryczność i magnetyzm można rozpatrywać oddzielnie, co zostało podane w rozdziałach 3 i 4.

Ścisła zależność między  $\vec{E}$  i  $\vec{B}$  występuje wówczas, gdy pojawiają się zmiany w czasie ładunków i prądów.

Zależność tę w interpretacji geometrycznej przedstawia rys. 5.1.



Rys. 5.1. Linie pola magnetycznego powstałe wokół pola elektrycznego

#### Definicja 5.1.1

Równania Maxwella dla pola elektromagnetycznego

Zmienne w czasie pole elektryczne powoduje powstanie wirowego i bezźródłowego pola magnetycznego.

Stąd:

postać różniczkowa:

$$\begin{aligned} \operatorname{rot} \vec{B} &= \mu \vec{j} + \mu \epsilon \frac{\partial \vec{E}}{\partial t} \\ \operatorname{div} \vec{B} &= 0 \end{aligned}$$

postać całkowa:

$$\oiint_S \vec{D} \circ d\vec{S} = Q$$

**Definicja 5.1.2**

Zmienne w czasie pole magnetyczne indukuje wirowe i źródłowe pole elektryczne.  
Stąd:

postać różniczkowa:

$$\operatorname{rot} \vec{E} = -\frac{\partial \vec{B}}{\partial t}$$

$$\operatorname{div} \vec{E} = \frac{\rho}{\varepsilon}$$

postać całkowa:

$$\oint_L \vec{E} \circ d\vec{L} = -\iint_S \frac{\partial \vec{B}}{\partial t} \circ d\vec{S}$$

$$\oint_L \vec{B} \circ d\vec{L} = \iint_S \left( \mu \vec{j} + \mu \varepsilon \frac{\partial \vec{E}}{\partial t} \right) \circ d\vec{S}$$

Z twierdzenia Gaussa wynika, że:

$$\iint_S \frac{\partial \vec{B}}{\partial t} \circ d\vec{S} = \iiint_V \operatorname{div} \left( \frac{\partial \vec{B}}{\partial t} \right) dV = \iiint_V \frac{\partial}{\partial t} (\operatorname{div} \vec{B}) dV = 0$$

**Przykład**

Zapisać równania Maxwella we współrzędnych:

a) kartezjańskich

b) walcowych

c) sferycznych

Rozwiązanie:

Rozpatrzmy przykładowo związek:

$$\operatorname{rot} \vec{E} = -\frac{\partial \vec{B}}{\partial t}$$

Ponieważ:

$$\begin{aligned} \operatorname{rot} \vec{E} &= \nabla \times \vec{E} = \left( \frac{\partial}{\partial x} \vec{i} + \frac{\partial}{\partial y} \vec{j} + \frac{\partial}{\partial z} \vec{k} \right) \times (E_x \vec{i} + E_y \vec{j} + E_z \vec{k}) = \\ &= \left( \frac{\partial E_z}{\partial y} - \frac{\partial E_y}{\partial z} \right) \vec{i} + \left( \frac{\partial E_x}{\partial z} - \frac{\partial E_z}{\partial x} \right) \vec{j} + \left( \frac{\partial E_y}{\partial x} - \frac{\partial E_x}{\partial y} \right) \vec{k} \end{aligned}$$

zaś:

$$\frac{\partial \vec{B}}{\partial t} = \frac{\partial}{\partial t} (B_x \vec{i} + B_y \vec{j} + B_z \vec{k}) = \frac{\partial B_x}{\partial t} \vec{i} + \frac{\partial B_y}{\partial t} \vec{j} + \frac{\partial B_z}{\partial t} \vec{k}$$

więc ostatecznie otrzymuje się układ:

$$\frac{\partial E_z}{\partial y} - \frac{\partial E_y}{\partial z} = -\frac{\partial B_x}{\partial t}$$

$$\frac{\partial E_x}{\partial z} - \frac{\partial E_z}{\partial x} = -\frac{\partial B_y}{\partial t}$$

$$\frac{\partial E_y}{\partial x} - \frac{\partial E_x}{\partial y} = -\frac{\partial B_z}{\partial t}$$

We współrzędnych walcowych mamy:

$$\operatorname{rot} \vec{E} = \begin{vmatrix} \vec{e}_r & \vec{e}_\varphi & \vec{e}_z \\ r & r & r \\ \frac{\partial}{\partial r} & \frac{\partial}{\partial \varphi} & \frac{\partial}{\partial z} \\ E_r & rE_\varphi & E_z \end{vmatrix} = -\frac{\partial}{\partial t} [B_r \vec{e}_r + B_\varphi \vec{e}_\varphi + B_z \vec{e}_z]$$

stąd:

$$\left. \begin{aligned} \frac{1}{r} \frac{\partial E_z}{\partial \varphi} - \frac{\partial E_\varphi}{\partial z} &= -\frac{\partial B_r}{\partial t} \\ \frac{\partial E_r}{\partial z} - \frac{\partial E_z}{\partial r} &= -\frac{\partial B_\varphi}{\partial t} \\ \frac{1}{r} \left[ \frac{\partial(rE_\varphi)}{\partial r} - \frac{\partial E_r}{\partial \varphi} \right] &= -\frac{\partial B_z}{\partial t} \end{aligned} \right\}$$

Rotacja we współrzędnych sferycznych:

$$\operatorname{rot} \vec{E} = \begin{vmatrix} \vec{e}_r & \vec{e}_\theta & \vec{e}_\varphi \\ r^2 \sin \theta & r \sin \theta & r \\ \frac{\partial}{\partial r} & \frac{\partial}{\partial \theta} & \frac{\partial}{\partial \varphi} \\ E_r & rE_\theta & rE_\varphi \sin \theta \end{vmatrix} = -\frac{\partial}{\partial t} [B_r \vec{e}_r + B_\theta \vec{e}_\theta + B_\varphi \vec{e}_\varphi]$$

stąd:

$$\begin{aligned} \frac{1}{r \sin \theta} \left[ \frac{\partial(\sin \theta E_\varphi)}{\partial \theta} - \frac{\partial E_\theta}{\partial \varphi} \right] &= -\frac{\partial B_r}{\partial t} \\ \frac{1}{r} \left[ \frac{1}{\sin \theta} \frac{\partial E_r}{\partial \varphi} - \frac{\partial rE_\varphi}{\partial r} \right] &= -\frac{\partial B_\theta}{\partial t} \\ \frac{1}{r} \left[ \frac{\partial(rE_\theta)}{\partial r} - \frac{\partial E_r}{\partial \theta} \right] &= -\frac{\partial B_\varphi}{\partial t} \end{aligned}$$

Czytelnikowi zaleca się przekształcenie pozostałych równań Maxwella.

## 5.2. Potencjał skalarny i wektorowy

### Definicja 5.2.1

Pole elektromagnetyczne posiada magnetyczny potencjał wektorowy  $\vec{A}$  (gdyż  $\operatorname{div} \vec{B} = 0$ ), spełniający związek  $\vec{B} = \operatorname{rot} \vec{A}$  (def. 2.4.1), co wynika z faktu, że:

$$\operatorname{div} \vec{B} = \operatorname{div} (\operatorname{rot} \vec{A}) = 0$$

Z równania Maxwella (definicja 5.1.2) mamy  $\operatorname{rot} \vec{E} = -\frac{\partial \vec{B}}{\partial t}$ , a uwzględniając, że  $\vec{B} = \operatorname{rot} \vec{A}$ , otrzymamy:

$$\operatorname{rot} \vec{E} = -\frac{\partial}{\partial t} (\operatorname{rot} \vec{A}) = -\operatorname{rot} \left( \frac{\partial \vec{A}}{\partial t} \right)$$

stąd:

$$\vec{E} = -\frac{\partial \vec{A}}{\partial t}$$

### Definicja 5.2.2

W polach elektromagnetycznych wytwarzanych przez dowolne źródło  $(\rho, \vec{j})$  mamy z definicji 5.2.1:

$$\vec{E} + \frac{\partial \vec{A}}{\partial t} = 0$$

stąd:

$$\text{rot} \left( \vec{E} + \frac{\partial \vec{A}}{\partial t} \right) = \vec{0}$$

więc istnieje potencjał skalarny  $\varphi$  pola elektromagnetycznego, który wyznaczamy ze związku:

$$\vec{E} + \frac{\partial \vec{A}}{\partial t} = \text{grad } \varphi$$

## 5.3. Prąd przewodzenia. Prąd przesunięcia

**Pole przepływowe** jest związane z przepływem stałego w czasie prądu elektrycznego.

### Definicja 5.3.1

**Przewodnikiem** nazywamy ciało, w którym ładunki elektryczne mogą się swobodnie poruszać, a ruch ten powoduje powstanie tzw. **prądu przewodzenia**. Kierunek przenoszenia ładunku elektrycznego uwzględnia **wektor gęstości prądu przewodzenia**  $\vec{j}$ .

a) Związek między wektorem  $\vec{j}$  a wektorem natężenia  $\vec{E}$  wyraża **prawo Ohma**:

$$\vec{j} = \sigma \vec{E}$$

gdzie  $\sigma$  to przewodność właściwa przewodu.

b) W przypadku stałego w czasie prądu stacjonarnego o gęstości  $J$  (dla dowolnego punktu w przestrzeni) musi być spełnione **równanie ciągłości prądu**, czyli **prawo Kirchhoffa**:

$$\text{div } \vec{j} = 0$$

co oznacza, że pole przepływowe jest bezźródłowe i linie pola są liniami zamkniętymi. Natężenie prądu płynącego przez przewodnik o przekroju  $S$ :

$$I = \iint_S \vec{j} \circ d\vec{S}$$

Jeżeli prąd wypływa z dowolnej powierzchni zamkniętej  $S$ , to z twierdzenia Gaussa i z równania ciągłości prądu wynika, że:

$$\oiint_S \vec{j} \circ d\vec{S} = 0$$

czyli całkowity prąd wypływający z dowolnej zamkniętej powierzchni  $S$  jest równy zeru.

- c) Przepływ prądu w dielektryku zachodzi wtedy, gdy pole elektryczne jest zmienne w czasie.

Wektor gęstości prądu przesunięcia jest wyrażony wzorem:

$$\vec{J}_p = \frac{\partial \vec{D}}{\partial t}$$

- d) **Wektor całkowitej gęstości prądu** jest sumą gęstości prądu przewodzenia i przesunięcia, czyli:

$$\vec{J}_c = \vec{J} + \vec{J}_p$$

W polu przepływowym  $\text{rot } \vec{E} = 0$  (II prawo Kirchhoffa), więc pole to jest potencjalne (co stwierdzono w podrozdziale 3.1).

Jeżeli prąd nie jest stacjonarny ( $J$  zależy od czasu), to:

$$\text{div } \vec{J} = -\frac{\partial \rho}{\partial t}$$

(rozkład ładunku zależy od czasu).

#### Przykład

Znaleźć gęstość prądu przesunięcia i przewodzenia, wiedząc, że natężenie pola  $\vec{E}$  jest zmienne w czasie i wyraża się wzorem  $E = E_0 \sin \omega t$ .

Rozwiązanie:

Gęstość prądu przesunięcia:

$$J_p = \frac{dD}{dt} = \varepsilon \frac{dE}{dt} = \varepsilon \omega E_0 \cos \omega t$$

Gęstość prądu przewodzenia:

$$J = \sigma E = \sigma E_0 \sin \omega t$$

## 5.4. Siła elektromotoryczna

Zmienne pole magnetyczne indukuje w uzwojeniu siłę elektromotoryczną (SEM) w części zadaniowej oznaczonej jako  $e(t)$ .

#### Prawo indukcji elektromagnetycznej Faradaya

Siła elektromotoryczna indukcji powstaje wskutek zmian strumienia magnetycznego, czyli strumień przenikający uzwojenie zależy od położenia i orientacji tego uzwojenia w przestrzeni, zatem:

$$\Psi = f(t, \theta, x, y, z)$$

gdzie  $\theta$  to kąt między  $\vec{B}$  a osią obrotu uzwojenia.

Stąd:

$$\text{SEM} = -\frac{\partial \Psi}{\partial t} - \omega \frac{\partial \Psi}{\partial \theta} - v \nabla \Psi = \text{SEM}_T + \text{SEM}_{rot} + \text{SEM}_p$$

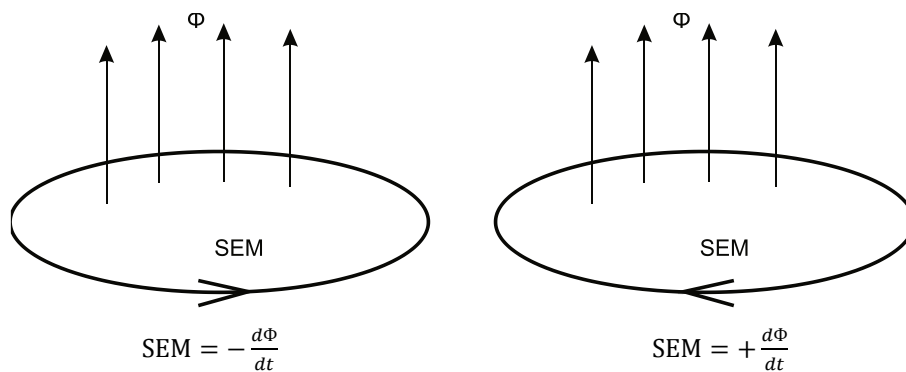
gdzie:  $\text{SEM}_T$  – siła elektromotoryczna transformacji,  $\text{SEM}_{rot}$  – siła elektromotoryczna rotacji,  $\text{SEM}_p$  – siła elektromotoryczna translacji (przesunięcia).

**Definicja 5.4.1**

**SEM transformacji** jest związana ze zmianą strumienia magnetycznego przepływającego w czasie  $t$  przez nieruchome uzwojenie. Wówczas:

$$\text{SEM}_T = -\frac{d\Phi}{dt}$$

czyli siła elektromotoryczna jest proporcjonalna do prędkości zmian strumienia magnetycznego w czasie. Znak „minus” oznacza, że wzrost strumienia magnetycznego powoduje powstanie SEM działającej w kierunku ujemnego obiegu obwodu i zmniejszenie SEM działającej w kierunku obiegu dodatniego, co zostało zinterpretowane na rys. 5.2.



Rys. 5.2. Zależność kierunku SEM od szybkości zmian strumienia magnetycznego

Jeżeli uzwojenie zawiera  $n$  zwojów i przez każdy zwoj przenika ten sam strumień  $\Phi(t)$ , to **strumień skojarzony**  $\Psi = n\Phi$ , czyli:

$$\text{SEM} = -\frac{d\Psi}{dt}$$

**Uwaga 1**

Definicja ta jest słuszna niezależnie od tego, co powoduje zmianę strumienia przechodzącego przez obwód: zmiana kształtu obwodu, obrót lub przesunięcie ramki w niejednorodnym polu bądź zmiana w czasie indukcji magnetycznej.

**Definicja 5.4.2**

**SEM rotacji** jest związana z ruchem obrotowym (z prędkością  $\omega$ ) uzwojenia wokół osi  $l$ .

$$\text{SEM}_{rot} = -\omega \frac{d\Psi}{d\theta}$$

**Definicja 5.4.3**

**SEM translacji** – jest związana z przesuwaniami się uzwojenia (np. cewki) z prędkością liniową  $v$  względem pola magnetycznego  $\vec{B}$ .

$$\text{SEM}_P = -v \text{grad } \Psi$$

Całkowita siła elektromotoryczna indukowana w obwodzie jest – w zależności od rodzaju indukowania – sumą wyżej wymienionych sił.

Jeżeli przewód przesuwa się w polu magnetycznym  $\vec{B}$  z prędkością  $\vec{v}$ , to powstaje pole:

$$\vec{E} = \vec{v} \times \vec{B}$$

Wówczas SEM przesunięcia można obliczyć ze **wzoru Lorentza**:

$$SEM_p = \int_L (\vec{v} \times \vec{B}) \circ d\vec{L}$$

W uzwojeniach o bokach prostopadłych do wektora  $(\vec{v} \times \vec{B})$  SEM nie indukuje się, gdyż:

$$(\vec{v} \times \vec{B}) \circ d\vec{L} = |\vec{v} \times \vec{B}| |d\vec{L}| \cos \alpha (\vec{v} \times \vec{B}, d\vec{L}) = 0$$

#### Definicja 5.4.4

Zmiana natężenia prądu w uzwojeniu indukuje w nim **SEM samoindukcji**:

$$SEM = -L \frac{dI}{dt}$$

gdzie  $L$  jest współczynnikiem samoindukcji obwodu.

Znak „minus” oznacza, że SEM przeciwdziała zmianom prądu.

Zjawisko to nazywamy zjawiskiem indukcji własnej (samoindukcji).

#### Definicja 5.4.5

Współczynnik indukcji własnej obwodu wyraża się wzorem:

$$L = \frac{\Psi}{I}$$

gdzie  $\Psi$  to strumień magnetyczny skojarzony z obwodem.

#### Definicja 5.4.6

Indukcyjność wzajemna przewodnika z prądem i ramki (cewki) znajdującej się w jednej płaszczyźnie z przewodnikiem wyraża się wzorem:

$$M = \frac{\Psi}{I}$$

#### Wniosek

Jeżeli w przewodzie płynie prąd zmienny  $I = I(t)$ , to ponieważ strumień magnetyczny  $\Phi = LI$ :

$$\frac{d\Phi}{dt} = L \frac{dI}{dt}$$

Ale:

$$\Phi_B = \iint_S \vec{B} \circ d\vec{S}$$



$$\frac{d\Phi_B}{dt} = \iint_S \frac{d\vec{B}}{dt} \circ d\vec{S}$$

Uwzględniając postać całkową równania Maxwella, otrzymamy:

$$SEM = \frac{d\Phi_B}{dt} = - \oint_L \vec{E} \circ d\vec{L}$$

gdzie  $L$  jest krzywą zamkniętą, znajdującą się w zmiennym polu  $\vec{E}$ .

Czyli  $SEM$  można obliczać jako cyrkulację pola  $\vec{E}$  po linii  $L$ .

## Rozdział 6

# Zadania

### 6.1. Zadania dotyczące współrzędnych wektora

**Zadanie 1.** Dany jest punkt we współrzędnych sferycznych:

$$r = \frac{1}{\sqrt{3}} \qquad \varphi = \frac{\pi}{4} \qquad \cos \theta = \frac{1}{\sqrt{3}}$$

Wyznaczyć:

- współrzędne prostokątne;
- współrzędne walcowe

tego punktu.

Rozwiązanie:

a) Wychodząc ze współrzędnych sferycznych, otrzymamy:

$$x = r \cos \varphi \sin \theta = \frac{1}{\sqrt{3}} \frac{\sqrt{2}}{2} \sqrt{\frac{2}{3}} = \frac{1}{3}$$

$$y = r \sin \varphi \sin \theta = \frac{1}{3}$$

$$z = r \cos \theta = \frac{1}{3}$$

Czyli we współrzędnych prostokątnych:  $P' = \left(\frac{1}{3}; \frac{1}{3}; \frac{1}{3}\right)$

b)  $r = \sqrt{x^2 + y^2} = \sqrt{\frac{2}{9}} = \frac{1}{3} \qquad \varphi = \frac{\pi}{4} \qquad z = \frac{1}{3}$

**Zadanie 2.** Punkt  $P$  ma współrzędne walcowe:

$$r = 4 \qquad \varphi = \frac{\pi}{4} \qquad z = 3$$

Podać:

- współrzędne prostokątne;
- współrzędne sferyczne

tego punktu.

Rozwiązanie:

a) 
$$\begin{cases} r = \sqrt{x^2 + y^2} = 4 \\ \frac{x}{y} = \operatorname{tg} \varphi = 1 \end{cases}$$

Z otrzymanego układu równań  $x = y = 2\sqrt{2}$

Stąd:  $P' = (2\sqrt{2}; 2\sqrt{2}; 3)$

$$b) \quad r = \sqrt{x^2 + y^2 + z^2} = 5$$

$$\cos \theta = \frac{z}{r} = \frac{3}{5} \quad \text{czyli: } \theta = \arccos \frac{3}{5}$$

$$\cos \varphi = \frac{x}{r \sin \theta} = \frac{\sqrt{2}}{2} \quad \text{stąd: } \varphi = \frac{\pi}{4}$$

Zatem:

$$P'' = \left(5; \frac{\pi}{4}; \arccos \frac{3}{5}\right)$$

**Zadanie 3.** Wyznaczyć współrzędne walcowe wektora:

$$\vec{W} = (x - z)\vec{e}_y$$

Rozwiązanie:

Zapisujemy w postaci równania macierzowego:

$$\begin{bmatrix} W_r \\ W_\varphi \\ W_z \end{bmatrix} = \begin{bmatrix} \cos \varphi & \sin \varphi & 0 \\ -\sin \varphi & \cos \varphi & 0 \\ 0 & 0 & 1 \end{bmatrix} \cdot \begin{bmatrix} 0 \\ r \cos \varphi - z \\ 0 \end{bmatrix} = \begin{bmatrix} 0 \\ \sin \varphi (r \cos \varphi - z) \\ 0 \end{bmatrix}$$

Stąd:

$$\vec{W} = \sin \varphi (r \cos \varphi - z)\vec{e}_\varphi$$

**Zadanie 4.** Podać współrzędne walcowe wektora:

$$\vec{W} = \frac{x}{\sqrt{x^2 + y^2}}\vec{e}_x + \frac{y\vec{e}_y}{\sqrt{x^2 + y^2}} + z\vec{e}_z$$

Rozwiązanie:

$$\{\vec{W} = \vec{e}_r + z\vec{e}_z\}$$

**Zadanie 5.** Wyznaczyć współrzędne sferyczne wektora:

$$\vec{W} = x\vec{e}_x + y\vec{e}_y + z\vec{e}_z$$

Rozwiązanie:

$$\begin{bmatrix} W_r \\ W_\theta \\ W_\varphi \end{bmatrix} = \begin{bmatrix} \sin \theta \cos \varphi & \sin \theta \sin \varphi & \cos \theta \\ \cos \theta \cos \varphi & \cos \theta \sin \varphi & -\sin \theta \\ -\sin \varphi & \cos \varphi & 0 \end{bmatrix} = \begin{bmatrix} r \cos \varphi \sin \theta \\ r \sin \varphi \sin \theta \\ r \cos \theta \end{bmatrix} = \begin{bmatrix} r \\ 0 \\ 0 \end{bmatrix}$$

$$\text{czyli: } \vec{W} = r\vec{e}_r$$

**Zadanie 6.** Wyznaczyć współrzędne sferyczne wektora  $\vec{W} = \frac{\vec{r}}{r}$ , gdzie  $\vec{r}$  jest wektorem wodzącym, a  $r$  – jego długością.

Odpowiedź:  $\{\vec{W} = \vec{e}_r\}$

**Zadanie 7.** Podać wektor  $\vec{W} = -r \cos \theta \vec{e}_r + r \sin \theta \cos \theta \vec{e}_\theta$  we współrzędnych prostokątnych.

$$\begin{bmatrix} W_x \\ W_y \\ W_z \end{bmatrix} = \begin{bmatrix} \cos \theta \cos \varphi & \cos \theta \sin \varphi & -\sin \varphi \\ \sin \theta \sin \varphi & \cos \theta \sin \varphi & \cos \varphi \\ \cos \theta & -\sin \theta & 0 \end{bmatrix} \cdot \begin{bmatrix} -r^2 \cos^2 \theta \\ r \sin \theta \cos \theta \\ 0 \end{bmatrix} = \begin{bmatrix} 0 \\ 0 \\ -r \cos \theta \end{bmatrix}$$

Czyli  $\vec{W} = -z \vec{e}_z$

## 6.2. Zadania dotyczące cyrkulacji

**Zadanie 1.** Obliczyć cyrkulację wektora  $\vec{W} = [2y, x]$  po linii  $x^2 + y^2 = 4$ .

Rozwiązanie:

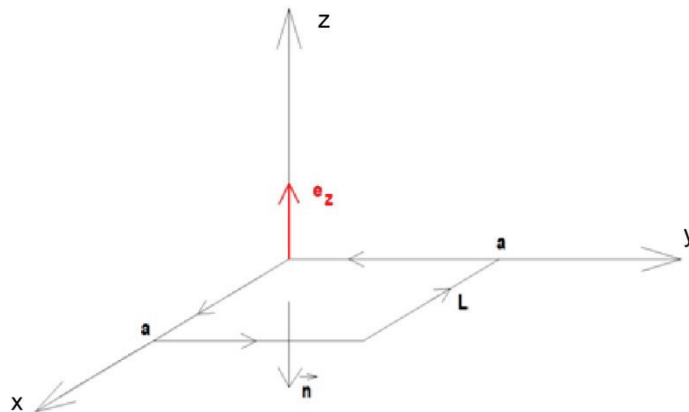
Linia  $L$  w postaci parametrycznej:

$$\begin{cases} x = 2 \cos t \\ y = 2 \sin t \end{cases} \quad t \in \langle 0, 2\pi \rangle \quad \begin{aligned} dx &= -2 \sin t \, dt \\ dy &= 2 \cos t \, dt \end{aligned}$$

Stąd cyrkulacja jest równa:

$$\begin{aligned} C_{\vec{W}} &= \oint_L 2y dx + x dy = \int_0^{2\pi} (-8 \sin^2 t + 4 \cos^2 t) dt = \\ &= \int_0^{2\pi} (-2 + 6 \cos 2t) dt = -4\pi \end{aligned}$$

**Zadanie 2.** Wyznaczyć cyrkulację wektora  $\vec{W} = (1 + y) \vec{e}_x$  po linii wyznaczonej prostymi  $x = a$ ,  $y = a$  i osiami układu.



Rys. 6.1. Ilustracja do wyznaczania cyrkulacji wektora po linii  $L$

Rozwiązanie:

Na podstawie twierdzenia Stokesa cyrkulacja:

$$C_{\vec{W}} = \iint_S \operatorname{rot} \vec{W} \circ d\vec{s}$$

Ponieważ:

$$\operatorname{rot} \vec{W} = \begin{vmatrix} \vec{e}_x & \vec{e}_y & \vec{e}_z \\ \frac{\partial}{\partial x} & \frac{\partial}{\partial y} & \frac{\partial}{\partial z} \\ 1+y & 0 & 0 \end{vmatrix} = -\vec{e}_z$$

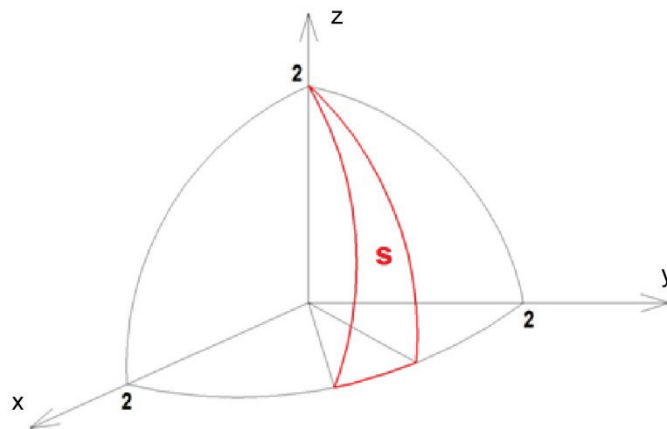
więc cyrkulacja równa jest:

$$C_{\vec{W}} = \iint_S [0, 0, -1] \cdot [dydz, dx dz, dx dy] = - \iint_D dx dy = -a^2$$

**Zadanie 3.** Znaleźć cyrkulację wektora  $\vec{W} = r \vec{e}_r + \sin \theta \vec{e}_\varphi$  po krzywej powstałej z przecięcia powierzchni  $x^2 + y^2 + z^2 = 4$  płaszczyznami  $y - x = 0$ ,  $y - x\sqrt{3} = 0$ ,  $z = 0$  ( $z \geq 0$ )

Rozwiązanie:

*I metoda*



Rys. 6.2. Ilustracja do wyznaczania cyrkulacji przy zastosowaniu twierdzenia Stokesa

Z twierdzenia Stokesa cyrkulacja jest równa:  $\iint_S \operatorname{rot} \vec{W} \circ d\vec{s}$

Wyznaczamy rotację we współrzędnych sferycznych:

$$\operatorname{rot} \vec{W} = \begin{vmatrix} \vec{e}_r & \vec{e}_\theta & \vec{e}_\varphi \\ r^2 \sin \theta & r \sin \theta & r \\ \frac{\partial}{\partial r} & \frac{\partial}{\partial \theta} & \frac{\partial}{\partial \varphi} \\ r & 0 & r \sin^2 \theta \end{vmatrix} = \frac{2 \cos \theta}{r} \vec{e}_r - \frac{\sin \theta}{r} \vec{e}_\theta$$

Element powierzchniowy we współrzędnych sferycznych:

$$d\vec{S} = r^2 \sin \theta d\varphi d\theta \vec{e}_r + r \sin \theta d\varphi dr \vec{e}_\theta + r dr d\theta \vec{e}_\varphi$$

Stąd cyrkulacja jest równa:

$$C_{\vec{W}} = \iint_S (2r \sin \theta \cos \theta d\varphi d\theta - \sin^2 \theta dr d\varphi)$$

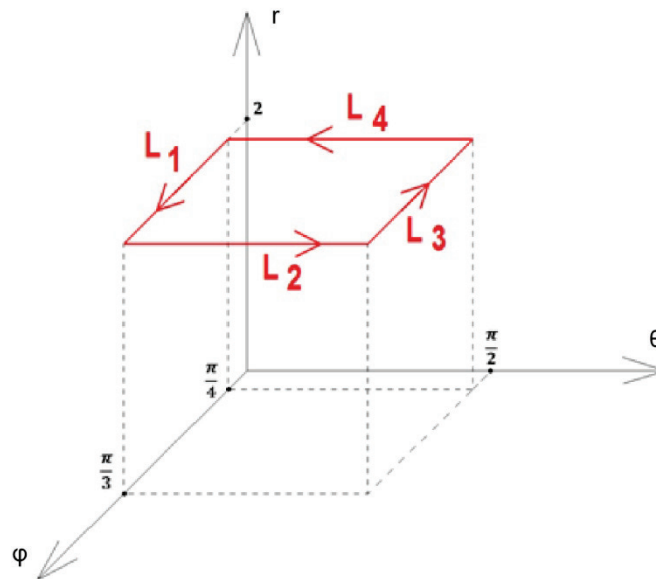
Powierzchnia  $S$  we współrzędnych sferycznych:

$$S: \begin{cases} r - 2 = 0 & dr = 0 \\ \frac{\pi}{4} \leq \varphi \leq \frac{\pi}{3} \\ 0 \leq \theta \leq \frac{\pi}{2} \end{cases}$$

Stąd cyrkulacja jest równa:

$$C_{\vec{W}} = 2 \int_{\frac{\pi}{4}}^{\frac{\pi}{3}} d\varphi \int_0^{\frac{\pi}{2}} \sin 2\theta d\theta = \frac{\pi}{6}$$

*II metoda*



Rys. 6.3. Ilustracja do wyznaczenia cyrkulacji w układzie sferycznym

Element liniowy we współrzędnych sferycznych:

$$d\vec{L} = dr \vec{e}_r + r d\theta \vec{e}_\theta + r \sin \theta d\varphi \vec{e}_\varphi$$

Cyrkulacja jest równa:

$$C_{\vec{W}} = \oint_L \vec{W} \circ d\vec{L} = \oint_L r dr + r \sin \theta d\varphi$$

$$L = L_1 \cup L_2 \cup L_3 \cup L_4$$

gdzie:

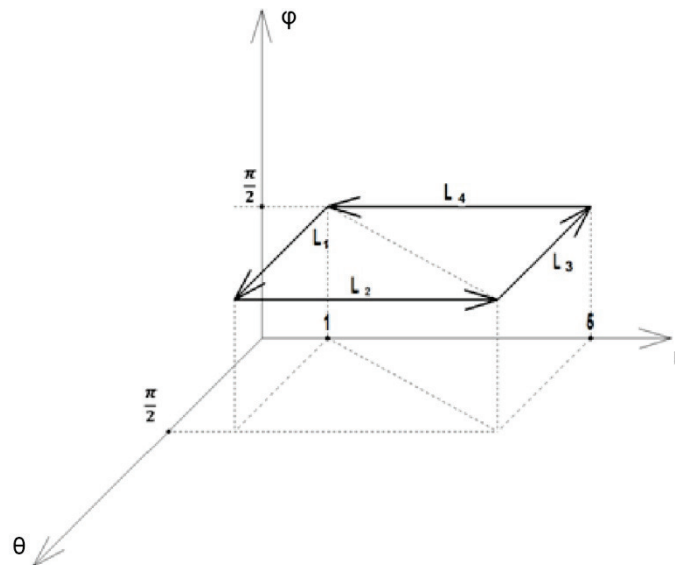
$$L_1 = \begin{cases} r - 2 = 0, & dr = 0 \\ \frac{\pi}{4} \leq \varphi \leq \frac{\pi}{3} \\ \theta = \frac{\pi}{2}, & d\theta = 0 \end{cases} \quad L_2 = \begin{cases} r - 2 = 0, & dr = 0 \\ \varphi = \frac{\pi}{3}, & d\varphi = 0 \\ 0 \leq \theta \leq \frac{\pi}{2} \end{cases}$$

$$L_3 = \begin{cases} r - 2 = 0, & dr = 0 \\ \frac{\pi}{4} \leq -\varphi \leq \frac{\pi}{3} \\ \theta = \frac{\pi}{2}, & d\theta = 0 \end{cases} \quad L_4 = \begin{cases} r - 2 = 0, & dr = 0 \\ 0 \leq -\theta \leq \frac{\pi}{2} \\ \varphi = \frac{\pi}{4}, & d\varphi = 0 \end{cases}$$

Stąd cyrkulacja:

$$C_{\vec{W}} = \int_{\frac{\pi}{4}}^{\frac{\pi}{3}} 2 \sin \frac{\pi}{2} d\varphi = \frac{\pi}{6}$$

**Zadanie 4.** Obliczyć cyrkulację wektora  $\vec{W} = -r \vec{e}_r + \sin \theta \vec{e}_\theta + \cos \varphi \vec{e}_\varphi$  po linii leżącej na płaszczyźnie  $\varphi = \frac{\pi}{2}$ , utworzonej z przecięcia powierzchni  $r = 1$ ,  $r = 5$  płaszczyznami  $\theta = 0$ ,  $\theta = \frac{\pi}{2}$ . Sprawdzić, czy pole  $\vec{W}$  jest bezwirowe.



Rys. 6.4. Ilustracja do wyznaczania cyrkulacji w układzie sferycznym

Rozwiązanie:

Zgodnie z definicją cyrkulacji:

$$C_{\vec{W}} = \int_L \vec{W} \circ d\vec{L}$$

Ponieważ element liniowy we współrzędnych sferycznych ma postać:

$$d\vec{L} = dr\vec{e}_r + r d\theta\vec{e}_\theta + r \sin \theta d\varphi\vec{e}_\varphi$$

stąd:

$$C_{\vec{w}} = \int_L -rdr + r \sin \theta d\theta + r \sin \theta \cos \varphi d\varphi$$

Uwzględniając, że  $L = L_1 \cup L_2 \cup L_3 \cup L_4$ , gdzie:

$$L_1 = \begin{cases} \varphi = \frac{\pi}{2}, & d\varphi = 0 \\ r = 1, & dr = 0 \\ 0 \leq \theta \leq \frac{\pi}{2} \end{cases} \quad L_2 = \begin{cases} \varphi = \frac{\pi}{2}, & d\varphi = 0 \\ 1 \leq r \leq 5 \\ \theta = \frac{\pi}{2}, & d\theta = 0 \end{cases}$$

$$L_3 = \begin{cases} \varphi = \frac{\pi}{2}, & d\varphi = 0 \\ r = 5, & dr = 0 \\ \theta \in \left( \frac{\pi}{2}; 0 \right) \end{cases} \quad L_4 = \begin{cases} \varphi = \frac{\pi}{2}, & d\varphi = 0 \\ r \in \left( 5; 1 \right) \\ \theta = 0, & d\theta = 0 \end{cases}$$

otrzymamy:

$$C_{\vec{w}} = \int_1^5 -rdr + \int_0^{\frac{\pi}{2}} \sin \theta d\theta + \int_5^1 -rdr + \int_{\frac{\pi}{2}}^0 5 \sin \theta d\theta = -4$$

Pole  $\vec{w}$  nie jest bezwirowe, gdyż cyrkulacja tego wektora po linii zamkniętej  $L$  jest różna od zera.

**Zadanie 5.** Znaleźć cyrkulację wektora  $\vec{w} = 5 \cos \varphi \vec{e}_r + \sin \theta \vec{e}_\theta$  po linii leżącej na powierzchni  $\theta = \frac{\pi}{4}$ , utworzonej z przecięcia sfery  $r = 3$  płaszczyznami  $\varphi = 0$ ,  $\varphi = \frac{\pi}{2}$ .

Rozwiązanie:

Ponieważ  $\text{rot } \vec{w} = \frac{-5 \sin \varphi}{r \sin \theta} \vec{e}_\theta$  (co pozostawiamy do sprawdzenia czytelnikowi), więc zgodnie z twierdzeniem Stokesa:

$$C_{\vec{w}} = \iint_s \text{rot } \vec{w} \circ d\vec{s}$$

Uwzględniając, że  $d\vec{s} = r \sin \theta dr d\varphi \vec{e}_\theta$ :

$$C_{\vec{w}} = -5 \iint_s \sin \varphi dr d\varphi = 5 \int_0^3 dr \int_0^{\frac{\pi}{2}} \sin \varphi d\varphi = -15$$

**Zadanie 6.** Obliczyć cyrkulację wektora  $\vec{W} = 3r \vec{e}_r + r \cos \theta \vec{e}_\theta - \sin \varphi \vec{e}_\varphi$  po linii powstałej z przecięcia się powierzchni  $r = 1$ ,  $r = 2$ ,  $\varphi = \frac{\pi}{3}$ ,  $\varphi = \frac{\pi}{2}$ ,  $\theta = \frac{\pi}{3}$ .

Rozwiązanie:

Linia  $L = L_1 \cup L_2 \cup L_3 \cup L_4$ , gdzie:



$$L_1 = \begin{cases} \frac{\pi}{3} \leq \theta \leq \frac{\pi}{2} \\ r = 2, & dr = 0 \\ \theta = \frac{\pi}{3}, & d\theta = 0 \end{cases} \quad L_2 = \begin{cases} \varphi = \frac{\pi}{3}, & d\varphi = 0 \\ 1 \leq r \leq 2 \\ \theta = \frac{\pi}{3}, & d\theta = 0 \end{cases}$$

$$L_3 = \begin{cases} 2 \leq r \leq 1 \\ \theta = \frac{\pi}{3}, & d\theta = 0 \\ \varphi = \frac{\pi}{2}, & d\varphi = 0 \end{cases} \quad L_4 = \begin{cases} r = 1, & dr = 0 \\ \frac{\pi}{2} \leq \varphi \leq \frac{\pi}{3} \\ \theta = \frac{\pi}{3}, & d\theta = 0 \end{cases}$$

Stąd:

$$\begin{aligned} C_{\vec{w}} &= \int_L \vec{w} \circ d\vec{L} = \int_L 3r dr + r^2 \cos \theta d\theta - r \sin \varphi \sin \theta d\varphi = \\ &= \int_{\frac{\pi}{3}}^{\frac{\pi}{2}} -2 \sin \varphi \sin \frac{\pi}{3} d\varphi + \int_1^2 3r dr + \int_2^1 3r dr + \int_{\frac{\pi}{2}}^{\frac{\pi}{3}} -\sin \varphi \sin \frac{\pi}{3} d\varphi = -\frac{\sqrt{3}}{4} \end{aligned}$$

**Zadanie 7.** Znaleźć cyrkulację wektora  $\vec{W} = r^3 \vec{e}_r + \cos 2\theta \vec{e}_\theta + \sin 2\varphi \vec{e}_\varphi$  po linii powstałej z przecięcia sfery  $x^2 + y^2 + z^2 = 4$  płaszczyznami  $z = 0$ ,  $y = 0$ .

Rozwiązanie:

Ponieważ:

$$\text{rot } \vec{w} = \begin{vmatrix} \vec{e}_r & \vec{e}_\theta & \vec{e}_\varphi \\ r^2 \sin \theta & r \sin \theta & r \\ \frac{\partial}{\partial r} & \frac{\partial}{\partial \theta} & \frac{\partial}{\partial \varphi} \\ r^3 & \cos 2\theta & \sin 2\varphi \end{vmatrix} = 0$$

Cyrkulacja na mocy twierdzenia Stokesa równa się zeru.

### 6.3. Zadania dotyczące strumienia

**Zadanie 1.** Znaleźć strumień wektora wodzącego  $\vec{r} = [x, y, z]$  przez powierzchnię kuli o promieniu  $R$ .

Rozwiązanie:

Z twierdzenia Gaussa:

$$\Phi = \iint_S \vec{r} \circ d\vec{S} = \iiint_V \text{div } \vec{r} dV$$

Ponieważ  $\text{div } \vec{r} = 3$ , więc:

$$\Phi = 3 \iiint_V dV = 3 |V| = 4\pi R^3$$

**Zadanie 2.** Znaleźć strumień wektora  $\vec{W} = x^2 \vec{e}_x + y \vec{e}_y + z \vec{e}_z$  przez powierzchnię sfery:

$$\begin{cases} z = \sqrt{4 - x^2 - y^2} \\ x \geq 0; z \geq 0 \end{cases}$$

Rozwiązanie:

Ponieważ  $\operatorname{div} \vec{w} = 2x + 2$ , więc z twierdzenia Gaussa i po wprowadzeniu współrzędnych sferycznych:

$$\Phi = \iiint_V 2(x+1)dV = 2 \int_{-\frac{\pi}{2}}^{\frac{\pi}{2}} d\varphi \int_0^{\frac{\pi}{2}} \sin \theta d\theta \int_0^2 (r \cos \varphi \sin \theta + 1)r^2 dr = \frac{28}{3} \pi$$

**Zadanie 3.** Znaleźć strumień wektora  $\vec{W} = r^2 \sin \varphi \vec{e}_r + 2r^2 \cos \varphi \vec{e}_\varphi + z^2 \vec{e}_z$  przez powierzchnię walca  $x^2 + y^2 = 1$  ograniczoną płaszczyznami  $z = 0, z = H, (z \geq 0)$ .

Rozwiązanie:

Dywergencja wektora  $\vec{W}$  we współrzędnych walcowych:

$$\begin{aligned} \operatorname{div} \vec{W} &= \frac{1}{r} \frac{\partial}{\partial r} (r^3 \sin \varphi) + \frac{1}{r} \frac{\partial}{\partial \varphi} (2r^2 \cos \varphi) + \frac{\partial (z^2)}{\partial z} = 3r \sin \varphi - 2r \sin \varphi + 2z = \\ &= r \sin \varphi + 2z \end{aligned}$$

Z twierdzenia Gaussa:

$$\Phi = \iiint_V (r \sin \varphi + 2z) dV = \int_0^{2\pi} d\varphi \int_0^1 r dr \int_0^H (r \sin \varphi + 2z) dz = \pi H^2$$

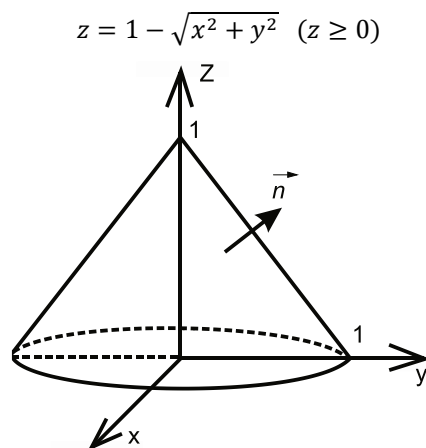
**Zadanie 4.** Znaleźć strumień wektora  $\vec{w} = \frac{1}{r} \vec{e}_r + r \cos \varphi \vec{e}_\varphi + z \sin \varphi \vec{e}_z$  przez dowolną powierzchnię zamkniętą  $S$ .

Rozwiązanie:

Ponieważ  $\operatorname{div} \vec{w} = 0$ , więc  $\Phi_{\vec{w}} = 0$ .

**Zadanie 5.** Znaleźć strumień wektora  $\vec{W} = r \sin^2 \theta \vec{e}_r - \frac{r \cos^3 \theta}{\sin \theta} \vec{e}_\theta + r \vec{e}_\varphi$ :

a) przez powierzchnię stożka:



Rys. 6.5. Wyznaczanie strumienia wektora  $\vec{W}$  przez powierzchnię stożka

Rozwiązanie:

Dywergencja wektora  $\vec{W}$  we współrzędnych sferycznych:

$$\operatorname{div} \vec{W} = \frac{1}{r^2} \frac{\partial}{\partial r} (r^3 \sin^2 \theta) + \frac{1}{r \sin \theta} \frac{\partial(-r \cos^3 \theta)}{\partial \theta} + \frac{1}{r \sin \theta} \frac{\partial r}{\partial \varphi} = 3$$

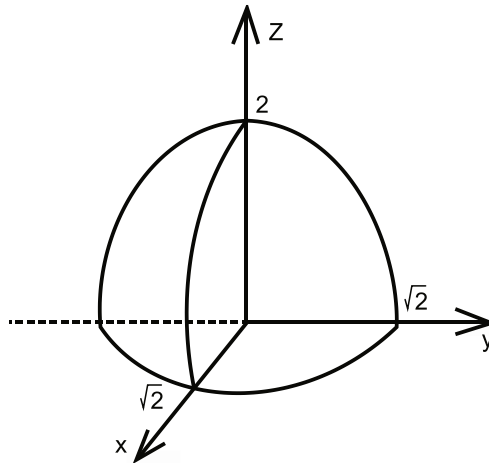
więc na mocy twierdzenia Gaussa:

$$\Phi = 3 \iiint_V dV = 3\pi$$

b) przez powierzchnię  $S: x^2 + y^2 + z^2 = 4R^2$

Odpowiedź:  $\Phi = 32\pi R^3$

**Zadanie 6.** Znaleźć strumień wektora  $\vec{W} = r^2 \vec{e}_r + \frac{\sin \varphi}{r \sin \theta} \vec{e}_\theta + r \cos \theta \vec{e}_\varphi$  przez powierzchnię paraboloidy  $z = 2 - x^2 - y^2$  ( $z \geq 0$ ).



Rys. 6.6. Wyznaczanie strumienia wektora  $\vec{W}$  przez powierzchnię paraboloidy

Rozwiązanie:

Dywergencja wektora:

$$\operatorname{div} \vec{w} = \frac{1}{r^2} \frac{\partial}{\partial r} (r^4) + \frac{1}{r \sin \theta} \frac{\partial}{\partial \theta} \left( \frac{\sin \varphi}{r} \right) + \frac{1}{r \sin \theta} \frac{\partial}{\partial \varphi} (r \cos \theta) = 4r$$

Stąd strumień:

$$\Phi = \iiint_V 4r dV = 4 \int_0^{2\pi} d\varphi \int_0^{\sqrt{2}} r^2 \int_0^{2-r^2} dz = \frac{64}{15} \pi \sqrt{2}$$

## 6.4. Zadania z elektrostatyki

**Zadanie 1.** Sprawdzić, czy pole wytworzone przez ładunek punktowy  $q$  znajdujący się w początku układu jest potencjalne. Znaleźć potencjał na zewnątrz kuli o promieniu  $R$  równomiernie naładowanej ładunkiem  $q$  oraz strumień pola  $\vec{E}$  przez powierzchnię tej kuli:

Rozwiązanie:

Wektor indukcji elektrycznej  $\vec{D}$  ma kierunek radialny, czyli jest prostopadły do powierzchni koncentrycznych kul, w których środku znajduje się ładunek  $q$ .

Ze względu na symetrię, przy uwzględnieniu, że  $\vec{D} = \vec{E}\epsilon$ , i z prawa Gaussa wynika, że:

$$\iint_S \vec{D} \circ d\vec{S} = q$$

czyli:

$$\epsilon E_r \iint_S ds = q \qquad \epsilon E_r 4\pi r^2 = q$$

stąd:

$$E_r = \frac{q}{4\pi\epsilon r^2} \qquad \vec{E} = \frac{q}{4\pi\epsilon r^2} \vec{e}_r$$

Dla punktów na zewnątrz kuli pole  $\vec{E}$  jest identyczne jak pole ładunku punkowego umieszczonego w środku kuli. Czyli pole wewnątrz kuli jest równe zeru, na zewnątrz zaś  $\vec{E} = \frac{q}{4\pi\epsilon r^2} \vec{e}_r$ . Ponieważ rotacja we współrzędnych sferycznych:

$$\text{rot } \vec{w} = \begin{vmatrix} \vec{e}_r & \vec{e}_\theta & \vec{e}_\varphi \\ r^2 \sin \theta & r \sin \theta & r \\ \frac{\partial}{\partial r} & \frac{\partial}{\partial \theta} & \frac{\partial}{\partial \varphi} \\ \frac{q}{4\pi\epsilon_0 r^2} & 0 & 0 \end{vmatrix} = \vec{0}$$

więc pole  $\vec{E}$  jest potencjalne, co stanowi oczywisty fakt (gdyż pole elektrostatyczne jest bezwirowe). Potencjał  $\varphi$  znajdujemy ze związku  $\vec{E} = -\text{grad } \varphi$ , więc dla  $r > R$ :

$$\varphi(r) = -\frac{q}{4\pi\epsilon} \int_r^\infty \frac{dr}{r^2} = \frac{q}{4\pi\epsilon r}$$

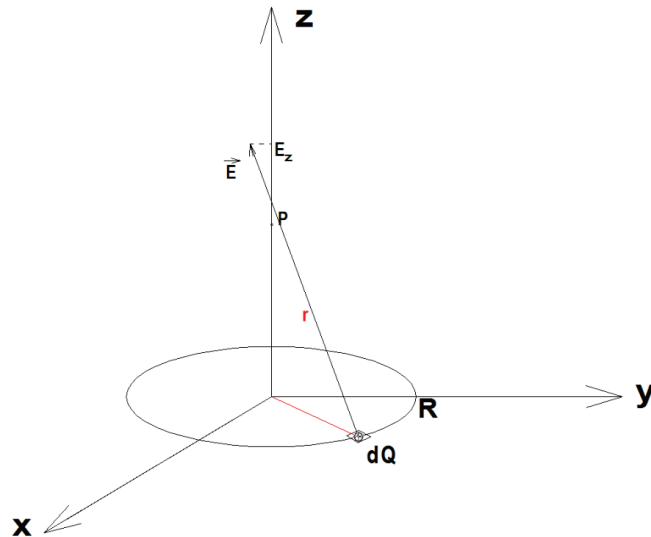
Strumień pola  $\vec{E}$  przez zamkniętą powierzchnię kuli  $S$ , obejmującą ładunek  $q$ :

$$\Phi_E = \iint_S \vec{E} \circ d\vec{S} = \iint_D \frac{q}{4\pi\epsilon r^2} \vec{e}_r \circ r^2 \sin \theta d\varphi d\theta \vec{e}_r = \frac{q}{4\pi\epsilon} \int_0^{2\pi} d\varphi \int_0^\pi \sin \theta d\theta = \frac{q}{\epsilon}$$

### Zadanie 2

- a) Ładunek  $Q$  jest równomiernie rozłożony na okręgu o promieniu  $R$  z gęstością liniową  $\rho_L$ . Znaleźć potencjał i natężenie pola elektrostatycznego w punktach leżących na osi  $Oz$ .

$$P = (0, 0, z)$$

Rys. 6.7. Ilustracja do obliczania natężenia pola  $\vec{E}$  naładowanego okręgu

Rozwiązanie:

$$dQ = \rho_L dL = \frac{Q}{2\pi R} dL \quad \text{bo:} \quad \rho_L = \frac{Q}{|L|} = \frac{Q}{2\pi R}$$

Ponieważ:

$$r = \sqrt{z^2 + R^2}$$

stąd:

$$d\varphi = \frac{dQ}{4\pi\epsilon r} = \frac{1}{4\pi\epsilon} \frac{Q}{2\pi R} \frac{1}{\sqrt{z^2 + R^2}} dL$$

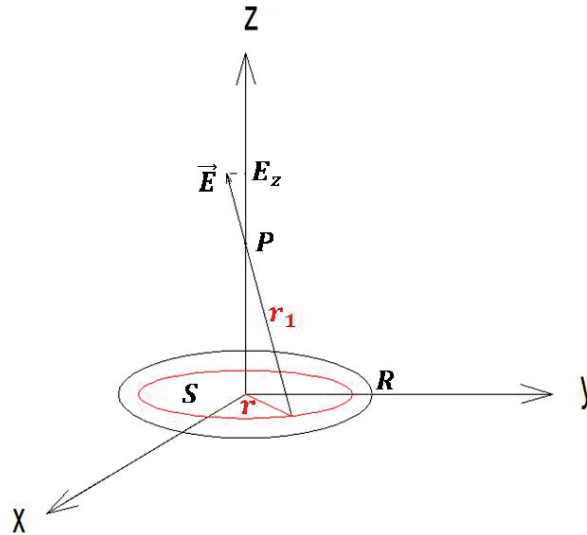
czyli:

$$\begin{aligned} \varphi &= \frac{Q}{8\pi^2\epsilon R\sqrt{z^2 + R^2}} \int_L dL = \frac{Q}{8\pi^2\epsilon R\sqrt{z^2 + R^2}} |L| = \frac{Q}{8\pi^2\epsilon R\sqrt{z^2 + R^2}} 2\pi R = \\ &= \frac{Q}{4\pi\epsilon\sqrt{z^2 + R^2}} \end{aligned}$$

Ponieważ  $\vec{E} = -\text{grad } \varphi(z)$ , więc:

$$\vec{E} = \frac{Qz}{4\pi\epsilon(\sqrt{z^2 + R^2})^3} \vec{e}_z$$

- b) Znaleźć potencjał i natężenie pola elektrostatycznego w punktach leżących na osi  $Oz_+$ , wiedząc, że ładunek powierzchniowy  $\rho_S$  jest rozłożony równomiernie na kole o promieniu  $R$ .



Rys. 6.8. Ilustracja do obliczania potencjału na osi symetrii naładowanego koła

Rozwiązanie:

Ponieważ:

$$r_1 = \sqrt{z^2 + r^2}$$

więc:

$$\varphi = \frac{1}{4\pi\epsilon} \iint_S \frac{\rho_S dS}{\sqrt{z^2 + r^2}} = \frac{\rho_S}{4\pi\epsilon} \iint_D \frac{dxdy}{\sqrt{z^2 + r^2}}$$

Obszar  $D$  jest kołem spełniającym nierówność:

$$x^2 + y^2 \leq R^2$$

Po wprowadzeniu współrzędnych biegunowych, czyli:

$$\begin{cases} x = r \cos \beta \\ y = r \sin \beta \\ \text{Jacobian} = r \end{cases}$$

otrzymamy potencjał:

$$\varphi = \frac{\rho_S}{4\pi\epsilon_0} \int_0^{2\pi} d\beta \int_0^R \frac{r dr}{\sqrt{z^2 + r^2}} = \frac{\rho_S}{2\epsilon_0} \sqrt{z^2 + r^2} \Big|_0^R = \frac{\rho_S}{2\epsilon_0} (\sqrt{z^2 + R^2} - z)$$

i natężenie pola:

$$E_Z = -\frac{d\varphi}{dz} = -\frac{\rho_S}{2\epsilon_0} \left( \frac{z}{\sqrt{z^2 + R^2}} - 1 \right)$$

$$\vec{E} = -\frac{\rho_S}{2\epsilon_0} \left( \frac{z}{\sqrt{z^2 + R^2}} - 1 \right) \vec{e}_z$$

**Zadanie 3.** Podać wzory na natężenie pola elektrostatycznego, korzystając ze związków I–III.

I. Jeżeli ładunek jest rozmieszczony w obszarze skończonym z gęstością  $\rho_L$ , to w punkcie  $P$  odległym o  $r$  od punktu obszaru potencjał wyraża się wzorem:

$$\varphi = \frac{1}{4\pi\epsilon} \int_L \frac{\rho_L}{r} dL$$

II. W przypadku, gdy potencjał jest wytworzony przez ładunek powierzchniowy znajdujący się na powierzchni  $S$  (co ma miejsce w przypadku naładowanych ciał metalowych), wyraża się wzorem:

$$\varphi = \frac{1}{4\pi\epsilon} \iint_S \frac{\rho_S ds}{r}$$

III. Potencjał wytworzony przez ładunek objętościowy o gęstości  $\rho_V$ :

$$\varphi = \frac{1}{4\pi\epsilon} \iiint_V \frac{\rho_V}{r} dV$$

Ponieważ:

$$\vec{E} = -\text{grad } \varphi(r) = -\varphi'(r) \frac{\vec{r}}{r} = -\varphi'(r) \vec{r}_0$$

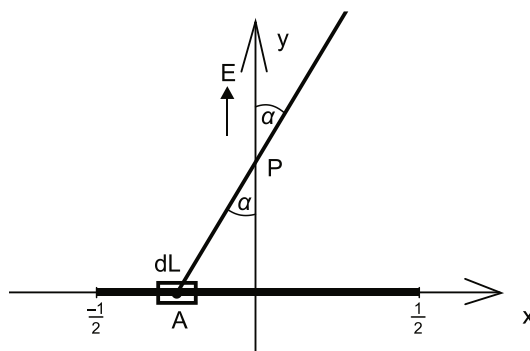
gdzie  $\vec{r}_0$  to wektor wodzący jednostkowy, otrzymamy odpowiednio:

$$\text{I. } \vec{E}(r) = \frac{1}{4\pi\epsilon} \int_L \frac{\rho_L}{r^2} \vec{r}_0 dL$$

$$\text{II. } \vec{E}(r) = \frac{1}{4\pi\epsilon} \iint_S \frac{\rho_S}{r^2} \vec{r}_0 dS$$

$$\text{III. } \vec{E}(r) = \frac{1}{4\pi\epsilon} \iiint_V \frac{\rho_V}{r^2} \vec{r}_0 dV$$

**Zadanie 4.** Cienki, nieprzewodzący pręt o długości  $l$  posiada ładunek  $q$  rozłożony równomiernie z gęstością liniową  $\rho_L$ . Znaleźć pole  $\vec{E}$  w punkcie  $P$  leżącym na symetralnej pręta.



Rys. 6.9. Ilustracja do obliczania pola  $\vec{E}$  naładowanego pręta

Rozwiązanie:

Uwzględniając, że  $P(0; y) A(x; 0)$ , mamy:

$$r = |AP| = \sqrt{x^2 + y^2}$$

Dodatkowo, współrzędna y-kowa wektora  $\vec{r}_0$  to cosinus kierunkowy z osią Oy, czyli  $\cos \alpha = \frac{y}{r}$  otrzymamy na mocy wzoru I:

$$E(y) = \frac{\rho_L}{4\pi\epsilon_0} \int_{-\frac{l}{2}}^{\frac{l}{2}} \frac{y}{\sqrt{(x^2 + y^2)^3}} dx = \frac{\rho_L y}{4\pi\epsilon_0} \left[ \frac{1}{y^2} \frac{x}{\sqrt{x^2 + y^2}} \right]_{-\frac{l}{2}}^{\frac{l}{2}} = \frac{\rho_L l}{2\pi\epsilon_0 y \sqrt{l^2 + 4y^2}}$$

czyli:

$$\vec{E} = \frac{\rho_L l}{2\pi\epsilon_0 y \sqrt{l^2 + 4y^2}} \vec{e}_y$$

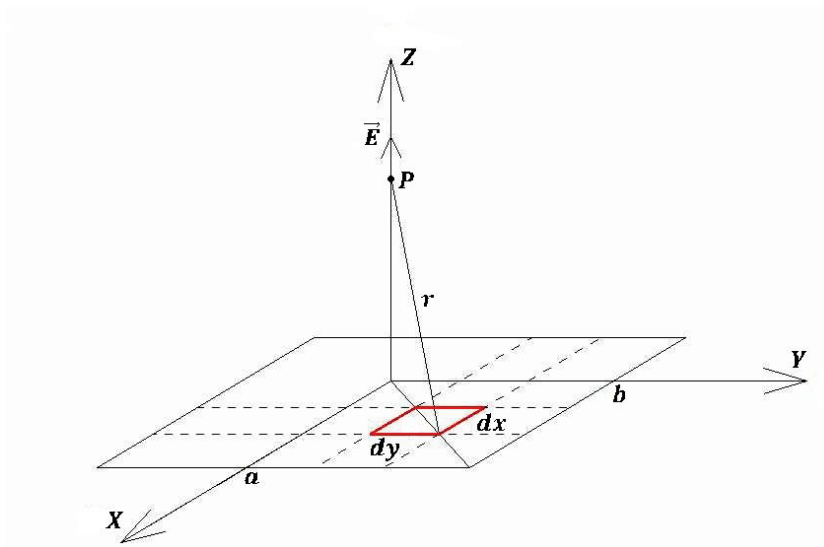
Ponieważ  $\rho_L = \frac{q}{l}$ , więc:

$$\vec{E} = \frac{q}{2\pi\epsilon_0 y \sqrt{l^2 + 4y^2}} \vec{e}_y$$

**Zadanie 5.** Znaleźć potencjał i natężenie pola elektrostatycznego:

- prostokąta,
- kwadratu

umieszczonego w próżni na płaszczyźnie Oxy z równomiernie rozłożonym ładunkiem powierzchniowym w punktach leżących na osi Oz.



Rys. 6.10. Ilustracja do obliczania natężenia pola  $\vec{E}$  naładowanego prostokąta



a) Rozwiązanie:

$$r = \sqrt{x^2 + y^2 + z^2}$$

$$\varphi = \frac{1}{4\pi\epsilon_0} \iint_S \frac{\rho_S dS}{r} = \frac{\rho_S}{4\pi\epsilon_0} \int_{-a}^a dx \int_{-b}^b \frac{dy}{\sqrt{x^2 + y^2 + z^2}}$$

Ostatnia całka powyższego związku, odczytana z tablic całek, ma postać:

$$\int_{-b}^b \frac{dy}{\sqrt{x^2 + y^2 + z^2}} = \ln \frac{\sqrt{x^2 + b^2 + z^2} + b}{\sqrt{x^2 + b^2 + z^2} - b}$$

Kolejna całka, czyli  $\int_{-a}^a \ln \frac{\sqrt{x^2 + b^2 + z^2} + b}{\sqrt{x^2 + b^2 + z^2} - b} dx$ , obliczona metodą całkowania przez części, a następnie podstawiania jest równa:

$$2a \ln \frac{\sqrt{a^2 + b^2 + z^2} + b}{\sqrt{a^2 + b^2 + z^2} - b}$$

stąd ostatecznie potencjał:

$$\varphi(z) = \frac{\rho_S a}{2\pi\epsilon_0} \ln \frac{\sqrt{a^2 + b^2 + z^2} + b}{\sqrt{a^2 + b^2 + z^2} - b}$$

Natężenie pola elektrostatycznego w punktach leżących na osi Oz:

$$E(z) = -\frac{d\varphi}{dz} = \frac{\rho_S abz}{2\pi\epsilon_0(a^2 + z^2)\sqrt{a^2 + b^2 + z^2}}$$

Uwzględniając, że:

$$\rho_S = \frac{Q}{4ab}$$

otrzymamy ostatecznie:

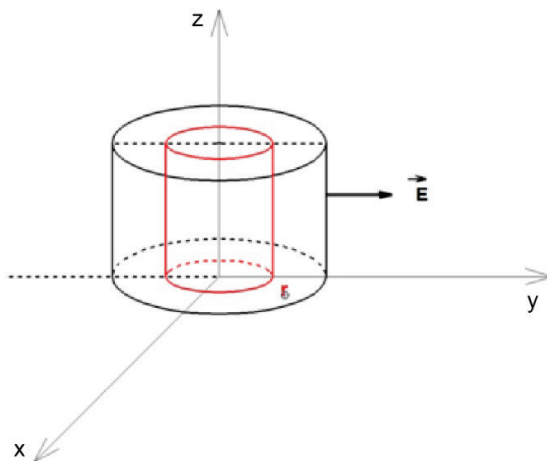
$$\vec{E} = \frac{Qz}{4\pi\epsilon_0(a^2 + z^2)\sqrt{a^2 + b^2 + z^2}} \vec{e}_z$$

b) Rozwiązanie:

Korzystając z podpunktu a):

$$E(z) = \frac{Qz}{4\pi\epsilon_0(a^2 + z^2)\sqrt{2a^2 + z^2}}$$

**Zadanie 6.** Długi walec jest naładowany z gęstością proporcjonalną do odległości od osi walca (potencjał jest równy zero na osi Oz). Znaleźć natężenie pola i potencjał wewnątrz walca.



Rys. 6.11. Ilustracja do wyznaczania natężenia pola  $\vec{E}$  naładowanego walca

Rozwiązanie:

Jako powierzchnię Gaussa ( $S$ ) przyjmujemy walec o promieniu  $r$  i tworzącej  $l$  oraz osi pokrywającej się z osią naładowanego walca.

Gęstość:

$$\rho = k r$$

Ze względu na symetrię:

$$\iint_S \vec{E} \circ d\vec{s} = \varepsilon E_r \iint_S ds = \varepsilon E_r 2\pi r l$$

$$\iiint_V \frac{\rho}{\varepsilon} dV = \frac{k}{\varepsilon} \int_0^{2\pi} d\varphi \int_0^r r^2 dr \int_0^l dz = \frac{2}{3\varepsilon} \pi r^3 l$$

zatem z twierdzenia Gaussa otrzymamy:

$$\varepsilon E_r 2\pi r l = \frac{2}{3\varepsilon} \pi r^3 l$$

stąd:

$$E_r = \frac{k r^2}{3\varepsilon}$$

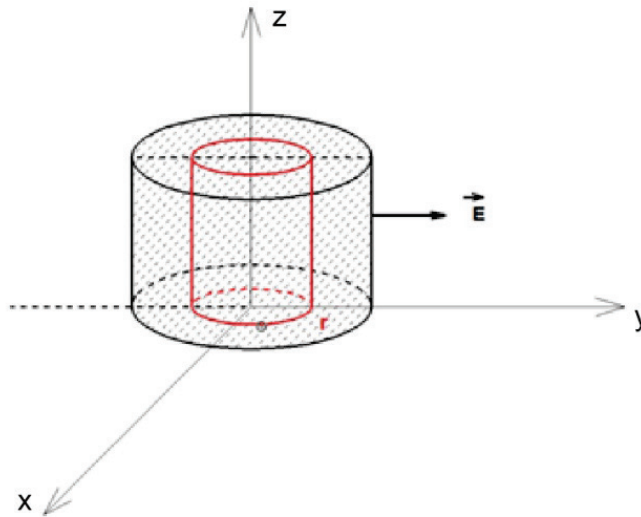
czyli wektor pola:

$$\vec{E} = \frac{k r^2}{3\varepsilon} \vec{e}_r$$

Potencjał:

$$\varphi = - \int_0^r \frac{k r^2}{3\varepsilon} dr = - \frac{k r^3}{9\varepsilon}$$

**Zadanie 7.** Nieskończenie długi walec o promieniu  $R$ , wypełniony gazem o względnej przenikalności  $\epsilon_w$ , naładowano ładunkiem o gęstości  $\rho_V$ . Znaleźć rozkład natężenia pola elektrycznego i potencjału wewnątrz i na zewnątrz walca.



Rys. 6.12. Ilustracja do wyznaczania natężenia pola  $\vec{E}$  walca naładowanego ładunkiem objętościowym (z uwzględnieniem powierzchni Gaussa)

Rozwiązanie:

Ponieważ gaz jest dobrym izolatorem, więc zachowuje się jak dielektryk. Dlatego w prawie Gaussa uwzględnimy indukcję  $\vec{D}$ . Ponadto symetria jest jednakowa w punktach równoodległych od osi  $z$ , linie pola są zaś prostopadłe do powierzchni bocznej walca. Stąd:

1) dla  $r < R$  i z twierdzenia Gaussa:

$$\iint_S \vec{D} \circ d\vec{s} = \iint_S \epsilon \vec{E} \circ d\vec{s} = \iiint_V \rho_V dV$$

otrzymujemy:

$$\epsilon E_r 2\pi r l = \rho_V \pi r^2 l$$

czyli:

$$E_r = \frac{\rho_V r}{2\epsilon} \qquad \vec{E}_r = \frac{\rho_V r \vec{e}_r}{2\epsilon}$$

stąd wyznaczamy potencjał:

$$\varphi_1(r) = - \int_0^r E(r) dr = - \int_0^r \frac{\rho_V}{2\epsilon} r dr = - \frac{\rho_V r^2}{4\epsilon} + C_1$$

2) dla  $r > R$ :

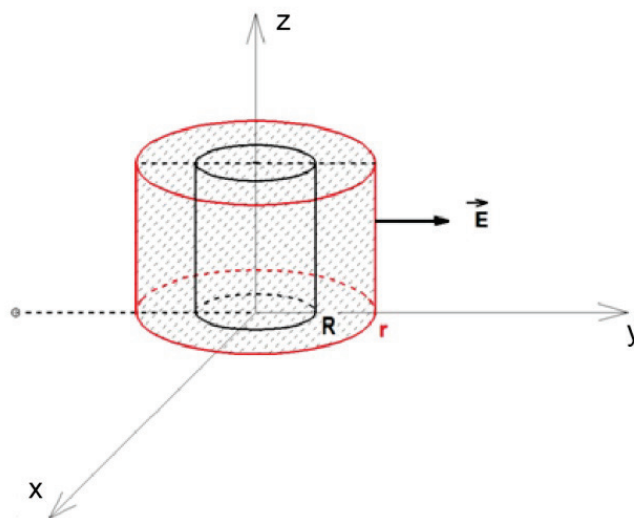
$$\epsilon E_r 2\pi r l = \rho_V \pi R^2 l$$

czyli:

$$E_r = \frac{\rho_V R^2}{2\epsilon r}$$

stąd potencjał:

$$\varphi_2(r) = - \int \frac{\rho_V R^2}{2\epsilon r} dr = - \frac{\rho_V R^2 \ln r}{2\epsilon} + C_2$$



Rys. 6.13. Ilustracja do wyznaczania natężenia pola  $\vec{E}$  walca naładowanego ładunkiem objętościowym (z uwzględnieniem powierzchni Gaussa)

Uwzględniając warunek ciągłości potencjału na powierzchni walca  $\varphi_1(R) = \varphi_2(R)$  oraz warunek brzegowy  $\varphi(R) = U$ , otrzymamy:

$$\varphi(r) = \begin{cases} \frac{\rho_V(R^2 - r^2)}{4\epsilon} + U & \text{dla } r < R \\ \frac{\rho_V R^2}{2\epsilon} \ln \frac{R}{r} + U & \text{dla } r > R \end{cases}$$

**Zadanie 8.** Znaleźć pojemność kondensatora walcowego o długości  $l$ , składającego się z dwóch współśrodkowych walców o promieniach  $a$ ,  $b$  (przy czym:  $b \ll l$ ). Przestrzeń między okładkami jest wypełniona dielektrykiem o przenikalności dielektrycznej  $\epsilon$ . Ładunki  $Q$  i  $-Q$  są równomiernie rozłożone na okładkach.

Rozwiązanie:

W celu obliczenia pojemności należy znaleźć różnicę potencjałów między okładkami. Natężenie pola elektrostatycznego między nimi pochodzi wyłącznie od ładunku znajdującego się na wewnętrznej powierzchni okładki (strumień pola przenika tylko przez powierzchnię boczną walca).

Stąd dla  $a < r < b$  z prawa Gaussa:

$$E_r 2\pi r l = \frac{Q}{\varepsilon}$$

$$E_r = \frac{Q}{2\pi\varepsilon r l}$$

więc:

$$\varphi_2 - \varphi_1 = -\frac{Q}{2\pi\varepsilon l} \int_a^b \frac{dr}{r} = -\frac{Q}{2\pi\varepsilon l} \ln \frac{b}{a}$$

Pojemność kondensatora:

$$C = \frac{Q}{\varphi_1 - \varphi_2} = \frac{2\pi\varepsilon l}{\ln \frac{b}{a}}$$

**Zadanie 9.** Znaleźć rozkład indukcji  $\vec{D}$  samotnej kuli wypełnionej gazem z równomiernie rozłożonym ładunkiem objętościowym  $\rho_V$  o względnej przenikalności dielektrycznej  $\varepsilon$ , umieszczonej w powietrzu. Znaleźć potencjał elektryczny, stosując:

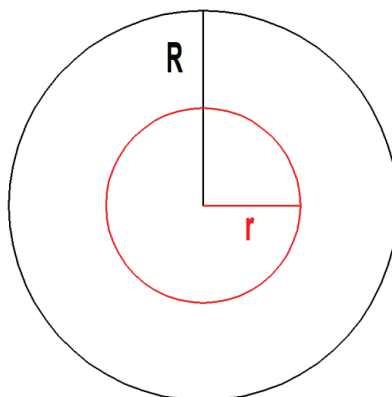
- prawo Gaussa,
- rozwiązując równanie Laplace'a lub Poissona.

Rozwiązanie:

Ze względu na symetrię indukcja  $\vec{D}$  jest jednakowa we wszystkich punktach równoodległych od środka kuli. Jest ona skierowana wzdłuż promienia, linie pola są zaś prostopadłe do powierzchni kuli.

Rozkład indukcji:

- dla  $r < R$ :



Rys. 6.14. Przekrój naładowanej kuli (wraz z powierzchnią Gaussa)

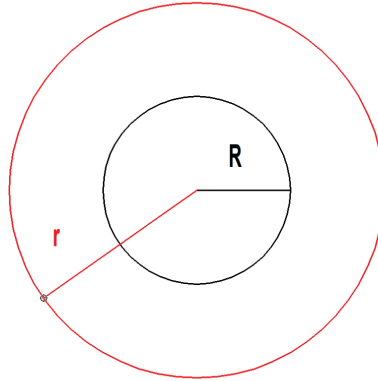
Korzystając z prawa Gaussa i ze względu na symetrię kuli otrzymamy:

$$D_r 4\pi r^2 = \rho_V |v| = \rho_V \frac{4}{3} \pi r^3$$

$$D_r = \frac{\rho_V r}{3}; \quad E_r = \frac{\rho_V r}{3\varepsilon_p \varepsilon}$$

gdzie  $\varepsilon_p$  to współczynnik przenikalności dielektrycznej powietrza równy 1.

2) dla  $r > R$ :



Rys. 6.15. Przekrój naładowanej kuli (wraz z powierzchnią Gaussa)

$$D_r 4\pi r^2 = \frac{4}{3} \pi R^3 \rho_V$$

więc:

$$D_r = \frac{\rho_V R^3}{3r^2} \quad \text{i} \quad E_r = \frac{\rho_V R^3}{3\varepsilon r^2}$$

Ostatecznie:

$$E_r = \begin{cases} \frac{\rho_V r}{3\varepsilon} & \text{dla } r < R \\ \frac{\rho_V R^3}{3\varepsilon r^2} & \text{dla } r > R \end{cases}$$

a) Ponieważ  $\vec{E} = -\text{grad } \varphi$ , więc:

$$\varphi_1(r) = -\int \frac{\rho_V r}{3\varepsilon} dr = -\frac{\rho_V r^2}{6\varepsilon} + C_1 \quad \text{dla } r < R$$

$$\varphi_2(r) = -\int \frac{\rho_V R^3}{3\varepsilon r^2} dr = \frac{\rho_V R^3}{3\varepsilon r} + C_2 \quad \text{dla } r > R$$

Uwzględniając warunek ciągłości potencjału na brzegu obszaru  $\varphi_1(R) = \varphi_2(R)$ , otrzymamy:

$$\varphi(r) = \begin{cases} \frac{\rho_V}{6\varepsilon} (3R^2 - r^2) & \text{dla } r < R \\ \frac{\rho_V R^3}{3\varepsilon r} & \text{dla } r > R \end{cases}$$

b) Potencjał na zewnątrz kuli spełnia równanie Laplace'a (brak ładunków), więc:

1) Dla  $r > R$ :  $\Delta\varphi = 0$

Zapisując laplasjan we współrzędnych sferycznych oraz uwzględniając, że  $\varphi = \varphi(r)$ , otrzymamy:

$$\Delta\varphi = -\frac{1}{r^2} \frac{d}{dr} \left( r^2 \frac{d\varphi}{dr} \right) = 0$$

stąd:

$$r \frac{d^2\varphi}{dr^2} + 2 \frac{d\varphi}{dr} = 0$$

Jest to równanie różniczkowe liniowe jednorodne. Podstawiając  $\frac{d\varphi}{dr} = f(r)$  i po rozdzieleniu zmiennych otrzymujemy:

$$\frac{df}{f} = -2 \frac{dr}{r}$$

więc:

$$f = \frac{C}{r^2}$$

czyli:

$$\frac{d\varphi}{dr} = \frac{C}{r^2}$$

stąd:

$$\varphi_1 = \frac{C_1}{r} + C_2$$

Ponieważ w nieskończoności potencjał równy jest zeru, więc  $C_2 = 0$  i ostatecznie:

$$\varphi_1(r) = \frac{C_1}{r}$$

- 2) Dla  $r < R$  potencjał spełnia równanie Poissona:  $\Delta\varphi = -\frac{\rho}{\varepsilon}$ . Podobnie jak w punkcie 1) równanie to przyjmie postać:

$$\frac{d^2\varphi}{dr^2} + \frac{2}{r} \frac{d\varphi}{dr} = -\frac{\rho}{\varepsilon}$$

Podstawiając  $\frac{d\varphi}{dr} = f(r)$ , otrzymamy równanie(\*):

$$\frac{df}{dr} + \frac{2}{r} f = -\frac{\rho}{\varepsilon}$$

Jest to równanie różniczkowe liniowe niejednorodne. Rozwiązanie ogólne równania jednorodnego otrzymaliśmy w punkcie 1). Uzmienniając stałą, uzyskamy:

$$f(r) = \frac{C(r)}{r^2}$$

stąd:

$$f'(r) = \frac{C'(r)}{r^2} - \frac{2C(r)}{r^3}$$

Podstawiając do równania(\*), otrzymamy:

$$C'(r) = -\frac{\rho r^2}{\varepsilon}$$

czyli:

$$C(r) = -\frac{\rho r^3}{3\varepsilon}$$

ostatecznie:

$$\varphi_2(r) = -\frac{\rho r^2}{6\varepsilon} - \frac{C_3}{r} + C_4$$

Ponieważ dla  $r = 0$  potencjał byłby nieokreślony, więc  $C_3 = 0$ , czyli:

$$\varphi_2(r) = -\frac{\rho r^2}{6\varepsilon} + C_4$$

Uwzględniając warunki brzegowe istnienia potencjału, czyli:

$$\begin{cases} \varphi_1(R) = \varphi_2(R) \\ \varphi_1'(R) = \varphi_2'(R) \end{cases}$$

otrzymamy:

$$C_1 = \frac{\rho R^3}{6\varepsilon}$$

$$C_4 = \frac{\rho R^2}{3\varepsilon}$$

skąd ostatecznie:

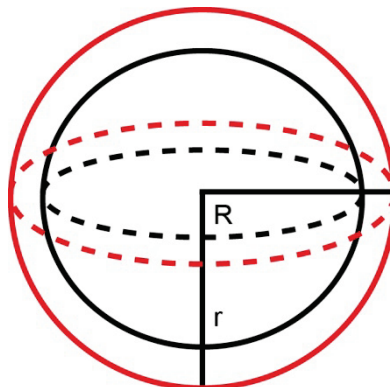
$$\varphi(r) = \begin{cases} \frac{\rho_V}{6\varepsilon}(3R^2 - r^2) & \text{dla } r < R \\ \frac{\rho_V R^3}{3\varepsilon r} & \text{dla } r > R \end{cases}$$

**Zadanie 10.** Znaleźć wektor indukcji  $\vec{D}$  i potencjał:

a) metalowej powierzchni sferycznej o promieniu  $R$ , naładowanej ładunkiem  $Q$  z równomiernie rozłożoną gęstością powierzchniową  $\rho_S$  (umieszczonej w próżni)

Rozwiązanie:

- 1) dla  $r < R$ :  $\vec{D} = 0$ , gdyż kula metalowa jest przewodnikiem
- 2) dla  $r > R$ :



Rys. 6.16. Naładowana kula (z uwzględnieniem powierzchni Gaussa)



Ze względu na symetrię i z prawa Gaussa otrzymamy:

$$4\pi r^2 D_r = 4\pi R^2 \rho_s$$

więc:

$$D_r = \frac{\rho_s R^2}{r^2}$$

Natężenie pola:

$$\vec{E} = \frac{\vec{D}}{\varepsilon_0}$$

dlatego:

$$E(r) = \begin{cases} 0 & \text{dla } r < R \\ \frac{\rho_s R^2}{\varepsilon_0 r^2} & \text{dla } r > R \end{cases}$$

Potencjał:

$$\varphi = - \int E(r) dr$$

więc dla  $r < R$ :

$$\varphi_1(r) = C_1$$

Dla  $r > R$ :

$$\varphi_2(r) = -\frac{\rho_s R^2}{\varepsilon_0} \int \frac{dr}{r^2} = \frac{\rho_s R^2}{\varepsilon_0 r} + C_2$$

Uwzględniając warunek ciągłości potencjału na powierzchni kuli, czyli:

$$\varphi_1(R) = \varphi_2(R)$$

mamy:

$$C_1 = \frac{\rho_s R}{\varepsilon_0} \qquad C_2 = 0$$

$$\varphi(r) = \begin{cases} \frac{\rho_s R}{\varepsilon_0} & \text{dla } r < R \\ \frac{\rho_s R^2}{\varepsilon_0 r} & \text{dla } r > R \end{cases}$$

- b) kuli metalowej o promieniu  $R$  naładowanej ładunkiem  $Q$  i umieszczonej w powietrzu ( $\varepsilon_w = 1$ )

Rozwiązanie:

Wykorzystując obliczenia z punktu a) dla  $Q = \rho_s |S|$ , czyli  $\rho_s = \frac{Q}{|S|} = \frac{Q}{4\pi R^2}$ ,

otrzymujemy:

$$E(r) = \begin{cases} 0 & \text{dla } r < R \\ \frac{Q}{4\pi r^2} & \text{dla } r > R \end{cases}$$

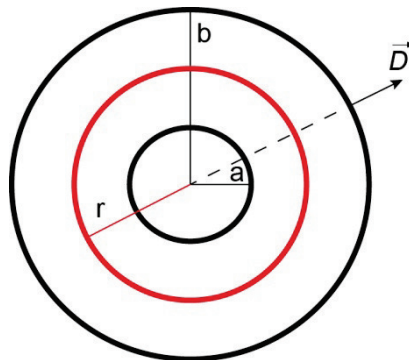
$$\varphi(r) = \begin{cases} \frac{Q}{4\pi R} & \text{dla } r < R \\ \frac{Q}{4\pi r} & \text{dla } r > R \end{cases}$$

**Zadanie 11.** Kondensator kulisty składa się z dwóch koncentrycznych okładek o promieniach  $a$  i  $b$ . Przestrzeń między okładkami jest wypełniona dielektrykiem o przenikalności dielektrycznej  $\varepsilon$ . Znaleźć pojemność kondensatora.

Rozwiązanie:

1) dla  $r < a$ :  $\vec{E} = 0$

2) dla  $a < r < b$ :



Rys. 6.17. Ilustracja do wyznaczania indukcji  $\vec{D}$  dla kuli otoczonej sferą

Ze względu na symetrię i z prawa Gaussa otrzymamy:

$$4\pi r^2 D_r = Q$$

stąd:

$$D_r = \frac{Q}{4\pi r^2}$$

Ponieważ:

$$\vec{D} = \varepsilon \vec{E}$$

to:

$$E_r = \frac{Q}{4\pi \varepsilon r^2}$$

I ostatecznie:

$$E_r = \frac{Q}{4\pi \varepsilon r^2}$$

Różnica potencjałów:

$$\varphi_2 - \varphi_1 = - \int_a^b \frac{Q}{4\pi \varepsilon r^2} dr = \frac{Q}{4\pi \varepsilon} \left( \frac{1}{b} - \frac{1}{a} \right)$$

Pojemność kondensatora:

$$C = \frac{4\pi \varepsilon ab}{b - a}$$

**Zadanie 12.** Znaleźć wektor natężenia pola oraz potencjał kuli o promieniu  $R_1$  naładowanej równomiernie ładunkiem  $Q_1$  (z gęstością  $\rho_V$ ) i otoczonej współśrodkową cieką powierzchnią kulistą o promieniu  $R_2$  i ładunku  $Q_2$  (z gęstością  $\rho_S$ ).

Rozwiązanie:

Pole wewnątrz naładowanego ciała jest równe zeru, a na zewnątrz – sumie ładunków, przy czym wektor natężenia jest skierowany do środka obu kul.

Z zadania 11 wynika, że:

$$\vec{E} = \begin{cases} 0 & \text{dla } r < R_1 \\ \frac{Q_1}{4\pi\epsilon_0 r^2} \vec{e}_r & \text{dla } r \in (R_1; R_2) \\ \frac{Q_1 + Q_2}{4\pi\epsilon_0 r^2} \vec{e}_r & \text{dla } r > R_2 \end{cases}$$

Stąd potencjał:

$$\varphi = - \int_L \vec{E} \circ d\vec{L}$$

będzie równy:

$$\varphi = \int_{R_1}^{R_2} \frac{Q_1}{4\pi\epsilon_0 r^2} dr + \frac{1}{4\pi\epsilon_0} \int_{R_2}^{\infty} \frac{Q_1 + Q_2}{r^2} dr = \frac{1}{4\pi\epsilon_0} \left( \frac{Q_1}{R_1} + \frac{Q_2}{R_2} \right)$$

**Zadanie 13.** W kuli dielektrycznej o promieniu  $R$  z ładunkiem rozłożonym równomiernie z gęstością  $\rho_V$  umieszczono wzdłuż średnicy nić metalową o ładunku liniowym o gęstości  $\rho_L$ . Znaleźć strumień wektora  $\vec{D}$  wypływający z kuli.

Rozwiązanie:

**Całkowity strumień pochodzący od wszystkich ładunków jest równy sumie strumieni od poszczególnych ładunków.**

Wobec tego:  $\Phi = \Phi_{\text{kuli}} + \Phi_{\text{nici}}$

Z twierdzenia Gaussa:

$$\Phi_{\text{kuli}} = \iiint_V \rho_V dV = \rho_V |V| = \frac{4}{3} \pi R^3 \rho_V$$

$$\Phi_{\text{nici}} = \int_L \rho_L dL = \rho_L \int_L dL = 2R\rho_L$$

więc:

$$\Phi = \frac{4}{3} \pi R^3 \rho_V + 2R\rho_L$$

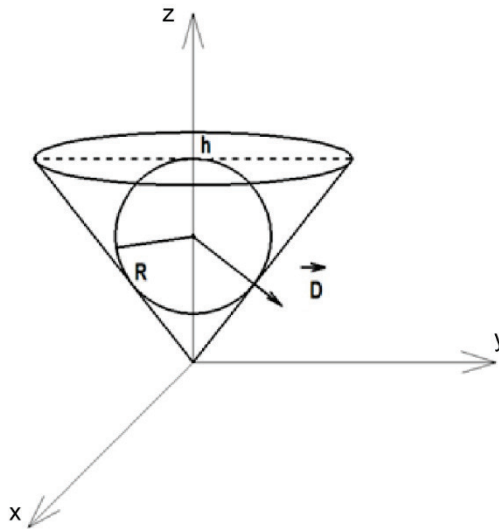
**Zadanie 14.** Na osi walca dielektrycznego o promieniu  $R$  i długości  $l$  (naładowanego ładunkiem  $Q$  z gęstością  $\rho_V$ ) znajduje się nić metalowa o tej samej długości, naładowana równomiernie ładunkiem liniowym (o gęstości  $\rho_L$ ). Znaleźć strumień wektora  $\vec{D}$  wypływający z walca na jednostkę długości.

Rozwiązanie:

Podobnie jak w zadaniu poprzednim, strumień:

$$\Phi = \Phi_{\text{walca}} + \Phi_{\text{nici}} = \pi r^2 l \rho_V + \rho_L l$$

**Zadanie 15.** Znaleźć strumień indukcji pola elektrostatycznego przez powierzchnię stożka  $\begin{cases} z = \sqrt{x^2 + y^2} \\ z = h \end{cases}$ , jeżeli kula wpisana w ten stożek posiada ładunek objętościowy  $\rho_V$ .



Rys. 6.18. Obliczanie strumienia indukcji przez powierzchnię stożka z wpisaną naładowaną kulą

Rozwiązanie:

Zgodnie z prawem Gaussa:

$$\Phi_E = \iint_S \vec{E} \cdot d\vec{S} = \frac{Q}{\epsilon}$$

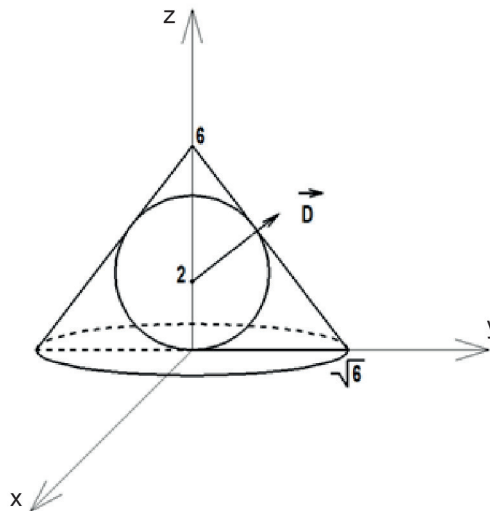
gdzie  $Q$  to całkowity ładunek w obszarze ograniczonym przez powierzchnię  $S$ .  
stąd:

$$\Phi_D = \iint_S \vec{D} \cdot d\vec{S} = \iiint_V \rho_V dV = \rho_V |V_{kuli}| = \frac{4}{3} \pi R^3 \rho_V$$

**Zadanie 16.** W stożku  $z - 6 = \sqrt{x^2 + y^2}$  znajduje się kula dielektryczna  $x^2 + y^2 + (z - 2)^2 = 4$ .

Znaleźć strumień indukcji  $\vec{D}$  wypływający:

- ze stożka (jeśli stożek i kula są naładowane ładunkiem o gęstości  $\rho_V$ ),
- z kuli naładowanej ładunkiem o gęstości  $\rho_V$ .



Rys. 6.19. Ilustracja do wyznaczania strumienia indukcji naładowanej kuli wpisanej w stożek

Rozwiązanie:

- a) Ponieważ w dielektryku  $\text{div } \vec{D} = \rho$ , więc zgodnie z twierdzeniem Gaussa:

$$\Phi_{st} = \iiint_V \rho_V dV = \rho_V |V| = 36\pi \rho_V$$

- b)

$$\Phi_k = \iiint_V \rho_V dV = \frac{4}{3}\pi 2^3 = \frac{32}{3}\pi \rho_V$$

## 6.5. Zadania z magnetostatyki

**Zadanie 1.** Znaleźć rozkład indukcji magnetycznej wewnątrz i na zewnątrz długiego, prostoliniowego przewodnika o przekroju kołowym i promieniu  $a$ , przez który płynie prąd stały  $I$ . Znaleźć cyrkulację wektora  $\vec{B}$  po dowolnym okręgu otaczającym przewódnik:

Rozwiązanie:

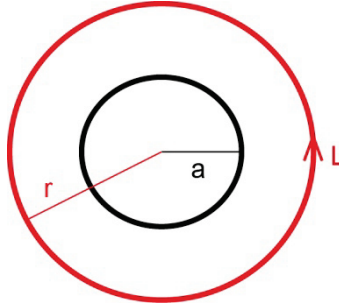
Linie pola magnetycznego są koncentrycznymi okręgami położonymi w płaszczyźnie prostopadłej do przewodu:

- 1) Z prawa Ampere'a:

$$\oint_L \vec{B} \circ d\vec{L} = \mu_0 I_c$$

gdzie  $I_c$  to całkowity prąd otoczony konturem Ampere'a.

Dla  $r > a$ :



Rys. 6.20. Ilustracja do wyznaczania indukcji pola magnetycznego przewodnika kołowego (z konturem Ampere'a zaznaczonym kolorem czerwonym)

Ze względu na symetrię linii pola:

$$\oint_L B_r dL = B_r \int_L dL = B_r |L| = 2\pi r B_r = \mu_0 I$$

stąd:

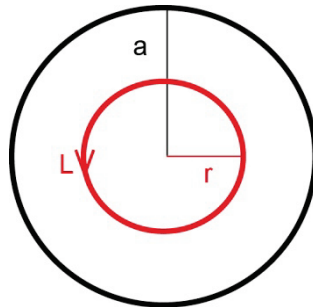
$$B_r = \frac{\mu_0 I}{2\pi r}$$

$$\vec{B} = \frac{\mu_0 I}{2\pi r} \vec{e}_\varphi$$

więc cyrkulacja:

$$\oint_L \vec{B} \circ d\vec{L} = \frac{\mu_0 I}{2\pi} \oint_L \frac{\vec{e}_\varphi}{r} \circ (dr\vec{e}_r + r d\varphi \vec{e}_\varphi + dz\vec{e}_z) = \frac{\mu_0 I}{2\pi} \int_0^{2\pi} d\varphi = \mu_0 I$$

2) Dla  $r < a$ :



Rys. 6.21. Obliczanie indukcji pola magnetycznego przewodnika kołowego (z uwzględnieniem konturu Ampere'a)

W tym przypadku kontur Ampere'a nie obejmuje całego prądu  $I$ , więc korzystamy z twierdzenia Stokesa:

$$\oint_L \vec{B} \circ d\vec{L} = \iint_S \text{rot } \vec{B} \circ d\vec{S} = \iint_S \mu_0 \vec{j} \circ d\vec{S}$$

gdzie  $S$  to powierzchnia, której brzegiem jest linia  $L$ .

Ponieważ:

$$\vec{j} = \frac{I}{|S|} = \frac{I}{\pi a^2}$$

oraz:

$$\oint_L \vec{B} \circ d\vec{L} = \int_L B_r dL$$

więc:

$$\int_L B_r dL = \frac{\mu_0 I}{\pi a^2} \iint_S dS$$

$$B_r 2\pi r = \frac{\mu_0 I \pi r^2}{\pi a^2}$$

stąd:

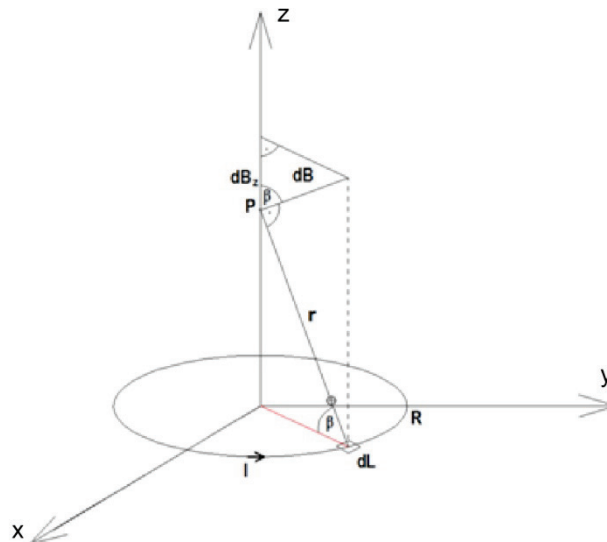
$$B_r = \frac{\mu_0 I r}{2\pi a^2}$$

$$\text{Cyrkulacja} = \frac{\mu_0 I r^2}{a^2}$$

Po linii zamkniętej  $L$  nieotaczającej przewodnika cyrkulacja jest równa zero.

**Zadanie 2.** Znaleźć indukcję pola magnetycznego zwoju kołowego o promieniu  $R$  z prądem  $I$ :

- w punktach położonych na osi symetrii przewodnika (oś  $Oz$ ),
- w punkcie  $O(0,0,0)$ .



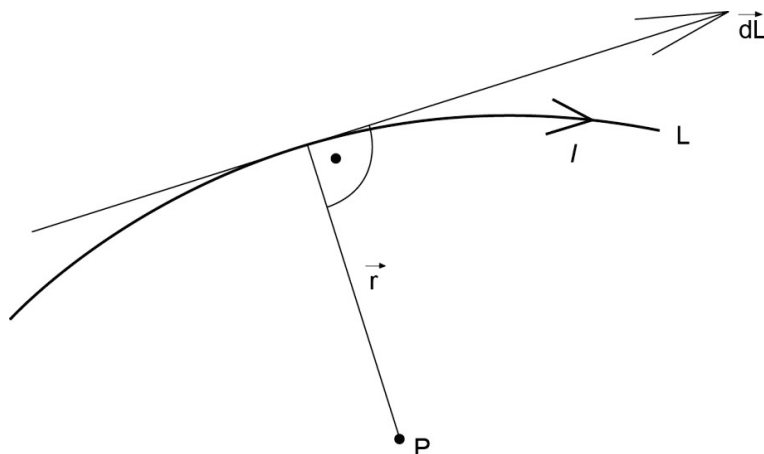
Rys. 6.22. Ilustracja do wyznaczania natężenia pola magnetycznego  $\vec{B}$  prądu kołowego

Rozwiązanie:

- Zgodnie z prawem Biota-Savarta:

$$d\vec{B} = \frac{I\mu}{4\pi} \frac{(d\vec{L} \times \vec{r})}{r^3}$$

gdzie:  $d\vec{L}$  – wektor styczny do elementu  $dL$  przewodu, przez który płynie prąd  $I$ ;  
 $\vec{r}$  – wektor łączący  $dL$  z punktem obserwacji  $P$  (rys. 6.23).



Rys. 6.23. Interpretacja geometryczna prawa Biota-Savarta

Ponieważ długość wektora  $d\vec{L} \times \vec{r}$  jest równa:

$$|d\vec{L} \times \vec{r}| = r dL \sin \alpha(d\vec{L}, \vec{r})$$

zatem prawo Biota-Savarta można zapisać w postaci:

$$dB = \frac{I\mu dL \sin \alpha}{4\pi r^2}$$

gdzie  $\alpha = \alpha(d\vec{L}, \vec{r}) = \frac{\pi}{2}$ .

Stąd:

$$dB = \frac{I\mu dL}{4\pi r^2}$$

Z definicji iloczynu wektorowego wynika, że  $d\vec{B} \perp \vec{r}$  (rys. 6.22), wobec tego:

$$dB_z = dB \cos \beta$$

Ponieważ:

$$\cos \beta = \frac{R}{r}$$

więc:

$$dB_z = \frac{I\mu R dL}{4\pi r^3}$$

gdzie  $r = \sqrt{z^2 + R^2}$  (rys. 6.22).



$$B_z = \frac{I\mu R}{4\pi(\sqrt{z^2 + R^2})^3} \int_L dL = \frac{I\mu R}{4\pi(\sqrt{z^2 + R^2})^3} 2\pi R = \frac{I\mu R^2}{2(\sqrt{z^2 + R^2})^3}$$

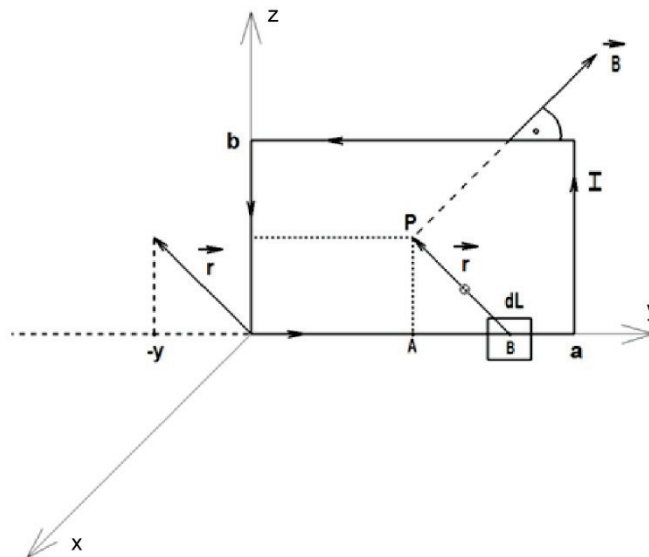
b) W środku obwodu kołowego  $z = 0$ , więc korzystając z wyniku uzyskanego w podpunkcie a):

$$B = \frac{I\mu}{2R}$$

**Zadanie 3.** Przez długi przewód w kształcie prostokąta płynie prąd stały  $I$ . Znaleźć wektor indukcji magnetycznej w środku prostokąta.

Rozwiązanie:

Załóżmy, że prostokąt w układzie Oxyz jest położony zgodnie z rysunkiem:



Rys. 6.24. Ilustracja do wyznaczenia pola  $\vec{B}$  prostokątnego przewodu z prądem

$$A = \left(0; \frac{a}{2}; 0\right) \quad B = (0; y; 0)$$

$$P = \left(0; \frac{a}{2}; \frac{b}{2}\right) \quad |AP| = \frac{b}{2}$$

$$d\vec{L} = [0; dy; 0]$$

$$\vec{r} = \left[0; -y; \frac{b}{2}\right]$$

$$d\vec{L} \times \vec{r} = \begin{vmatrix} \vec{e}_x & \vec{e}_y & \vec{e}_z \\ 0 & dy & 0 \\ 0 & -y & \frac{b}{2} \end{vmatrix} = \frac{b}{2} dy \vec{e}_x$$

Z prawa Biota-Savarta wynika, że indukcja magnetyczna po odcinku OA (o długości  $\frac{a}{2}$ ):

$$B_{\frac{a}{2}} = \frac{I\mu}{4\pi} \int_0^{\frac{a}{2}} \frac{\frac{b}{2} dy}{\left(\sqrt{y^2 + \frac{b^2}{4}}\right)^3} = -\frac{I\mu b}{4\pi 2} \left[ \frac{4}{b^2} \frac{y}{\sqrt{y^2 + \frac{b^2}{4}}} \right]_0^{\frac{a}{2}} = \frac{\mu I a}{2\pi b \sqrt{a^2 + b^2}}$$

Stąd po całym boku o długości  $a$ :

$$B_a = \frac{\mu I a}{\pi b \sqrt{a^2 + b^2}}$$

Analogicznie rozumując, po boku o długości  $b$  otrzymamy:

$$B_b = \frac{\mu I b}{\pi a \sqrt{a^2 + b^2}}$$

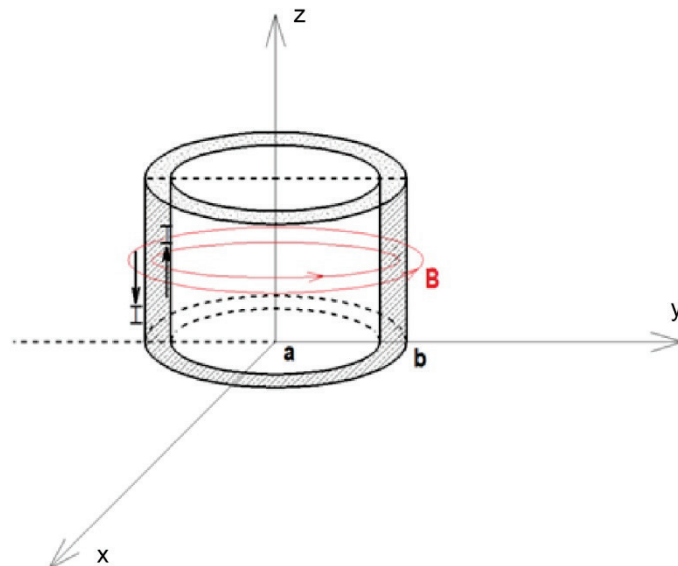
Uwzględniając przepływ prądu po całym obwodzie prostokąta, otrzymamy ostatecznie:

$$B = \frac{\mu I}{\pi \sqrt{a^2 + b^2}} \left( \frac{2a}{b} + \frac{2b}{a} \right) = \frac{2\mu I \sqrt{a^2 + b^2}}{\pi a b}$$

Przy czym:

$$\vec{B} = B \vec{e}_x$$

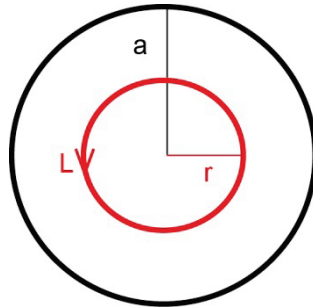
**Zadanie 4.** Przez długi kabel koncentryczny z cienkościennym ekranem wewnątrz żyły o promieniu  $a$  (o przekroju kołowym) płynie prąd  $I$  i wraca po powierzchni ekranu o promieniu  $b$  ( $b \ll a$ ). Znaleźć rozkład natężenia pola magnetycznego (i indukcji magnetycznej) w kablu oraz strumień przepływający przez wnętrze kabla na jednostkę długości.



Rys. 6.25. Ilustracja do wyznaczania natężenia pola magnetycznego kabla koncentrycznego z prądem

Rozwiązanie:

1) Dla  $r < a$ :



Rys. 6.26. Przekrój poprzeczny drutu (z uwzględnieniem konturu Ampere'a)

Ze względu na symetrię walcową możemy zastosować prawo przepływu:

$$\oint_L \vec{H} \circ d\vec{L} = \iint_S \vec{j} \circ d\vec{S} = I_c$$

$$H_r |L| = J |S| = \frac{I |S|}{|S_1|}$$

gdzie:  $|S|$  – pole powierzchni ograniczonej linią  $L$ ;  $|S_1|$  – pole powierzchni, przez którą przepływa prąd  $I$ .

Stąd:

$$H_r 2\pi r = \frac{I\pi r^2}{\pi a^2} = \frac{I r^2}{a^2}$$

$$H_r = \frac{I r}{2\pi a^2}$$

2) Dla  $r \in (a, b)$ :

$$H_r 2\pi r = I \quad \text{stąd:} \quad H_r = \frac{I}{2\pi r}$$

Ponieważ  $\vec{B} = \mu_0 \vec{H}$ , więc:

$$\vec{B} = \frac{\mu_0 I}{2\pi r} \vec{e}_\varphi$$

3) Dla  $r > b$ :

$$H = 0, \text{ gdyż } I_c = I_{wewn} - I_{zewn} = 0$$

Strumień wektora  $\vec{B}$  przez wnętrze kabla o długości  $l$  na mocy definicji jest równy:

$$\Phi_B = \iint_S \vec{B} \circ d\vec{S}$$

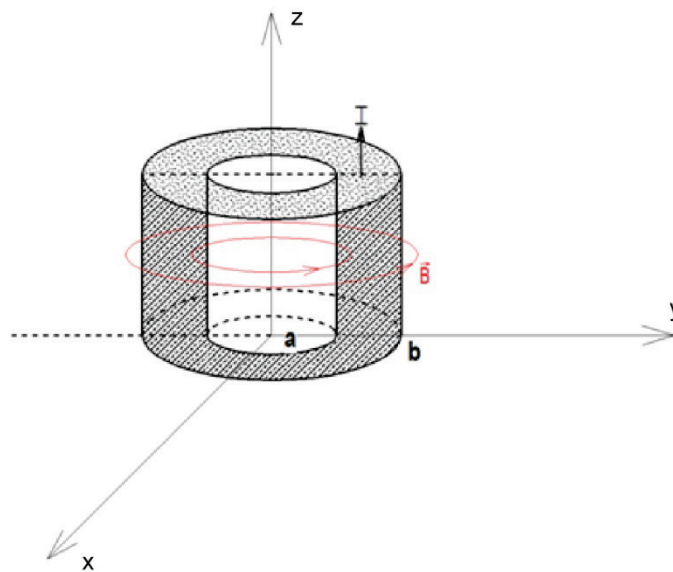
Ponieważ we współrzędnych walcowych:

$$d\vec{S} = r d\varphi dz \vec{e}_r + dr dz \vec{e}_\varphi + r dr d\varphi \vec{e}_z$$

więc:

$$\Phi_B = \iint_S \frac{\mu_0 I}{2\pi r} dr dz = \int_0^l dz \int_a^b \frac{\mu_0 I l}{2\pi r} dr = \frac{\mu_0 I l}{2\pi} \ln \frac{b}{a}$$

**Zadanie 5.** Znaleźć rozkład natężenia pola magnetycznego w długim kablu w kształcie rury o promieniu wewnętrznym  $a$  i zewnętrznym  $b$ , w którym płynie prąd stały  $I$ .



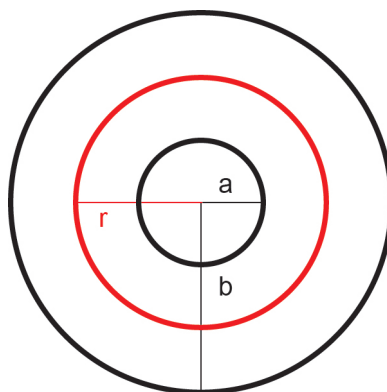
Rys. 6.27. Ilustracja do wyznaczania pola magnetycznego rury z prądem

Rozwiązanie:

1) Dla  $r < a$ :

$H = 0$ , gdyż brak jest przepływu prądu (wydrążenie)

2) Dla  $a < r < b$ :



Rys. 6.28. Przekrój poprzeczny rury (z uwzględnieniem konturu Ampere'a)

Zgodnie z prawem przepływu:

$$H_r 2\pi r = J(\pi r^2 - \pi a^2)$$

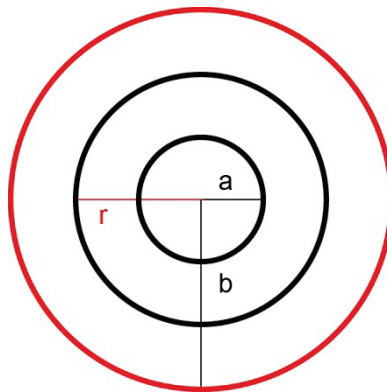
$$J = \frac{I}{\pi(b^2 - a^2)}$$

(gdyż linia  $L$  obejmuje część prądu)

więc:

$$H_r = \frac{I(r^2 - a^2)}{2\pi r(b^2 - a^2)}$$

3) Dla  $r > b$ :



Rys. 6.29. Przekrój poprzeczny rury (z uwzględnieniem konturu Ampere'a)

$$H_r 2\pi r = I$$

(gdyż linia  $L$  obejmuje cały prąd)

$$\text{stąd: } H_r = \frac{I}{2\pi r}$$

**Zadanie 6.** Wykazać, że indukcja pola magnetycznego wewnątrz jednorodnie naładowanej sfery o promieniu  $R = 1$ , obracającej się wokół osi  $Oz$  ze stałą prędkością kątową  $\omega$ , jest równa:

$$\vec{B} = \frac{\mu_0 Q \omega}{6\pi} \vec{e}_z$$

wiedząc, że potencjał wektorowy:

$$\vec{A} = \frac{\mu_0 Q}{12\pi} (\vec{\omega} \times \vec{r})$$

Rozwiązanie:

Ponieważ:

$$\vec{\omega} \times \vec{r} = \begin{vmatrix} \vec{e}_x & \vec{e}_y & \vec{e}_z \\ 0 & 0 & \omega \\ x & y & z \end{vmatrix} = -y\omega \vec{e}_x + x\omega \vec{e}_y$$

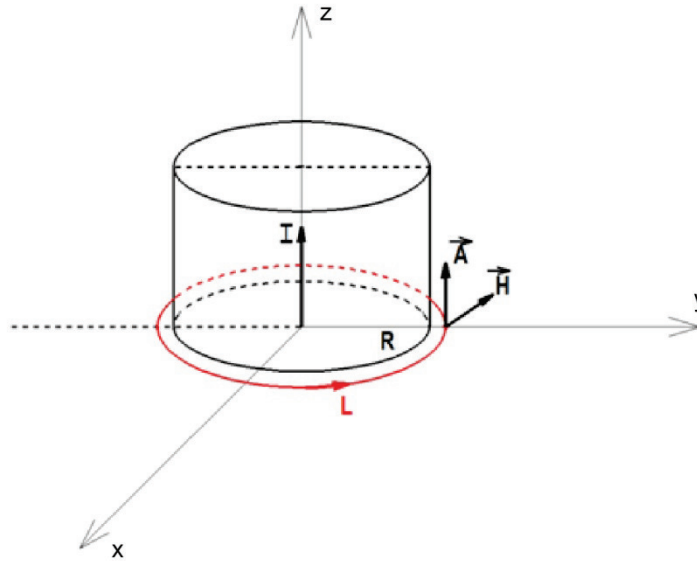
więc:

$$\text{rot} (\vec{\omega} \times \vec{r}) = 2\omega \vec{e}_z$$

$$\vec{B} = \text{rot} \vec{A} = \frac{\mu_0 Q \omega}{6\pi} \vec{e}_z$$

**Zadanie 7.** Prąd stały  $I$  płynący przez nieskończony, prostoliniowy przewodnik walcowy o promieniu  $R$  i osi pokrywającej się z osią  $Oz$  wytwarza pole magnetyczne  $\vec{H}$ .

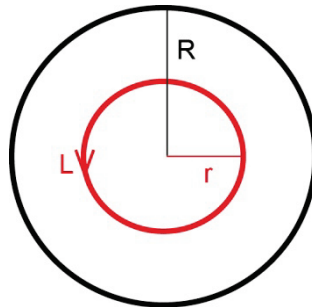
- Podać rozkład tego pola, jeżeli prąd płynie równomiernie w całym przewodniku.
- Podać rozkład tego pola, jeżeli prąd płynie tylko po powierzchni przewodnika.
- Znaleźć potencjał wektorowy, jeżeli prąd płynie równomiernie w całym przewodniku.



Rys. 6.30. Ilustracja do wyznaczania pola  $\vec{H}$  przewodnika walcowego z prądem

Rozwiązanie:

- 1) Dla  $r < R$ :



Rys. 6.31. Przekrój poprzeczny walca (z uwzględnieniem konturu Ampere'a)

Z twierdzenia Stokesa:

$$\oint_L \vec{H} \circ d\vec{L} = \iint_S \text{rot } \vec{H} \circ d\vec{S} = \iint_S \vec{j} \circ d\vec{S}$$

$$H 2\pi r = J \pi r^2$$

stąd:

$$H = \frac{rJ}{2}$$

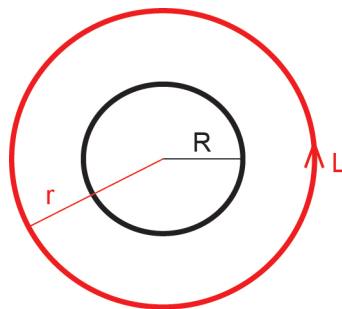
Ponieważ:

$$J = \frac{I}{|S|} = \frac{I}{\pi R^2}$$

więc:

$$H = \frac{Ir}{2\pi R^2}$$

2) Dla  $r > R$ :



Rys. 6.32. Przekrój poprzeczny walca (z uwzględnieniem konturu Ampere'a)

$$H2\pi r = J\pi R^2$$

stąd:

$$H = \frac{R^2 J}{2r} = \frac{I}{2\pi r}$$

ale:  $\vec{B} = \mu_0 \vec{H}$

więc:

$$\vec{B} = \begin{cases} \frac{\mu_0 I r}{2\pi R^2} \vec{e}_\varphi & \text{dla } r < R \\ \frac{\mu_0 I}{2\pi r} \vec{e}_\varphi & \text{dla } r > R \end{cases}$$

- b) Jeżeli prąd płynie tylko po powierzchni walca, to pole dla  $r > R$  jest identyczne jak w punkcie a), podpunkt 2), natomiast dla  $r < R$   $H = 0$ , gdyż linia  $L$  nie obejmuje prądu  $I$ .
- c) Ponieważ  $\text{rot } \vec{A} = \vec{B}$  we współrzędnych walcowych ma postać:

$$\text{rot } \vec{A} = \begin{vmatrix} \vec{e}_r & \vec{e}_\varphi & \vec{e}_z \\ \frac{\partial}{\partial r} & \frac{\partial}{\partial \varphi} & \frac{\partial}{\partial z} \\ A_r & rA_\varphi & A_z \end{vmatrix}$$

oraz:

$$A_r = A_\varphi = 0$$

więc:

$$\text{rot } A = \frac{\partial A_z}{\partial \varphi} \vec{e}_r - \frac{\partial A_z}{\partial r} \vec{e}_\varphi$$

Ponadto:

$$\vec{B} = B(r)\vec{e}_\varphi$$

stąd:

$$-\frac{\partial A_r}{\partial r} = \begin{cases} \frac{\mu_0 I r}{2\pi R^2} & \text{dla } r < R \\ \frac{\mu_0 I}{2\pi r} & \text{dla } r > R \end{cases}$$

Po scałkowaniu otrzymamy:

$$A_z = \begin{cases} -\frac{\mu_0 I}{4\pi} \left(\frac{r}{R}\right)^2 + C_1 & \text{dla } r < R \\ -\frac{\mu_0 I}{2\pi} \ln r + C_2 & \text{dla } r > R \end{cases}$$

Z ciągłości potencjału (dla  $r = R$ ) wynika, że obierając np.  $C_1 = 0$ :

$$C_2 = -\frac{\mu_0 I}{4\pi} - \frac{\mu_0 I}{2\pi} \ln R$$

więc ostatecznie:

$$A_z = \begin{cases} -\frac{\mu_0 I}{4\pi} \left(\frac{r}{R}\right)^2 & \text{dla } r \leq R \\ \frac{\mu_0 I}{2\pi} \ln \frac{r}{R} - \frac{\mu_0 I}{4\pi} & \text{dla } r > R \end{cases}$$

## 6.6. Zadania z elektromagnetyzmu

**Zadanie 1.** Wyprowadzić równania falowe dla fal elektromagnetycznych w próżni, czyli równania postaci:

$$\left. \begin{aligned} \Delta \vec{E} &= \frac{1}{c^2} \frac{\partial^2 \vec{E}}{\partial t^2} \\ \Delta \vec{B} &= \frac{1}{c^2} \frac{\partial^2 \vec{B}}{\partial t^2} \end{aligned} \right\}$$

gdzie  $C = \frac{1}{\sqrt{\mu_0 \epsilon_0}}$  jest prędkością rozchodzenia się fal elektromagnetycznych w próżni.

Rozwiązanie:

Z równań Maxwella mamy:

$$\begin{aligned} \operatorname{div} \vec{E} &= 0 & \operatorname{div} \vec{B} &= 0 \\ \operatorname{rot} \vec{E} &= -\frac{\partial \vec{B}}{\partial t} & \operatorname{rot} \vec{B} &= \mu_0 \epsilon_0 \frac{\partial \vec{E}}{\partial t} \end{aligned}$$

Ponieważ:

- 1)  $\operatorname{rot}(\operatorname{rot} \vec{E}) = \nabla \times (\nabla \times \vec{E}) = \nabla(\nabla \cdot \vec{E}) - (\nabla \times \nabla) \vec{E} = \operatorname{grad}(\operatorname{div} \vec{E}) - \Delta \vec{E} = -\Delta \vec{E}$
- 2)  $\operatorname{rot}\left(-\frac{\partial \vec{B}}{\partial t}\right) = -\frac{\partial}{\partial t}(\operatorname{rot} \vec{B}) = -\frac{\partial}{\partial t}(\mu_0 \epsilon_0 \frac{\partial \vec{E}}{\partial t}) = -\mu_0 \epsilon_0 \frac{\partial^2 \vec{E}}{\partial t^2}$

więc z równań 1) i 2) otrzymujemy równanie falowe pola  $\vec{E}$ :



$$\Delta \vec{E} = \mu_0 \varepsilon_0 \frac{\partial^2 \vec{E}}{\partial t^2}$$

Podobnie:

$$\text{rot}(\text{rot } \vec{B}) = \text{grad}(\text{div } \vec{B}) - \Delta \vec{B} = -\Delta \vec{B}$$

oraz:

$$\text{rot} \left( \mu_0 \varepsilon_0 \frac{\partial \vec{E}}{\partial t} \right) = \mu_0 \varepsilon_0 \frac{\partial}{\partial t} (\text{rot } \vec{E}) = \mu_0 \varepsilon_0 \frac{\partial}{\partial t} \left( -\frac{\partial \vec{B}}{\partial t} \right) = -\mu_0 \varepsilon_0 \frac{\partial^2 \vec{B}}{\partial t^2}$$

stąd równanie falowe pola  $\vec{B}$ :

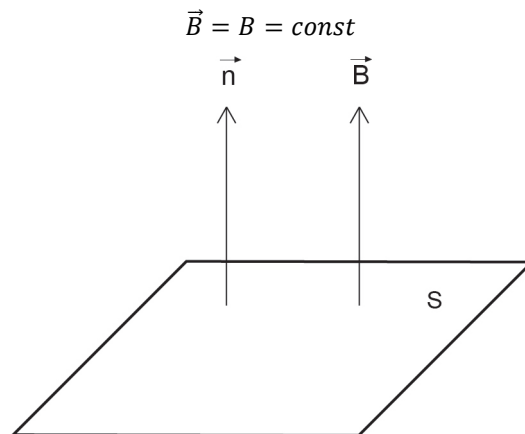
$$\Delta \vec{B} = \mu_0 \varepsilon_0 \frac{\partial^2 \vec{B}}{\partial t^2}$$

#### Uwaga

Nie każde rozwiązanie równań falowych spełnia automatycznie równania Maxwella.

**Zadanie 2.** Płaska ramka o powierzchni  $S$  znajduje się w jednorodnym polu magnetycznym. W chwili początkowej ramka jest położona prostopadłe do linii pola.

a) Znaleźć strumień magnetyczny przenikający ramkę, jeżeli:



Rys. 6.33. Położenie wektora normalnego i wektora indukcji magnetycznej  $\vec{B}$

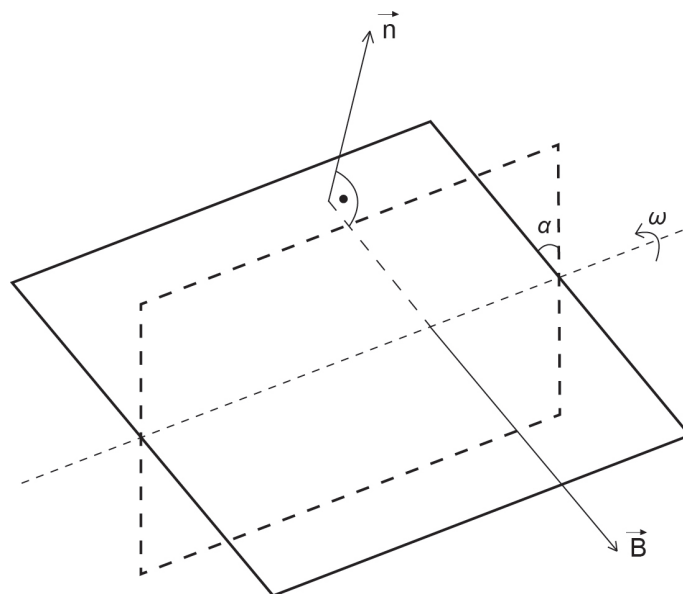
Rozwiązanie:

Strumień indukcji magnetycznej przechodzący przez powierzchnię  $S$  jest równy:

$$\Phi_0 = \iint_S \vec{B} \circ d\vec{S} = \iint_S B \vec{e}_B \circ \vec{e}_n dS = B \iint_S dS = BS$$

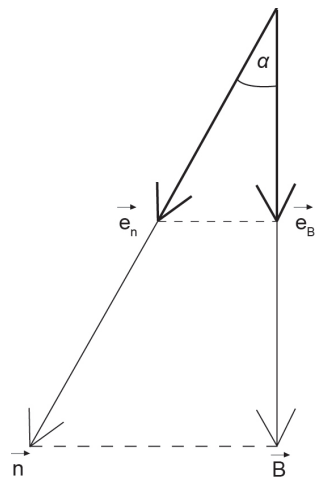
gdzie  $S$  to pole powierzchni ograniczonej ramką.

b) Znaleźć siłę elektromotoryczną zaindukowaną w ramce, jeżeli ramka obraca się jednostajnie z prędkością kątową  $\omega$  wokół osi symetrii, prostopadłej do linii pola:



Rys. 6.34. Obrót ramki wokół osi symetrii

Rozwiązanie:

Rys. 6.35. Kąt między wektorami  $\vec{n}$  oraz  $\vec{B}$  po obrocie ramki

$$\vec{e}_B \circ \vec{e}_n = \cos \alpha$$

stąd:

$$\Phi = \iint_S B(\vec{e}_B \circ \vec{e}_n) dS = B \iint_S |\vec{e}_B| |\vec{e}_n| \cos \alpha dS = \iint_S B \cos \alpha dS = B|S| \cos \alpha$$

Ponieważ  $\alpha = \omega t$ , więc:

$$\Phi = BS \cos \omega t = \Phi_0 \cos \omega t$$

Na mocy prawa Faradaya siła elektromotoryczna zaindukowana w ramce jest równa prędkości zmian strumienia magnetycznego, czyli:

$$e(t) = -\frac{d\Phi}{dt} = BS\omega \sin \omega t = \Phi_0 \omega \sin \omega t$$

Największa wartość SEM (dla  $\omega t = \frac{\pi}{2} + 2k\pi$ ) wynosi:

$$e_m(t) = \omega \Phi_0$$

wartość skuteczna  $e_{sk}(t)$  dla  $\omega t = \frac{\pi}{4} + 2k\pi$  wynosi zaś:

$$e_{sk}(t) = \frac{\sqrt{2}}{2} \omega \Phi_0$$

- c) Obliczyć siłę elektromotoryczną zaindukowaną w ramce, jeżeli pole  $\vec{B}$  jest zmienne (zależne od czasu), np.  $\vec{B} = B_0 \vec{e}_B \sin \omega t$ .

Rozwiązanie:  
ponieważ:

$$e(t) = -\frac{d\Phi}{dt}$$

oraz:

$$\Phi = B_0 S \sin \omega t \cos \omega t$$

więc:

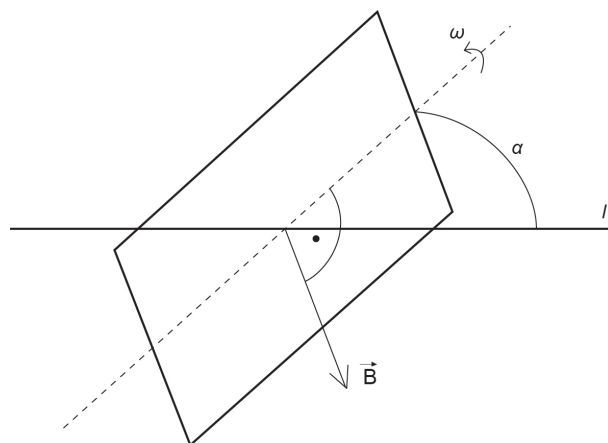
$$e(t) = -\frac{d}{dt} [B_0 S \sin \omega t \cos \omega t] = -\omega B S \cos 2\omega t$$

- d) Obliczyć  $e(t)$  zaindukowaną w ramce, jeżeli w chwili  $t = 0$  ramka tworzy z prostą  $l$  kąt  $\alpha$  (rys. 6.36) i wiruje z prędkością  $n$  obrotów w jednostce czasu, czyli w chwili  $t = 0$  tworzy kąt  $\omega t + \alpha$  (gdzie  $\omega = 2\pi n$ ).

Rozwiązanie:

$$\Phi = BS \cos(\omega t + \alpha)$$

$$e(t) = BS\omega \sin(\omega t + \alpha)$$



Rys. 6.36. Ilustracja do wyznaczania strumienia magnetycznego przenikającego ramkę nachyloną do poziomu pod kątem  $\alpha$

**Uwaga**

Siła elektromotoryczna zaindukowana w ramce jest niezależna od położenia osi obrotu, którą może być np. symetralna ramki, jeden z boków lub prosta równoległa do boku, pod warunkiem jednak, że oś obrotu jest prostopadła do linii pola. SEM jest zaindukowana w bokach, które podczas obrotu przecinają linie pola.

**Zadanie 3.** Ramka o  $z$  zwojach i powierzchni  $S$  wiruje z prędkością kątową  $\omega$  w zmiennym polu magnetycznym o indukcji  $B = B_0 \sin \beta t$ . Znaleźć SEM zaindukowaną w ramce.

Rozwiązanie:

Z zadania 2 wynika, że  $\Phi = BS \cos \alpha$ , czyli  $\Phi = B_0 S \cos \alpha \sin \beta t$ . Siła elektromotoryczna jest równa sumie SEM rotacji i SEM transformacji. SEM transformacji jest wywołana zmianą strumienia magnetycznego przepływającego przez nieruchomą ramkę i wynika ze zmian czasowych pola:

$$SEM_T = -z \frac{d\Phi}{dt} = -z B_0 \beta \cos \alpha \sin \beta t$$

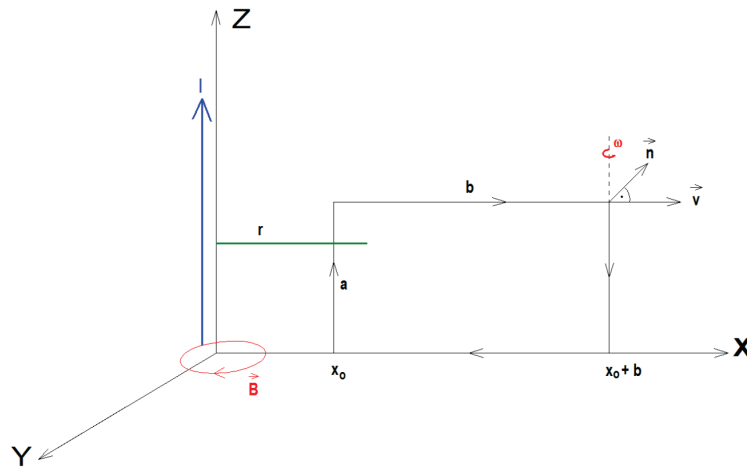
SEM rotacji wynika z obrotu ramki w polu magnetycznym (przy czym  $\alpha = \omega t$ ):

$$SEM_{rot} = -z \frac{d\Phi}{d\alpha} \frac{d\alpha}{dt} = z \omega B_0 S \sin \omega t \sin \beta t$$

Ostatecznie:

$$e(t) = -z B_0 S [\beta \cos \omega t \cos \beta t - \omega \sin \omega t \sin \beta t]$$

**Zadanie 4.** W odległości  $x_0$  od długiego przewodu z prądem  $I$  znajduje się prostokątna ramka (rysunek 6.37).



Rys. 6.37. Ilustracja do wyznaczenia pola  $\vec{B}$  prostokątnej ramki

Znaleźć:

- a) strumień magnetyczny przenikający ramkę, jeżeli prąd  $I$  jest stały

Rozwiązanie:

Wokół przewodu z prądem w punktach odległych o  $r$  od przewodu pole  $\vec{B}$  ma postać:

$$\vec{B} = \frac{\mu I}{2\pi r} \vec{e}_\varphi$$

Ponieważ we współrzędnych walcowych:

$$d\vec{S} = rd\varphi dz \vec{e}_r + dr dz \vec{e}_\varphi + r dr d\varphi \vec{e}_z$$

więc:

$$\vec{B} \circ d\vec{S} = \frac{\mu I}{2\pi r} dr dz$$

stąd:

$$\Phi = \frac{\mu I}{2\pi} \int_0^a dz \int_{x_0}^{x_0+b} \frac{dr}{r} = \frac{\mu I a}{2\pi} \ln \frac{x_0 + b}{x_0}$$

b) SEM zaindukowaną w ramce, jeżeli ramka porusza się z prędkością liniową  $v$  w kierunku  $O_{x_+}$

Rozwiązanie:

W chwili  $t = 0$  ramka jest odległa od przewodu o  $x_0$ , w  $t \neq 0$  odległość wynosi  $x = x_0 + vt$ .

W punktach odległych o  $x$  od przewodu pole magnetyczne ma postać:

$$\vec{B} = \frac{\mu I}{2\pi x}$$

*I metoda*

$$\Phi = \int_0^a dz \int_{x_0+vt}^{x_0+b+vt} \frac{\mu I}{2\pi x} dx = \frac{\mu I a}{2\pi} \ln \frac{x_0 + b + vt}{x_0 + vt}$$

stąd:

$$\begin{aligned} \text{SEM} &= -\frac{\mu I a}{2\pi} \frac{d}{dt} \left[ \ln \frac{x_0 + b + vt}{x_0 + vt} \right] = \\ &= \frac{\mu I a b v}{2\pi (x_0 + vt)(x_0 + b + vt)} \end{aligned}$$

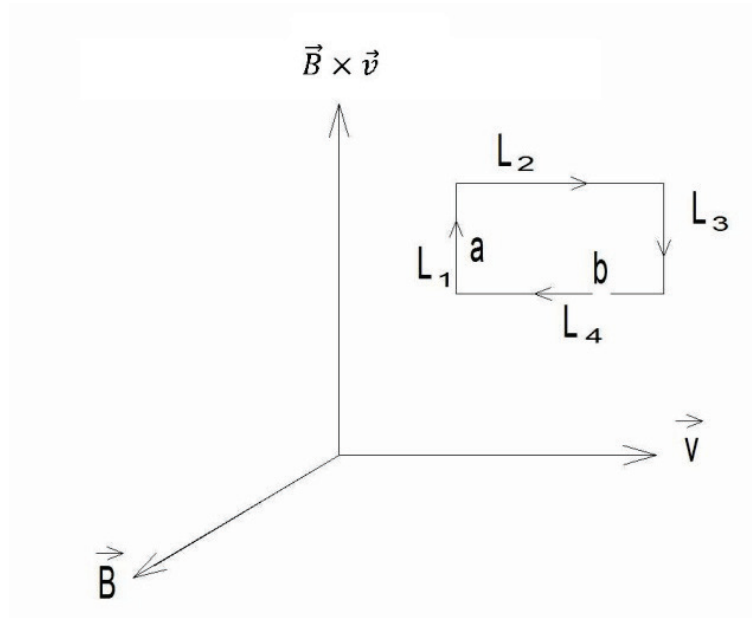
*II metoda*

Zgodnie ze wzorem Lorentza:

$$\text{SEM} = - \int_L (\vec{v} \times \vec{B}) \circ d\vec{L} = - \int_L v B dL$$

gdyż:

$$\begin{aligned} (\vec{v} \times \vec{B}) \circ d\vec{L} &= |\vec{v} \times \vec{B}| |d\vec{L}| \cos \alpha(\vec{v} \times \vec{B}, d\vec{L}) = \\ &= |\vec{B}| |\vec{v}| dL \sin \alpha(\vec{B}, \vec{v}) \cos \alpha(\vec{v} \times \vec{B}, d\vec{L}) = B v dL \end{aligned}$$



Rys. 6.38. Ilustracja do wyznaczania SEM zaindukowanej w ramce (ze wzoru Lorentza)

Całki po  $L_2$  i  $L_4$  są równe zero, gdyż boki  $L_2$  i  $L_4$  są prostopadłe do wektora  $\vec{v} \times \vec{B}$ .

$$L_1: \begin{cases} x = x_0 + vt \\ z = \tau \\ dL = d\tau \end{cases}$$

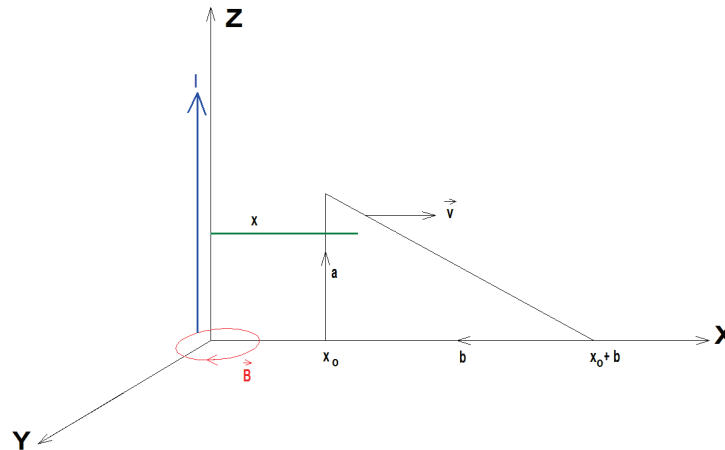
$$L_2: \begin{cases} x = x_0 + b + vt \\ z = \tau \end{cases}$$

$$\int_{L_1} Bv dL = \frac{\mu Iv}{2\pi} \int_0^a \frac{d\tau}{x_0 + vt} = \frac{\mu Iva}{2\pi(x_0 + vt)}$$

$$\int_{L_3} Bv dL = \frac{\mu Iv}{2\pi} \int_a^0 \frac{d\tau}{x_0 + b + vt} = \frac{-\mu Iva}{2\pi(x_0 + b + vt)}$$

$$\text{SEM} = - \left[ \int_{L_1} Bv dL + \int_{L_3} Bv dL \right] = \frac{\mu Iabv}{2\pi(x_0 + vt)(x_0 + b + vt)}$$

**Zadanie 5.** Ramka w kształcie trójkąta znajduje się w odległości  $x_0$  od długiego przewodu z prądem  $I$  (jak na rys. 6.39) i leży w płaszczyźnie przewodu.



Rys. 6.39. Ilustracja do wyznaczania pola  $\vec{B}$  trójkątnej ramki

Znaleźć:

- a) strumień przenikający ramkę, jeżeli prąd jest stały, a ramka się nie obraca

Rozwiązanie:

W punktach odległych o  $x$  od przewodu pole magnetyczne ma postać:

$$B = \frac{\mu I}{2\pi x}$$

$$\vec{B} \circ d\vec{S} = \frac{\mu I}{2\pi x} dx dz$$

Ponieważ powierzchnię  $S$  można przedstawić w postaci:

$$S: \begin{cases} z = -\frac{a}{b}(x - x_0 - b) \\ y = 0 \end{cases}$$

więc:

$$\Phi = \frac{\mu I}{2\pi} \int_{x_0}^{x_0+b} \frac{dx}{x} \int_0^{-\frac{a}{b}(x-x_0-b)} dz = \frac{\mu I a}{2\pi b} \int_{x_0}^{x_0+b} \frac{x_0 + b - x}{x} dx = \frac{\mu I a}{2\pi b} \left[ (x_0 + b) \ln \frac{x_0 + b}{x_0} - b \right]$$

- b) indukcyjność wzajemną między ramką a przewodem

Rozwiązanie:

Ponieważ:

$$M = \frac{\psi}{I}$$

gdzie strumień skojarzony:

$$\psi = \Phi$$

stąd na mocy podpunktu a):

$$M = \frac{\mu a}{2\pi b} \left[ (x_0 + b) \ln \frac{x_0 + b}{x_0} - b \right]$$

**Zadanie 6.** Ramka z poprzedniego zadania porusza się z prędkością  $v$  w kierunku osi  $Ox_+$ . Znaleźć SEM zaindukowaną w ramce o  $z$  zwojach na skutek zmian prądu  $I = I_0 \sin \omega t$ .

Rozwiązanie:

Strumień:

$$\Phi = \frac{\mu I_0 z a}{2\pi b} \left[ (x_0 + b) \ln \frac{x_0 + b}{x_0} - b \right] \sin \omega t$$

SEM jest sumą SEM transformacji i SEM translacji:

$$\text{SEM}_T = \frac{\mu I_0 z a}{2\pi b} \left[ (x_0 + b) \ln \frac{x_0 + b}{x_0} - b \right] \omega \cos \omega t$$

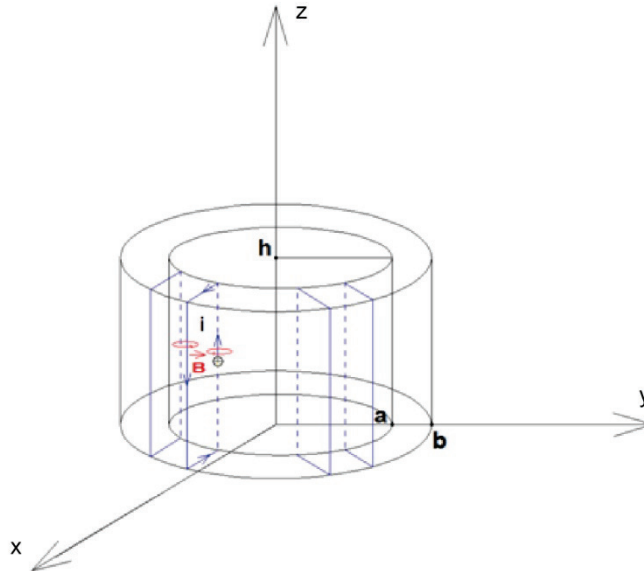
Uwzględniając, że  $x_0 = vt$ , SEM translacji (przesunięcia):

$$\text{SEM}_P = - \frac{d\Phi}{dx_0} \frac{dx_0}{dv} = \frac{\mu I_0 z v}{2\pi} \left( \frac{a}{x_0} - \ln \frac{x_0 + b}{x_0} \right) \sin \omega t$$

ostatecznie:

$$e(t) = \text{SEM}_T + \text{SEM}_P$$

**Zadanie 7.** Znaleźć indukcyjność własną cewki toroidalnej o  $n$  zwojach (przez które płynie prąd stały) o promieniu wewnętrznym  $a$ , zewnętrznym  $b$  i wysokości  $h$ .



Rys. 6.40. Ilustracja do wyznaczania strumienia skojarzonego cewki toroidalnej



Rozwiązanie:

Prąd na powierzchniach górnej i dolnej cewki płynie wzdłuż promienia, a na wewnętrznej i zewnętrznej powierzchni bocznej płynie południkowo. Wektor indukcji pola magnetycznego leży w płaszczyźnie prostopadłej do przepływu prądu (linie pola są okręgami o środkach leżących na osi przewodu tworzącego zwój), jego kierunek wyznacza zaś reguła korkociągu.

Zgodnie z wcześniejszymi rozważaniami prąd  $I$  płynący w pojedynczym zwoju wytwarza pole  $\vec{B}$  wyznaczone z prawa przepływu:

$$B2\pi r = \mu I \text{ dla } r \in (a, b)$$

stąd:

$$B = \frac{\mu I}{2\pi r}$$

$\mu = \mu_0 \mu_r$ , gdzie  $\mu_r$  jest współczynnikiem przenikalności magnetycznej rdzenia cewki. Uwzględniając fakt przepływu prądu przez  $n$  zwojów:

$$\vec{B} = \begin{cases} \frac{\mu In}{2\pi r} \vec{e}_\varphi & \text{wewnątrz cewki} \\ 0 & \text{na zewnątrz cewki} \end{cases}$$

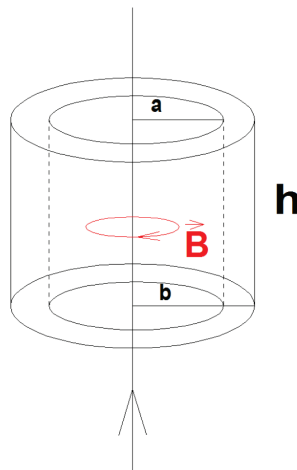
Strumień indukcji przenikający przez jeden zwój:

$$\Phi = \iint_D \frac{\mu In}{2\pi r} dr dz = \frac{\mu In}{2\pi} \int_0^h dz \int_a^b \frac{1}{r} dr = \frac{\mu In}{2\pi} \ln \frac{b}{a}$$

Strumień sprzężony  $\psi = n\Phi$ , więc indukcyjność własna cewki:

$$L = \frac{\psi}{I} = \frac{\mu n^2 h}{2\pi} \ln \frac{b}{a}$$

**Zadanie 8.** Znaleźć indukcyjność wzajemną cewki toroidalnej o  $n$  zwojów z prostoliniowym przewodem z prądem  $I$  przechodzącym przez oś cewki.



Rys. 6.41. Ilustracja do wyznaczania strumienia skojarzonego cewki toroidalnej

Rozwiązanie:

Pole  $\vec{B}$  na zewnątrz prostoliniowego przewodu ma postać:

$$\vec{B} = \frac{\mu I}{2\pi r} \vec{e}_\varphi$$

Strumień przenikający cewkę (na mocy poprzedniego zadania):

$$\Phi = \frac{\mu I h n}{2\pi} \ln \frac{b}{a}$$

Strumień sprzężony:

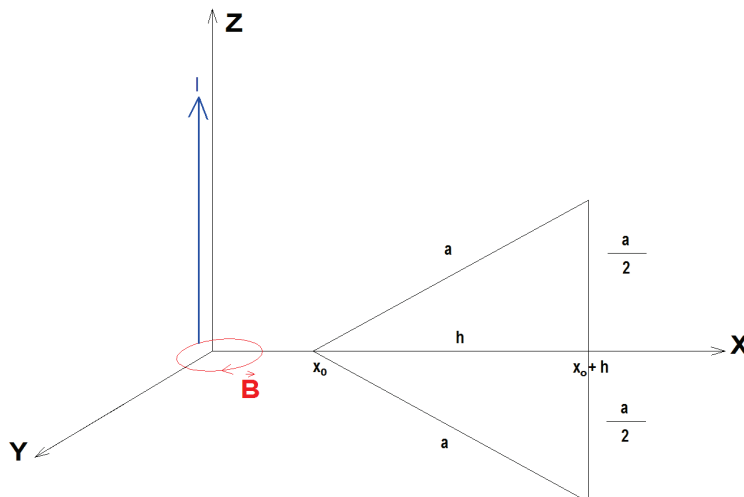
$$\psi = n\Phi$$

stąd indukcyjność wzajemna:

$$M = \frac{\psi}{I} = \frac{\mu n^2 h}{2\pi} \ln \frac{b}{a}$$

**Zadanie 9.** Ramka o  $n$  zwojach i kształcie jak na rys. 6.42 znajduje się w odległości  $x_0$  od długiego przewodnika z prądem  $I$ . Znaleźć:

- strumień przenikający ramkę,
- indukcyjność wzajemną ramki i przewodu z prądem.



Rys. 6.42. Ilustracja do wyznaczania strumienia magnetycznego ramki trójkątnej

Rozwiązanie:

a)

*I metoda*

Strumień magnetyczny przenikający przez elementarną powierzchnię  $dS$  jest równy:

$$d\Phi = B dS$$

Ponieważ:

$$dS = \frac{2}{\sqrt{3}}(x - x_0) dx$$

oraz wokół przewodnika z prądem pole  $B$  jest równe:

$$B = \frac{\mu I}{2\pi x}$$

więc:

$$\Phi = \frac{\mu I}{\pi} \int_{x_0}^{x_0 + \frac{a\sqrt{3}}{2}} \frac{x - x_0}{x} dx = \frac{\mu I}{\pi\sqrt{3}} \left[ \frac{a\sqrt{3}}{2} - x_0 \ln \frac{x_0 + \frac{a\sqrt{3}}{2}}{x_0} \right]$$

*II metoda*

Obszar  $D$  jest dany równaniem:

$$D: \begin{cases} z = \frac{x - x_0}{\sqrt{3}} \\ y = 0 \end{cases}$$

stąd:

$$\Phi = \frac{\mu I}{2\pi} \int_{x_0}^{x_0+h} \frac{dx}{x} \int_{-\frac{x-\frac{a}{2}}{\sqrt{3}}}^{\frac{x-\frac{a}{2}}{\sqrt{3}}} dz = \frac{\mu I}{\pi} \int_{x_0}^{x_0+h} \frac{x - x_0}{x} dx = \frac{\mu I}{\pi\sqrt{3}} \left[ \frac{a\sqrt{3}}{2} - x_0 \ln \frac{x_0 + \frac{a\sqrt{3}}{2}}{x_0} \right]$$

b)

$$\psi = n\Phi$$

stąd:

$$M = \frac{\mu n}{\pi\sqrt{3}} \left[ \frac{a\sqrt{3}}{2} - x_0 \ln \frac{x_0 + \frac{a\sqrt{3}}{2}}{x_0} \right]$$

**Zadanie 10.** Uzasadnić słuszność równania ciągłości przepływu prądu  $\operatorname{div} \vec{j} = -\frac{\partial \rho_V}{\partial t}$ .

Rozwiązanie:

Z twierdzenia Gaussa wynika, że całkowity prąd wypływający z powierzchni zamkniętej  $S$  otaczającej obszar  $V$  jest równy:

$$I = \iint_S \vec{j} \circ d\vec{S} = \iiint_V \operatorname{div} \vec{j} dV$$

Prąd  $I$  jest równy prędkości wypływu ładunku  $\rho_V$  z obszaru  $V$ , czyli:

$$I = -\frac{\partial \rho_V}{\partial t}$$

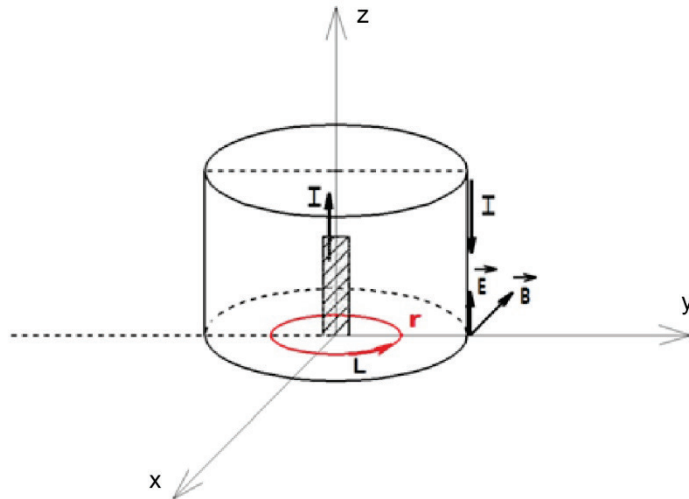
stąd:

$$\frac{\partial}{\partial t} \left( \iiint_V \rho_V dV \right) = \iiint_V \frac{\partial \rho_V}{\partial t} dV = \iiint_V \operatorname{div} \vec{j} dV$$

więc:

$$\operatorname{div} \vec{j} = -\frac{\partial \rho_V}{\partial t}$$

**Zadanie 11.** Prąd zmienny  $I(t) = I_0 \cos \omega t$  płynie wzdłuż długiego, prostoliniowego przewodnika i zawraca po powierzchni współosiowego walca o promieniu  $a$ . Znaleźć całkowity prąd przesunięcia.



Rys. 6.43. Ilustracja do wyznaczania prądu przesunięcia w przewodniku walcowym

Rozwiązanie:

Ponieważ prąd zawraca po powierzchni walca, więc pole elektromagnetyczne istnieje wewnątrz walca. Z prawa Ampere'a cyrkulacja wektora  $\vec{B}$  po linii  $L$  jest równa:

$$\oint_L \vec{B} \circ d\vec{L} = 2B\pi r = \mu_0 I = \mu_0 I_0 \cos \omega t$$

stąd:

$$B = \begin{cases} \frac{\mu_0 I_0 \cos \omega t}{2\pi r} & \text{dla } r < a \\ 0 & \text{dla } r > a \end{cases}$$

$$\vec{B} = -B \vec{e}_\varphi$$

Strumień wektora  $\vec{B}$  przez powierzchnię:

$$\begin{aligned} \Phi_B &= \iint_S \vec{B} \circ d\vec{S} = \iint_S \frac{\mu_0 I_0 \cos \omega t}{2\pi r} \vec{e}_\varphi \circ d\varphi dr \vec{e}_\varphi = \frac{\mu_0 I_0 \cos \omega t}{2\pi} \int_0^{2\pi} d\varphi \int_r^a \frac{dr}{r} = \\ &= \mu_0 I \cos \omega t \ln \frac{a}{r} \end{aligned}$$

Ponieważ:

$$\oint_L \vec{E} \circ d\vec{L} = -\frac{d\Phi}{dt}$$

więc:

$$E \int_0^{2\pi} d\varphi = \mu_0 I_0 \omega \sin \omega t \ln \frac{a}{r}$$

stąd:

$$E = \frac{\mu_0 I_0 \omega}{2\pi} \sin \omega t \ln \frac{a}{r}$$

Gęstość prądu przesunięcia:

$$\vec{J}_{przes} = \varepsilon_0 \frac{d\vec{E}}{dt} = \frac{\varepsilon_0 \mu_0 I_0 \omega^2}{2\pi} \cos \omega t \ln \frac{a}{r}$$

Całkowity prąd przesunięcia wewnątrz walca:

$$I_{przes} = \iint_S \vec{J}_P \circ d\vec{S} = \frac{\varepsilon_0 \mu_0 I_0 \omega^2}{2\pi} \int_0^{2\pi} d\varphi \int_0^a \cos \omega t r \ln \frac{a}{r} dr = \varepsilon_0 \mu_0 I_0 \omega^2 \cos \omega t \int_0^a r \ln \frac{a}{r} dr$$

Obliczając całkę metodą całkowania przez części i uwzględniając, że:

$$\lim_{r \rightarrow 0} r^2 \ln \frac{a}{r} = 0$$

(na mocy twierdzenia de l'Hospitala) otrzymamy:

$$\int_0^a r \ln \frac{a}{r} dr = \frac{a^2}{4}$$

więc ostatecznie:

$$I_{przes} = \frac{\varepsilon_0 \mu_0 I_0 \omega^2 a^2}{4} \cos \omega t$$

przy czym:

$$c = \frac{1}{\sqrt{\varepsilon_0 \mu_0}} = 3 \cdot 10^8 \text{ m/s}$$

oznacza prędkość światła (falową).

**Zadanie 12.** Znaleźć pole elektryczne w punktach na okręgu o promieniu  $R$ , indukowane przez pole magnetyczne  $\vec{B}(t)$  zmienne w czasie  $t$ , skierowane prostopadle do powierzchni ograniczonej okręgiem.

Rozwiązanie:

$$\int_L \vec{E} \circ d\vec{L} = E 2\pi R = -\frac{d\Phi}{dt} = -\frac{d}{dt} [\pi R^2 B(t)] = -\pi R^2 \frac{dB}{dt}$$

$$E 2\pi R = -\pi R^2 \frac{dB}{dt}$$

$$\vec{E} = -\frac{R}{2} \frac{d\vec{B}}{dt}$$

# Zestawienie podstawowych wzorów

## I. Elektrostatyka (ładunki są stacjonarne)

$\vec{E}$	– natężenie pola elektrycznego
$\varphi_E$	– potencjał pola $\vec{E}$
$Q$	– ładunek (źródło)
$\rho$	– gęstość ładunku
$\vec{D}$	– indukcja pola elektrycznego
$\Phi_{\vec{D}}$	– strumień indukcji
$C_E$	– cyrkulacja pola $\vec{E}$
$\epsilon_0 = \frac{1}{36\pi} 10^{-9} \left[ \frac{F}{m} \right]$	– przenikalność dielektryczna próżni
$\epsilon_r$	– względna przenikalność dielektryczna ośrodka

## Równania Maxwella dla elektrostatyki

### 1. Postać różniczkowa

w próżni:

$$\begin{aligned} \operatorname{div} \vec{E} &= \frac{\rho}{\epsilon_0} \text{ (prawo Gaussa)} \\ \operatorname{rot} \vec{E} &= 0 \end{aligned}$$

w dielektryku:

$$\begin{aligned} \operatorname{div} \vec{D} &= \rho \\ \operatorname{rot} \vec{D} &= 0 \end{aligned}$$

### 2. Postać całkowa (z twierdzenia Stokesa)

$$C_E = \oint_L \vec{E} \circ d\vec{L} = \iint_S \operatorname{rot} \vec{E} \circ d\vec{S} = 0$$

gdzie krzywa  $L$  jest brzegiem powierzchni  $S$

$$\Phi_D = \iint_S \vec{D} \circ d\vec{S} = \sum_i q_i = Q$$

(całkowity ładunek swobodny wewnątrz powierzchni  $S$ )

Przy czym:

$$dQ = \rho_L dL \text{ (}\rho_L \text{ – gęstość liniowa)}$$

$$dQ = \rho_S dS \text{ (}\rho_S \text{ – gęstość powierzchniowa)}$$

$$dQ = \rho_V dV \text{ (}\rho_V \text{ – gęstość objętościowa)}$$

### 3. Potencjał skalarny

Potencjał skalarny  $\varphi$  znajdujemy ze związku:

$$\vec{E} = -grad \varphi$$

lub z równania Poissona

$$\Delta\varphi = -\frac{\rho}{\epsilon_0}$$

Twierdzenie Gaussa:

$$\iint_S \vec{E} \circ d\vec{S} = \iiint_V div \vec{E} dV$$

gdzie  $S$  jest powierzchnią Gaussa ograniczającą obszar  $V$

## II. Magnetostatyka

$\vec{H}$	–	wektor natężenia pola magnetycznego
$\vec{B}$	–	wektor indukcji magnetycznej
$\Phi$	–	strumień magnetyczny
$\varphi$	–	strumień sprzężony (skojarzony)
$\vec{J}$	–	wektor gęstości prądu
$\vec{A}$	–	potencjał wektorowy
$\mu_0 = 4\pi 10^{-7} \frac{A}{m}$	–	przenikalność magnetyczna próżni
$\mu_r$	–	względna przenikalność magnetyczna ośrodka

### Równania Maxwella dla magnetostatyki

#### 1. Postać różniczkowa

w próżni:

$$div \vec{B} = 0$$

(prawo źródeł = prawo Gaussa)

$$rot \vec{B} = \mu_0 \vec{J}$$

(prawo Ampere'a)

w materii:

$$rot \vec{H} = \vec{J}_{swobodny}$$

**2. Postać całkowa**

w próżni:

$$\int_L \vec{B} \circ d\vec{L} = \mu_0 I_C$$

$I_C$  – całkowity prąd otoczony konturem  $L$  (Ampere'a)

w materii:

$$\int_L \vec{H} \circ d\vec{L} = I_C$$

$I_C$  – całkowity prąd swobodny, płynący przez kontur Ampere'a

**3. Potencjał wektorowy**

$$\operatorname{div} \vec{A} = 0$$

$$\operatorname{rot} \vec{A} = \vec{B}$$

**4. Strumień magnetyczny przez powierzchnię  $S$** 

$$\Phi_B = \iint_S \vec{B} \circ d\vec{S}$$

$$\Phi_H = \iint_S \vec{H} \circ d\vec{S}$$

Z twierdzenia Gaussa

$$\Phi_B = \iiint_V \operatorname{div} \vec{B} dV = 0$$

przez dowolną powierzchnię zamkniętą  $S$  otaczającą obszar  $V$

**5. Równania materiałowe**

w próżni:

$$\vec{D} = \varepsilon_0 \vec{E}$$

$$\vec{B} = \mu_0 \vec{H}$$

w materii:

$$\vec{D} = \varepsilon \vec{E} = \varepsilon_0 \varepsilon_r \vec{E}$$

$$\vec{B} = \mu \vec{H} = \mu_0 \mu_r \vec{H}$$

$$\vec{J} = \sigma \vec{E} \text{ (prawo Ohma)}$$

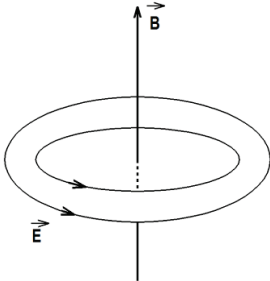
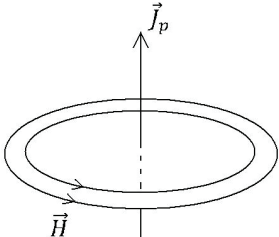
gdzie  $\sigma$  to przewodność elektryczna



### III. Pola elektrodynamiczne (zmiennie w czasie)

#### Równania Maxwella

Tablica 1. Postać różniczkowa

W próżni		W materii
$\operatorname{div} \vec{E} = 0$ $\operatorname{rot} \vec{E} = -\frac{\partial \vec{B}}{\partial t}$ $\operatorname{div} \vec{B} = 0$ $\operatorname{rot} \vec{B} = \mu_0 \varepsilon_0 \frac{\partial \vec{E}}{\partial t}$ 	$\operatorname{div} \vec{E} = \frac{\rho}{\varepsilon_0}$ <p>(prawo Gaussa)</p> $\operatorname{rot} \vec{E} = -\frac{\partial \vec{B}}{\partial t}$ <p>(prawo Faradaya)</p> $\operatorname{div} \vec{B} = 0$ $\operatorname{rot} \vec{B} = \mu_0 \vec{J} + \mu_0 \varepsilon_0 \frac{\partial \vec{E}}{\partial t}$ <p>(prawo Ampere'a)</p> <p><math>\vec{J}</math> – gęstość prądu przewodzenia</p> $\vec{J}_p = \varepsilon \frac{\partial \vec{E}}{\partial t}$ <p>– gęstość prądu przesunięcia</p> 	<p>Występują prądy swobodne i ładunki</p> $\operatorname{div} \vec{D} = \rho$ $\operatorname{rot} \vec{E} = -\frac{\partial \vec{B}}{\partial t}$ $\operatorname{div} \vec{B} = 0$ $\operatorname{rot} \vec{H} = \vec{J} + \frac{\partial \vec{D}}{\partial t}$

Tablica 2. Postać całkowa

$\oint_L \vec{E} \circ d\vec{L} = - \iint_S \frac{\partial \vec{B}}{\partial t} \circ d\vec{S}$	$\oint_L \vec{H} \circ d\vec{L} = \iint_S (\vec{J} + \vec{J}_p) \circ d\vec{S}$	$\oint_L \vec{B} \circ d\vec{L} = \mu_0 \iint_S \left( \vec{J} + \varepsilon_0 \frac{\partial \vec{E}}{\partial t} \right) \circ d\vec{S}$
---	---	--

## Literatura

1. Frisz S., Timoriewa A., *Fizyka*, t. II, Warszawa, PWN 1965.
2. Griffiths D., *Podstawy elektrodynamiki*, Warszawa, PWN 2001.
3. Jackson J.D., *Elektrodynamika klasyczna*, Warszawa, PWN 1982.
4. Karaśkiewicz E., *Zarys teorii wektorów i tensorów*, Warszawa, PWN 1976.
5. Krakowski M., *Elektrotechnika teoretyczna*, t. II, Warszawa, PWN 1983.
6. Kurdziel R., *Podstawy elektrotechniki*, Warszawa, WNT 1971.
7. Pczelin B.K., *Analiza wektorowa dla inżynierów*, Warszawa, PWN 1971.
8. Piątek Z., Jabłoński P., *Podstawy teorii pola elektromagnetycznego*, Warszawa, WNT 2010.
9. Purcell E.M., *Elektryczność i magnetyzm*, Warszawa, PWN 1971.
10. Wierzbicki M., *Elektrodynamika klasyczna*, Warszawa, Oficyna Wydawnicza Politechniki Warszawskiej 2008.